

Combustion diphasique Atomisation et sprays

Julien Jouanguy
Luis Le Moyne

Les sprays et leurs applications



Médical



Incendies

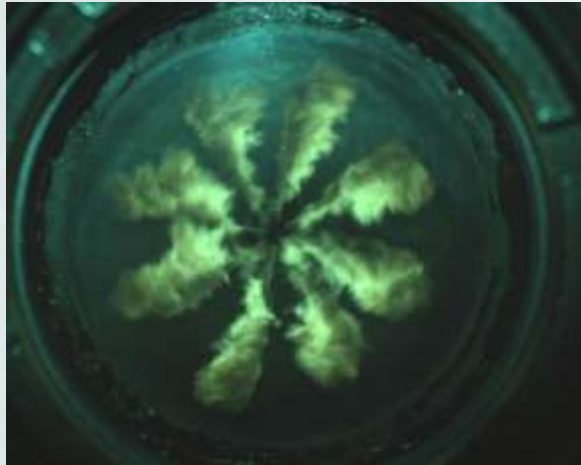


Agriculture



Spatial

Les sprays et leurs applications



Combustion



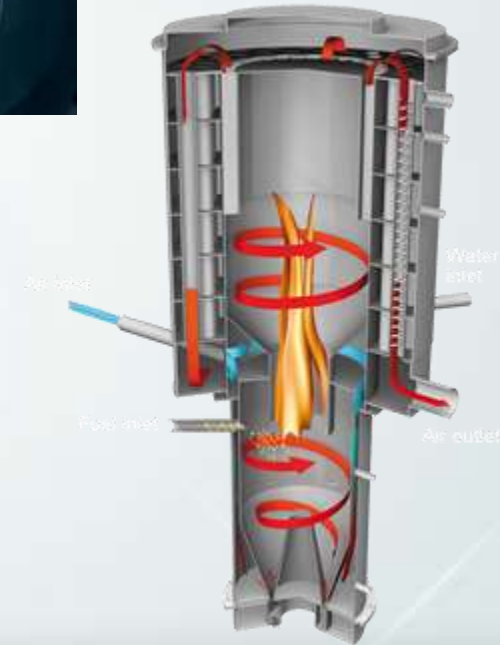
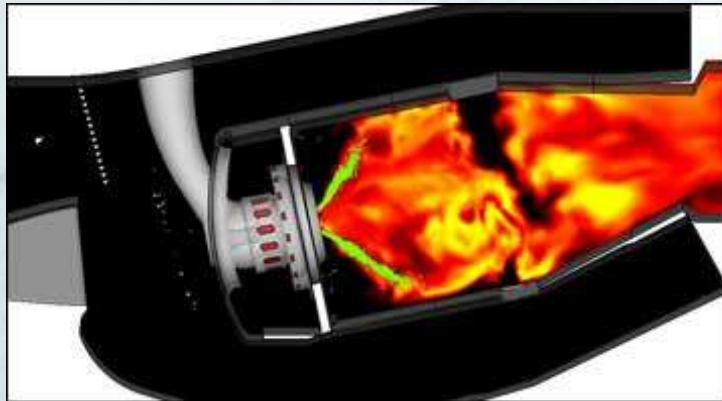
Refroidissement



Traitement de surface

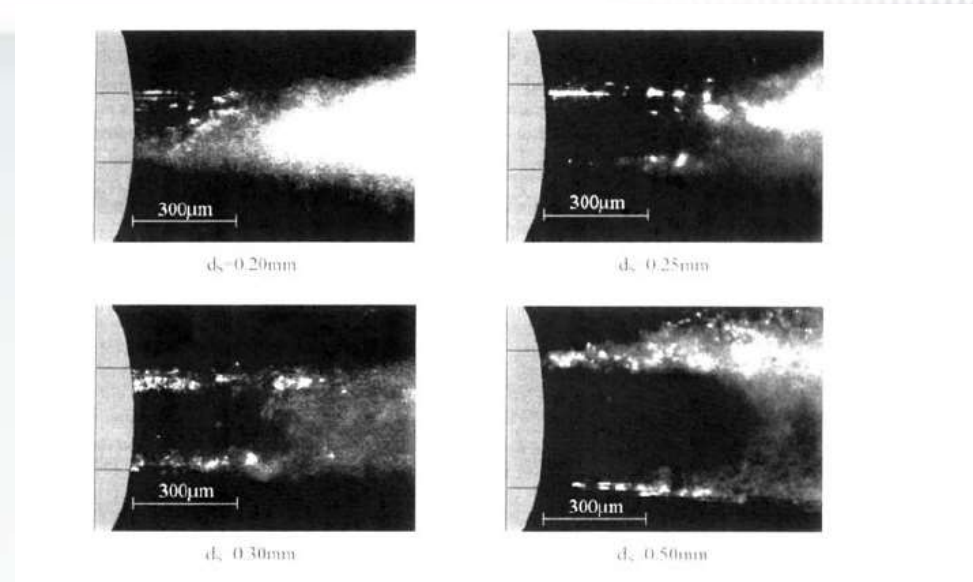
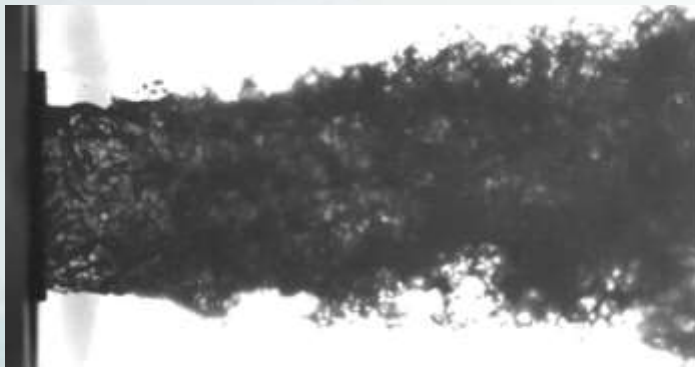
Les sprays et la combustion

Automobile
Aéronautique
Spatial
Energie



Les sprays et la combustion

Des écoulements complexes....



Visualisation des structures internes d'un jet diesel

A. Fath, K. Münch and A. Leipertz "Spray Break-up Process of Diesel Fuel Investigated Close to the Nozzle", ICLASS'97, Séoul, Corée, p. 513-520, 1997.

Jet d'oxygène et jet d'hydrogène à 1MPa

Gicquel, P., Vingert, L., Lecourt, R. & Barat, M. 2001, Etude expérimentale des sprays cryotechniques dans des conditions sub et supercritiques, GDR combustion dans les moteurs de fusée

Les sprays et la combustion

Pourquoi ?

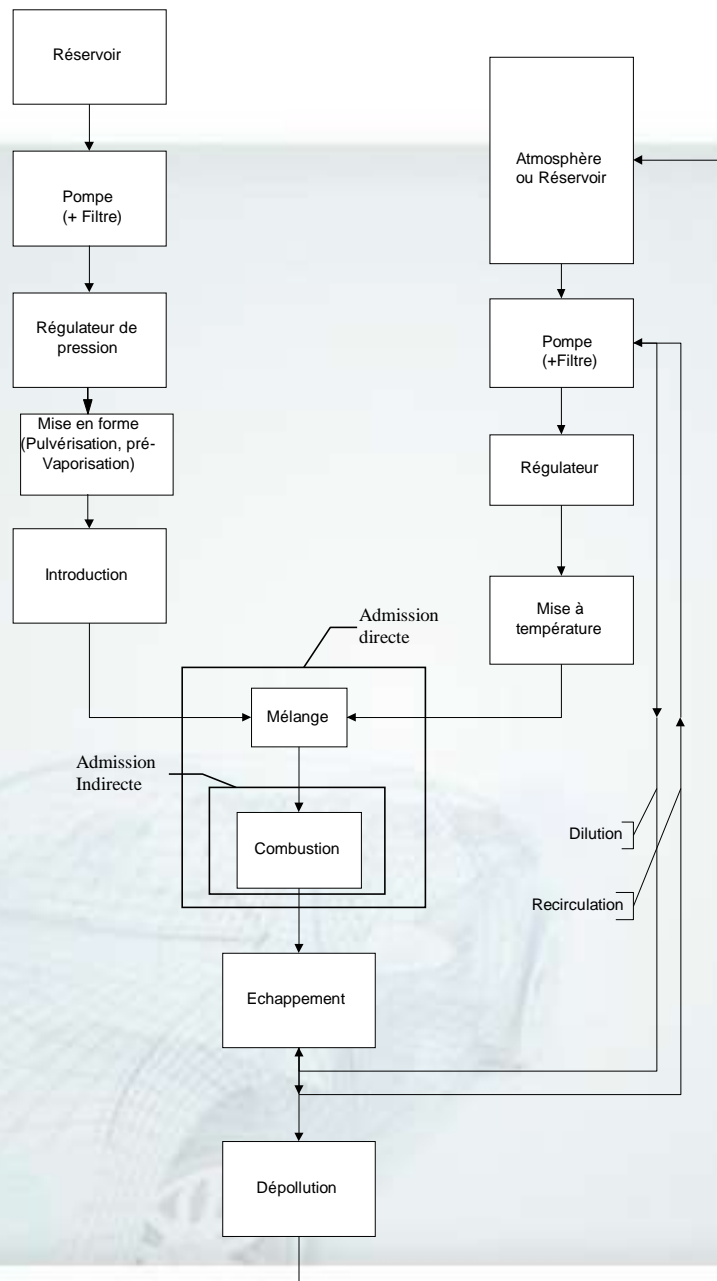
Stockage->combustible liquide

Comment ?

le passage à des gouttes diminue le temps
d'évaporation et concentre la zone réactive

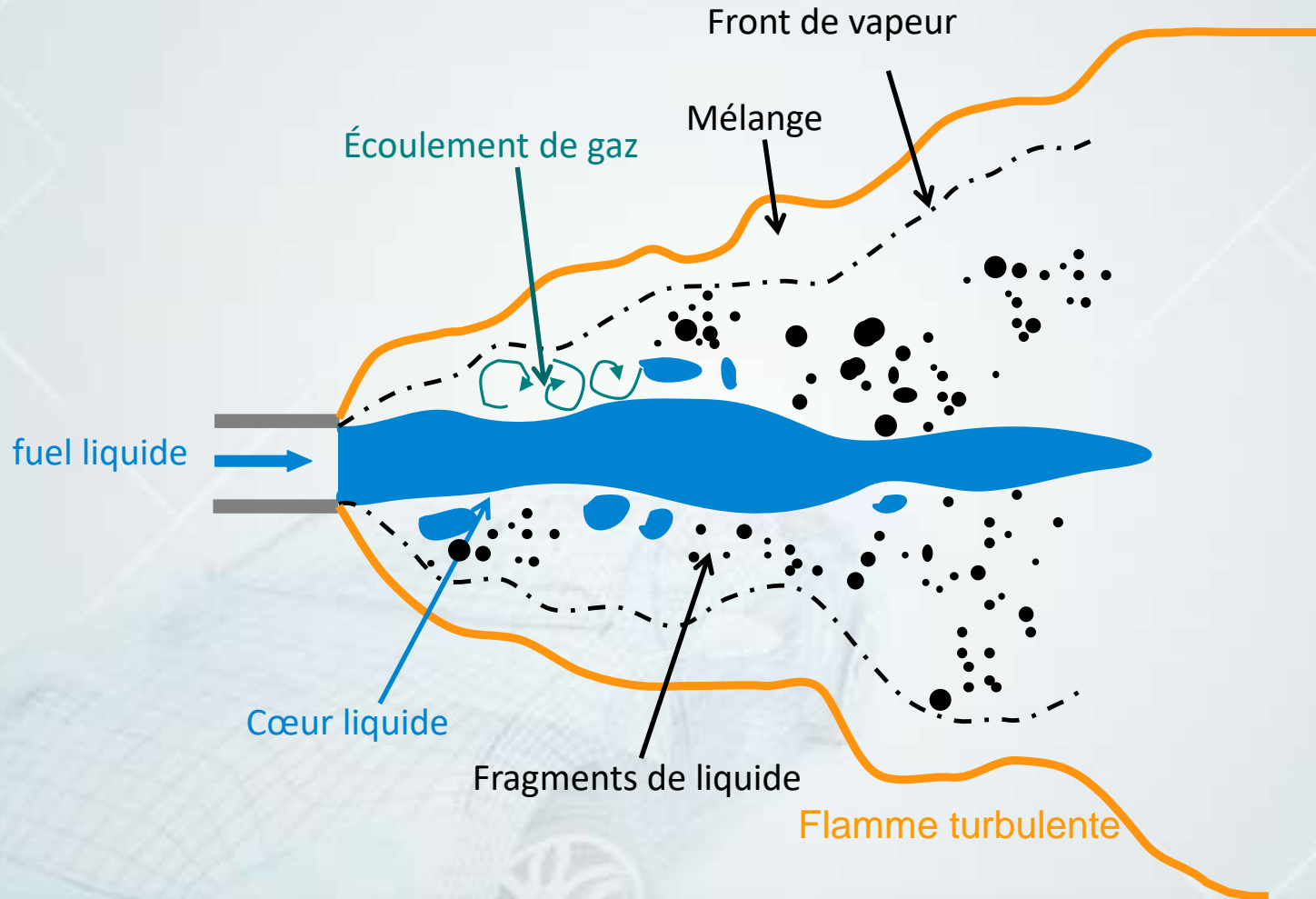
Pb. d'échelle : ~10ms, ~5cm, ~10mg

Préparation du mélange



Les sprays et la combustion

Structure du spray – exemple de l'atomisation haute pression

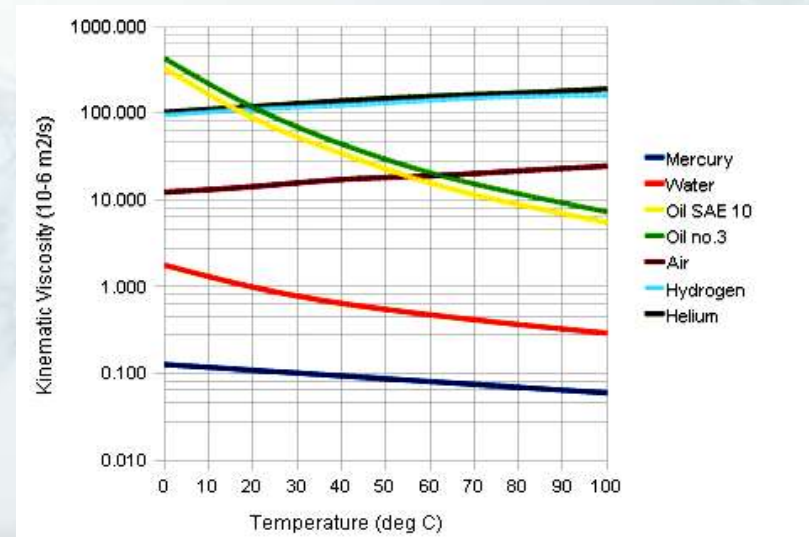
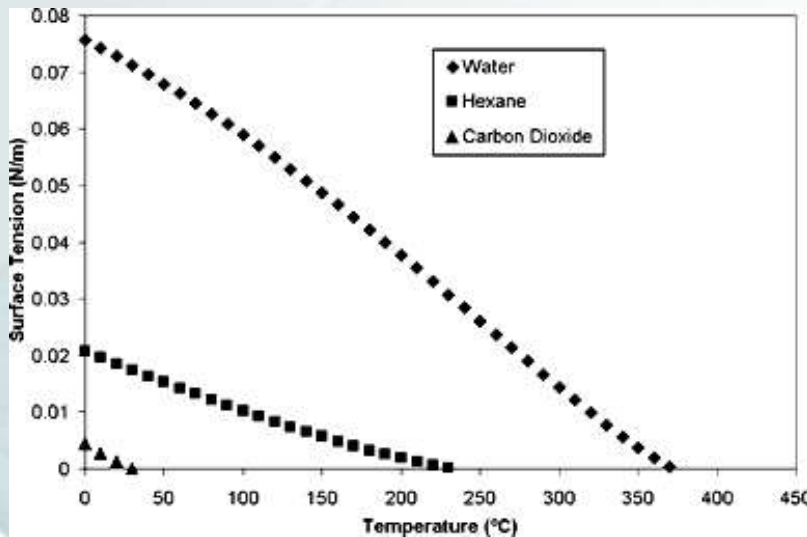
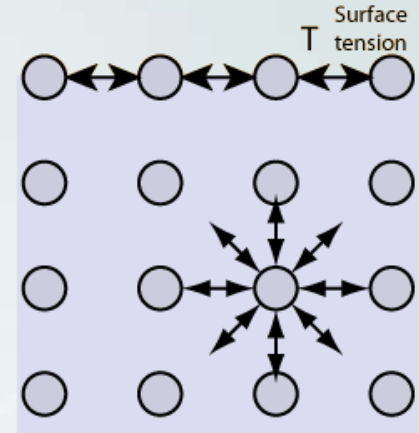


Mécanismes de pulvérisation/atomisation

Rompres le continuum liquide

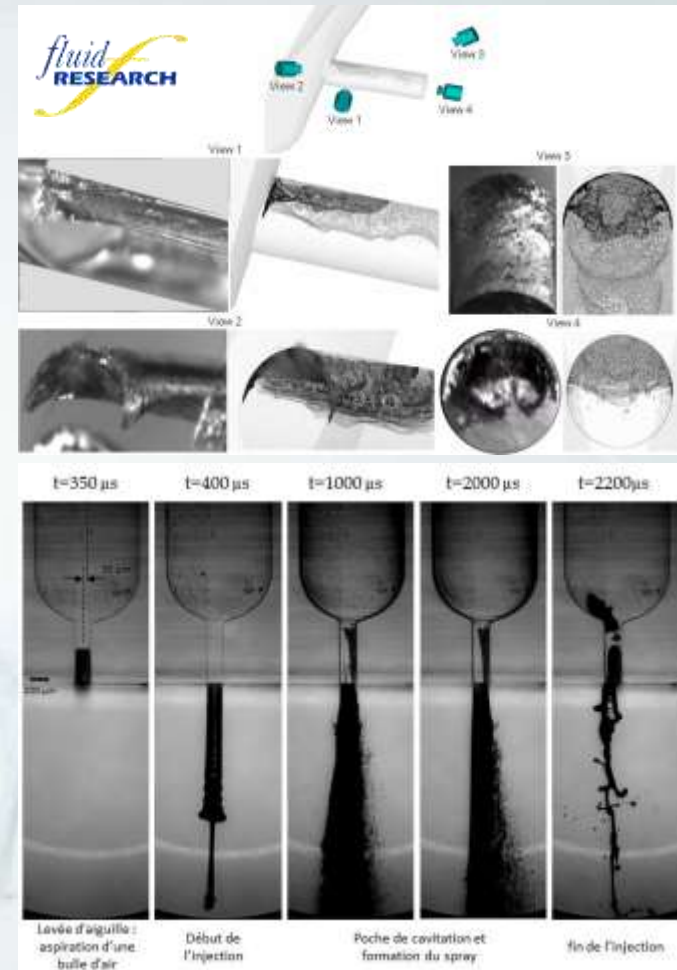
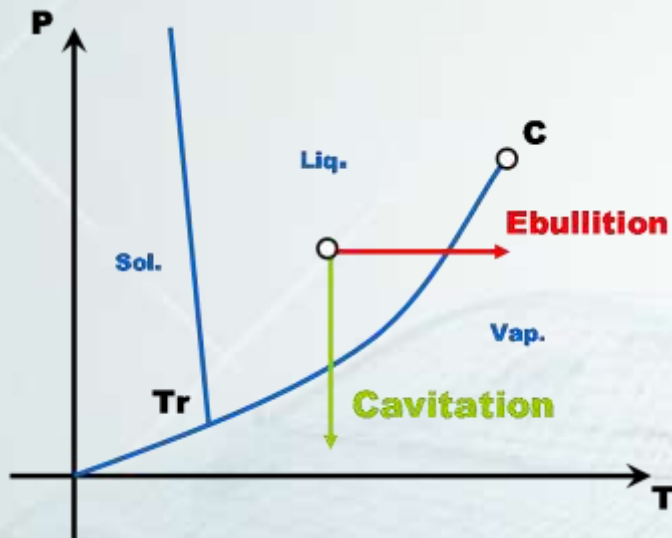
Viscosité et tension superficielle

! Température



Mécanismes de pulvérisation/atomisation

Cavitation



Loïc Mèès , LMFA

Mécanismes de pulvérisation/atomisation

Cavitation : formation de poche de vapeur dans le liquide

Nombre de cavitation :

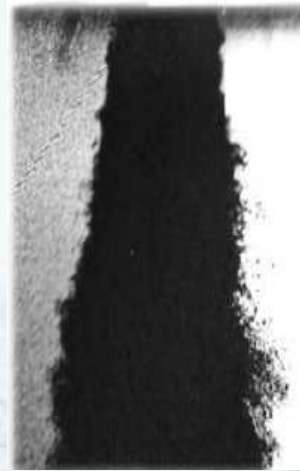
$$N = \frac{P_{inj} - P_{sat}}{\Delta P}$$

P_{inj} : pression d'injection

P_{sat} : pression de vapeur saturante

ΔP : différence de pression amont et aval

Influence de la cavitation dans l'injecteur sur l'atomisation primaire



Injecteur cavitant



Injecteur non cavitant

R. Marcer, P. Le Cottier, H. Chaves, B. Argueyreolles, C. Habchi et B. Barbeau "A validated Numerical Simulation of Diesel Injector Flow Using a VOF Method", SAE Technical Paper series N° 2000-01-2932, 2000.

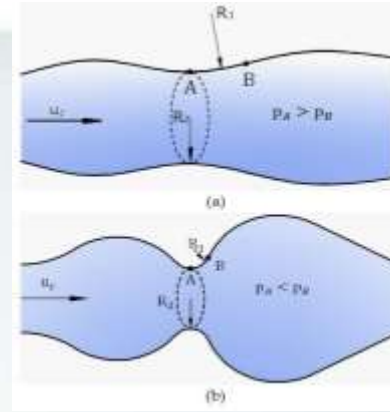
Mécanismes de pulvérisation/atomisation

Instabilités

Rayleigh (capillaire)

instable (a) : $1/R_2 \gg 1/R_1$, stable (b) $1/R_1 \gg 1/R_2$ en A

Le liquide est évacué de la zone de déformation, diminuant la section de la zone de déformation et entraînant ainsi une réduction supplémentaire du rayon de courbure. Les effets se conjuguent et s'amplifient mutuellement jusqu'à entraîner la rupture.



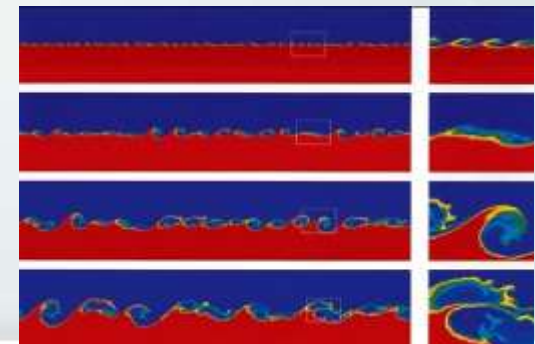
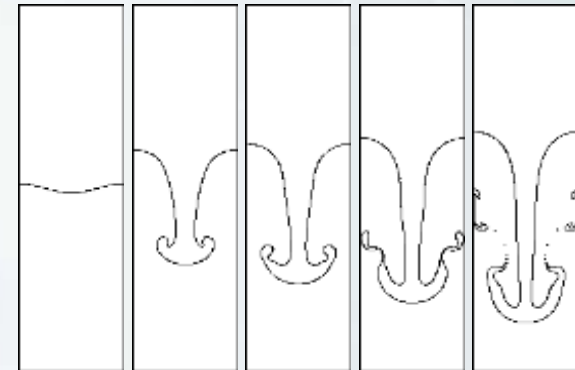
$$\Delta p = \sigma \left[\frac{1}{R_1} + \frac{1}{R_2} \right]$$

Rayleigh-Taylor

instabilité de l'interface séparant deux fluides de densités différentes, qui résulte de la poussée du fluide le plus lourd sur le fluide le plus léger

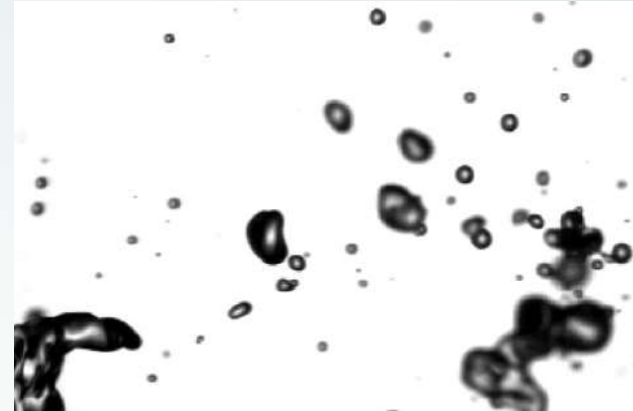
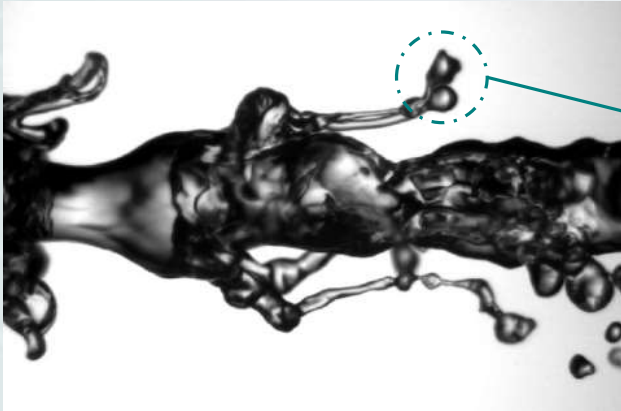
Kelvin-Helmoltz

mouvement ondulatoire qui se forme lorsque deux fluides thermiquement stables sont superposés et se déplacent à des vitesses différentes à leur surface de contact



Mécanismes de pulvérisation/atomisation

Ligamentation : formation de ligament aboutissant à la fragmentation du liquide



Atomisation assistée par air : déstabilisation d'un jet liquide par un courant gazeux $D_g=8\text{mm}$, $u_g=35\text{m/s}$, $u_l=0.6\text{m/s}$

E. Villermaux - Unifying ideas on mixing and atomization. New J. Phys.6(2004)125

Compétition entre frottements
aérodynamiques et tension de
surface



$$Re = \frac{uL}{\nu}$$
$$We = \frac{\rho u^2 r}{\sigma}$$

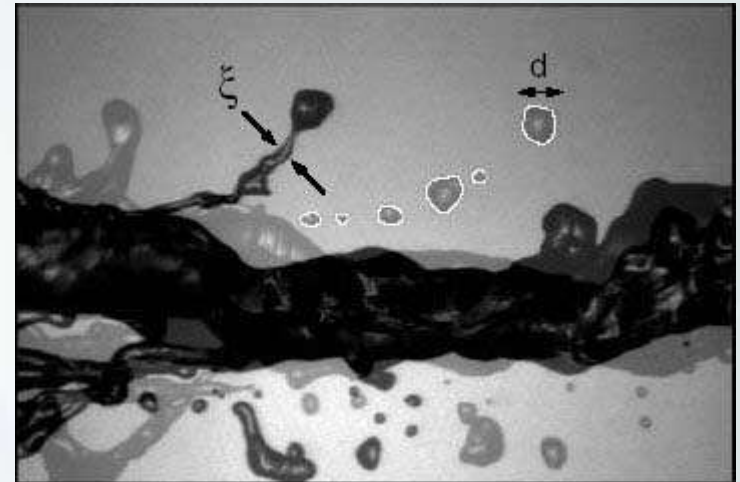
$$Oh = Re^{-1} \cdot We^{0,5}$$

u : échelle de vitesse
 L : échelle de longueur
 r : échelle de rayon
 σ : tension de surface
 ρ : masse volumique

Mécanismes de pulvérisation/atomisation

Ligaments – Fragmentation

Cisaillement liquide/gaz ->
instabilité Kelvin-Helmoltz ->
ondes axysymétriques amplifiées ->
instabilité Rayleigh-Taylor transverse ->
ligaments->
instabilité capillaire ->
rupture+coalescence

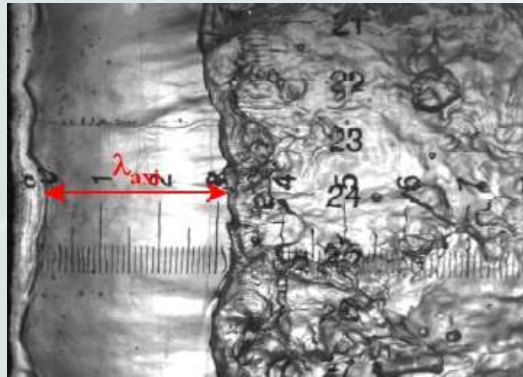


E. Villermaux - Unifying ideas on mixing and atomization. New J. Phys.6(2004)125

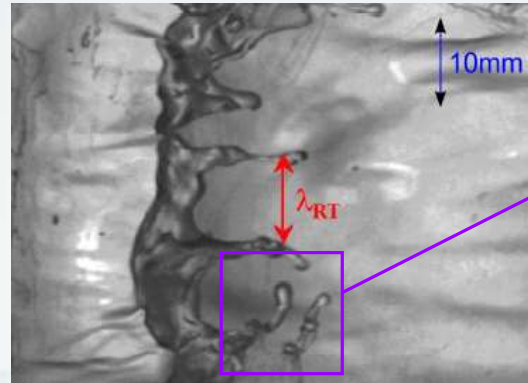
Mécanismes de pulvérisation/atomisation

Instabilités et ondes de surface : mécanisme dans le cadre de l'atomisation assistée par air

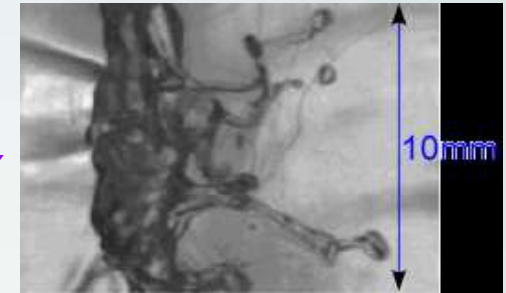
Instabilités primaire
et secondaire



Formation de gouttes



Atomisation secondaire



Instabilité primaire de
type Kelvin-Helmholtz

Thèse de Raynal, 1997

Thèse de Marmottant, 2001



Instabilité secondaire de
type Rayleigh-Taylor

Thèse de Hong, 2003

Thèse de Varga, 2003

Thèse de Ben Rayanna, 2007

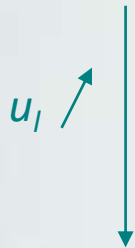


Rupture de ligaments, large
spectre de tailles de 100µm
à 1cm dans chaque volume
de contrôle

Mécanismes de pulvérisation/atomisation

Instabilité capillaire : instabilités liées à la tension de surface

Classification des régimes en fonction de la vitesse du liquide

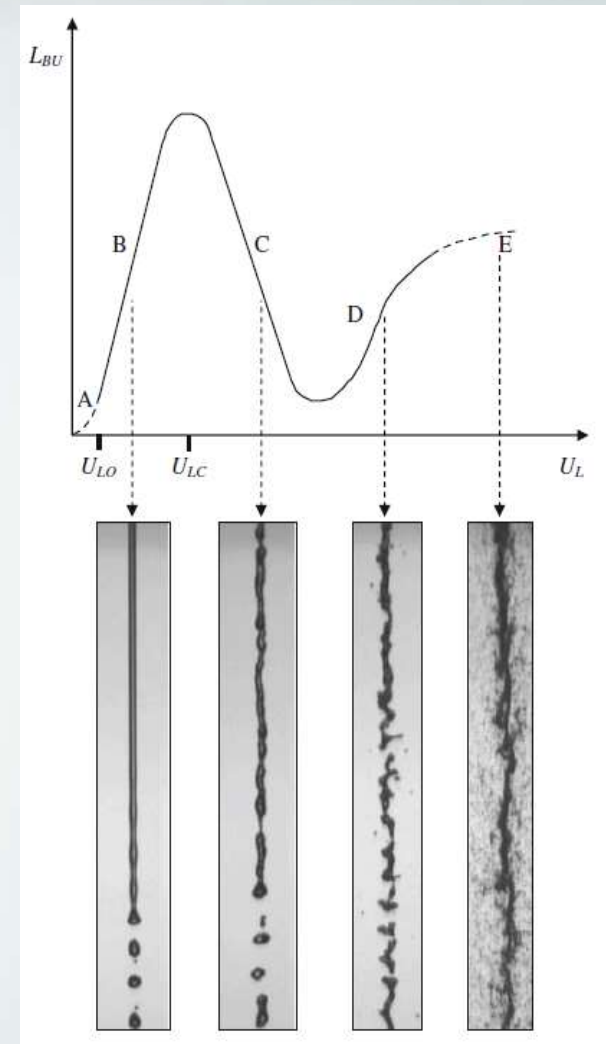


- A : Ruissellement
- B : Régime de Rayleigh
- C : Régime « first wind-induced »
- D : Régime « second wind-induced »
- E : Régime d'atomisation

Influence sur la longueur de rupture L_{BU}

Leroux S, Dumouchel C, Ledoux M (1996) The stability curve of Newtonian liquid jets. *At Sprays* 6:623–647

C. Dumouchel (2008) On the experimental investigation on primary atomization of liquid streams. *Exp. Fluids*



Mécanismes de pulvérisation/atomisation

Atomisation secondaire

Échelle typique basée sur le nombre de Weber critique We_c

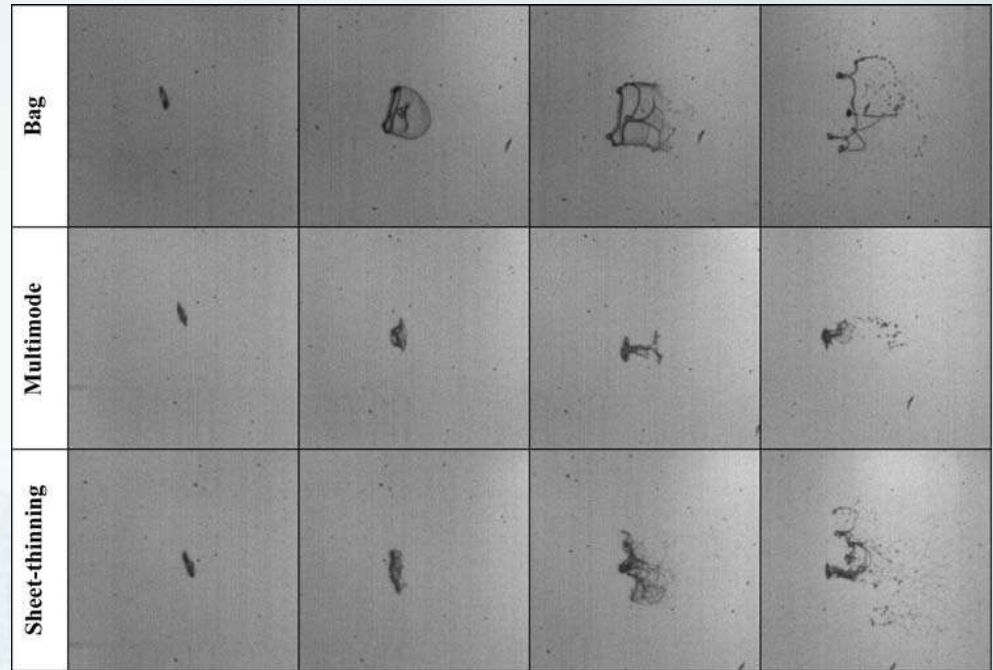
$$d_c = \frac{\sigma We_c}{\rho_g \Delta u^2}$$



- Expérimentalement $We_c \sim 6$
- Δu^2 est l'échelle d'énergie cinétique

Différence de vitesse
goutte / gaz

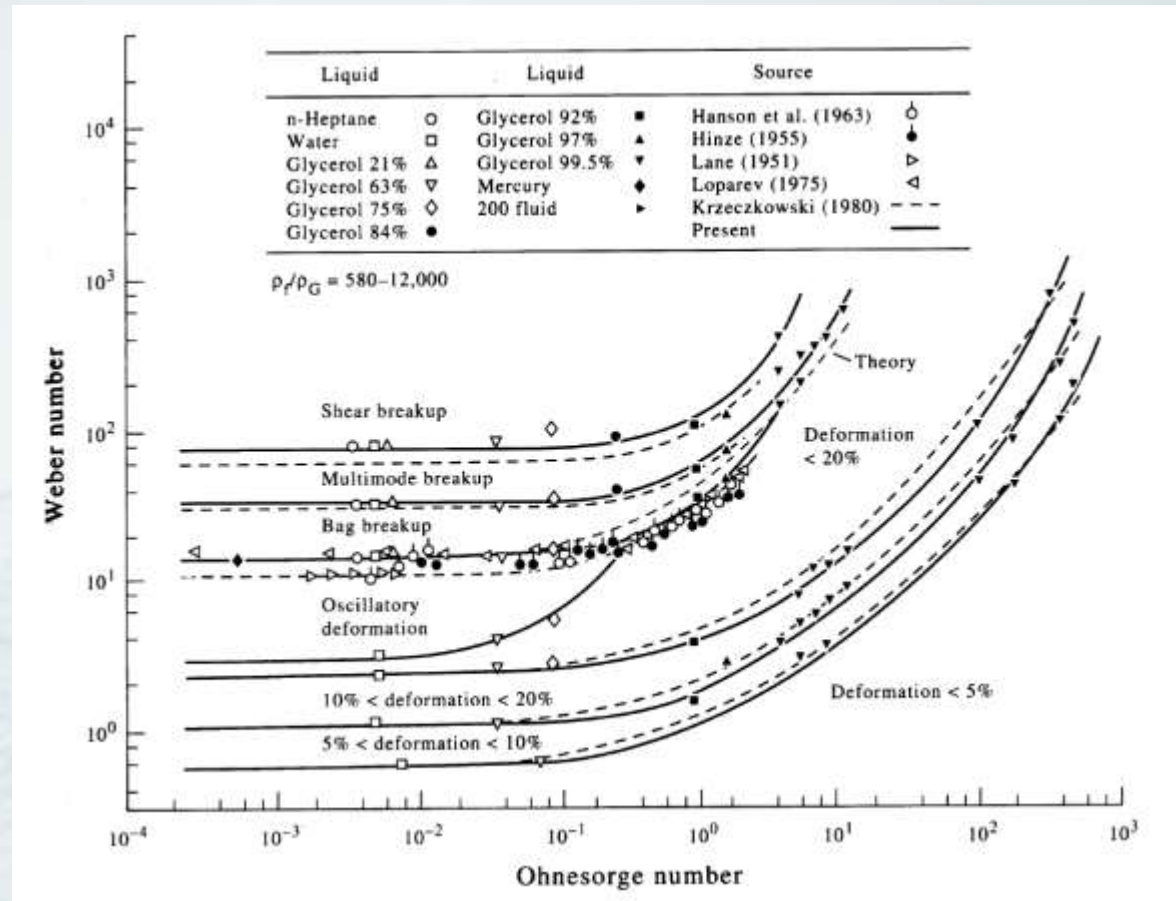
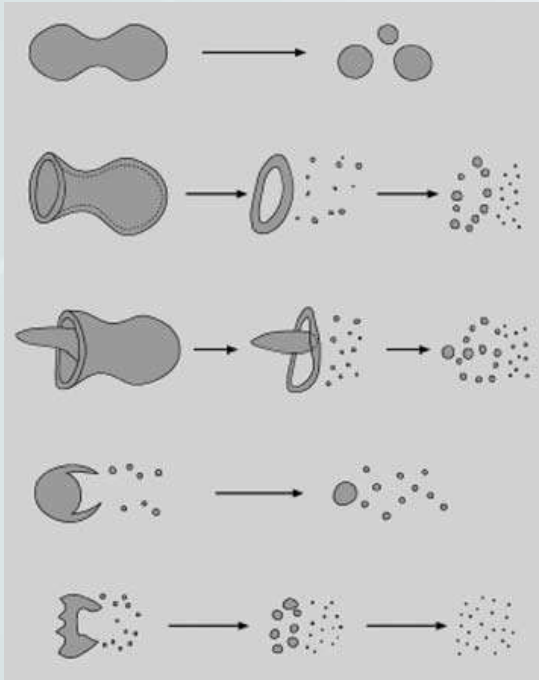
Turbulence gaz



D. R. Guildenbecher, C. López-Rivera, P. E. Sojka -
Secondary atomization-Exp Fluids (2009) 46:371-40

Mécanismes de pulvérisation/atomisation

Atomisation secondaire

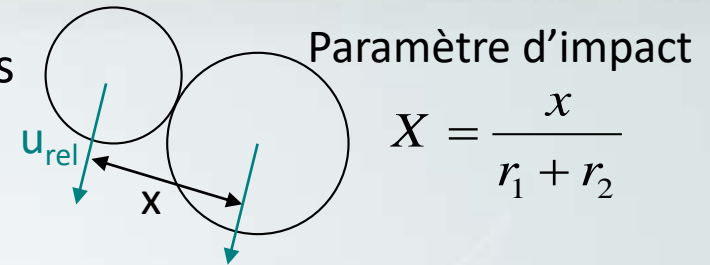


Hsiang LP, Faeth GM (1995) Drop deformation and breakup due to shock wave and steady disturbances. International Journal of Multiphase Flow, vol 21(4):545-560

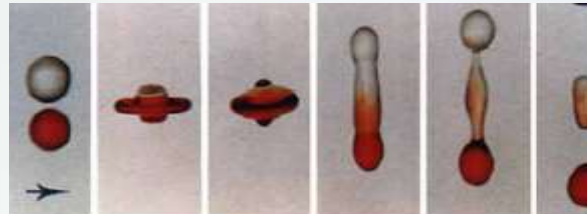
Mécanismes de pulvérisation/atomisation

Atomisation secondaire : collisions entre gouttelettes

Ashgriz N. , Poo J.Y. , 1990 : coalescence and separation in binary collisions of liquid drops. *J. Fluid Mech.* 221 , 183-204



$We = 23, \Delta = 1, \chi = 0.05$



$We = 40, \Delta = 1, \chi = 0$

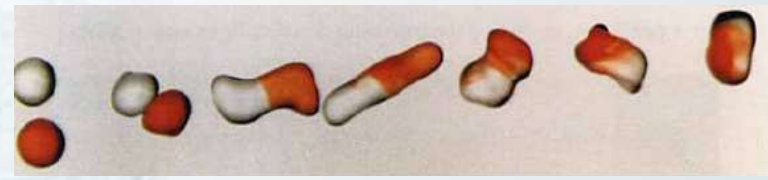


$We = 96, \Delta = 1, \chi = 0$

Fragmentations



$We = 10, \Delta = 1, \chi = 0.5$



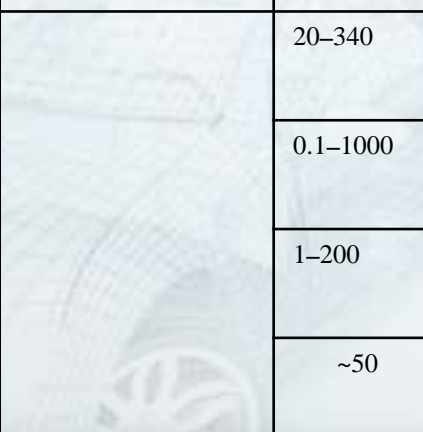
$We = 10, \Delta = 1, \chi = 0.7$

Coalescence

→ Nombre de Weber We
Rapport de taille Δ

→ Mécanisme important dans la zone d'atomisation primaire où on a une forte densité de gouttelettes

Atomiseurs

Method		Droplet Size (μm)	Application
Pressure Atomization	Plain- Orifice	25–250	Diesel engines, Jet engine afterburners, Ramjets
	Simplex	20–200	Gas turbines, Industrial furnaces
	Duplex	20–200	Gas turbine combustors
	Dual- Orifice	20–200	A variety of aircraft and industrial gas turbines
	Spill Return	20–200	A variety of combustors. Good potential for slurries and fuels of low thermal stability
	Fan Spray	100–1000	High- pressure painting/coat ing, Annular combustors
Rotary Atomization	Spinning Disk	10–200	Spray drying. Aerial distribution of pesticides. Chemical processing
	Rotary Cup	10–320	Spray drying. Spray cooling
Two-Fluid Atomization Air-Assist	Internal Mixing	50–500	Industrial furnaces. Industrial gas turbines
	External Mixing	20–140	Industrial furnaces. Industrial gas turbines
Two-Fluid Atomization Air-Blast	Plain-Jet	15–130	Industrial gas turbines
	Pre- filming	25–140	Wide range of aircraft and industrial gas turbines
Effervescent Atomization		20–340	Combustion
Electrostatic Atomization		0.1–1000	Paint spraying, Printing, Oil burner
Ultrasonic Atomization		1–200	Medical spray. Humidi- fication.Spray drying. Acid etching.Printing circuit. Combustion
Whistle Atomization		~50	Atomization of liquid metals for powder production

Atomisateurs & Pulvérisateurs

Pressure Jet Atomization

Pressure-Swirl Atomization

Two-Fluid Atomization

Fan Spray Atomization

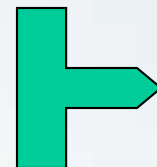
Rotary Atomization

Effervescent Atomization

Electrostatic Atomization

Vibration Atomization

Whistle Atomization



Injecteurs « classiques »



Injecteurs « assistés-air »



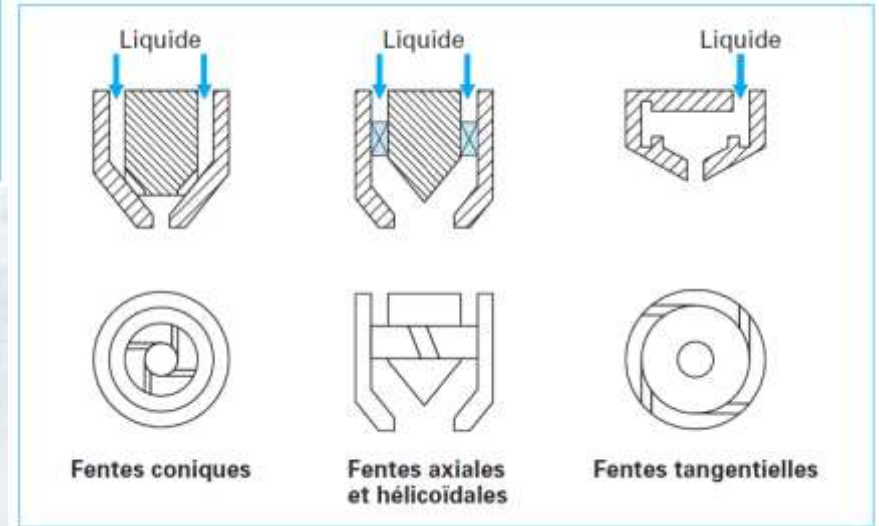
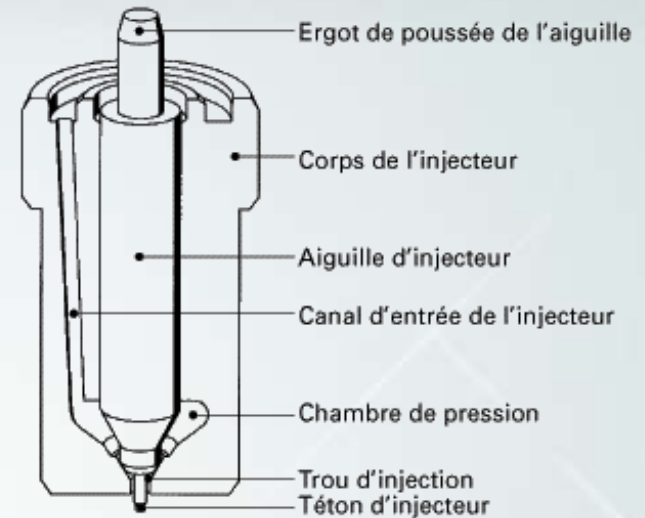
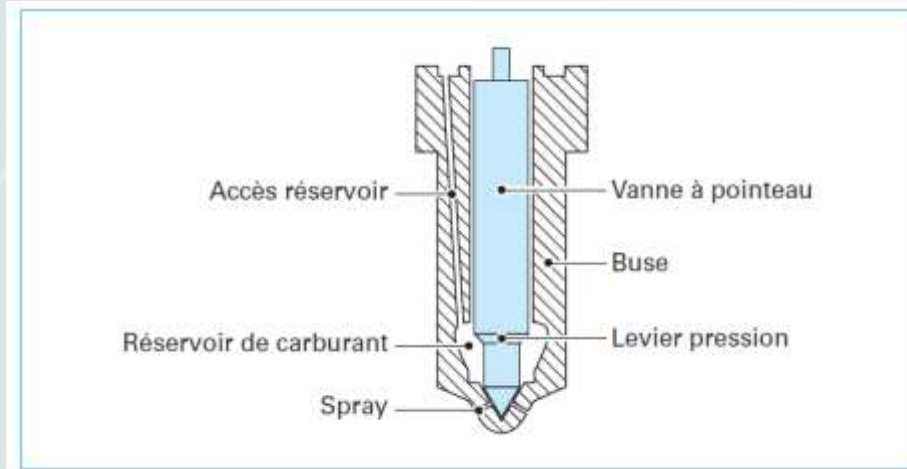
Pulvérisateurs industriels (peinture..)



Injecteurs « pré-mélange »

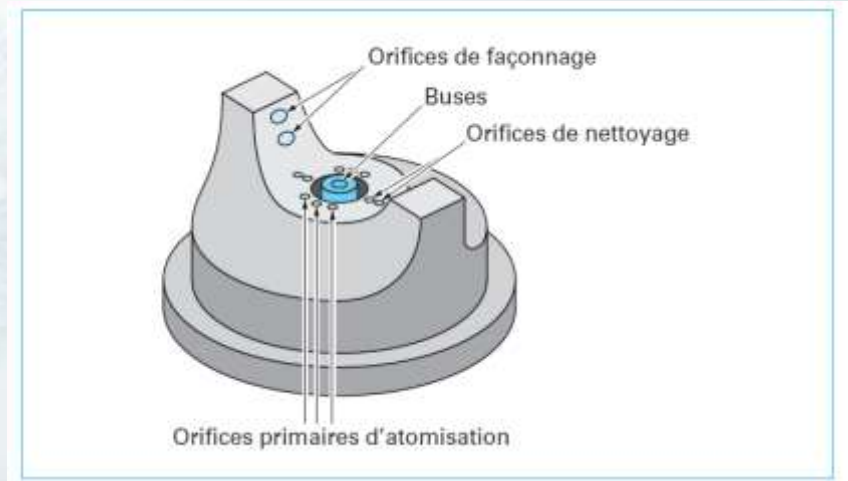
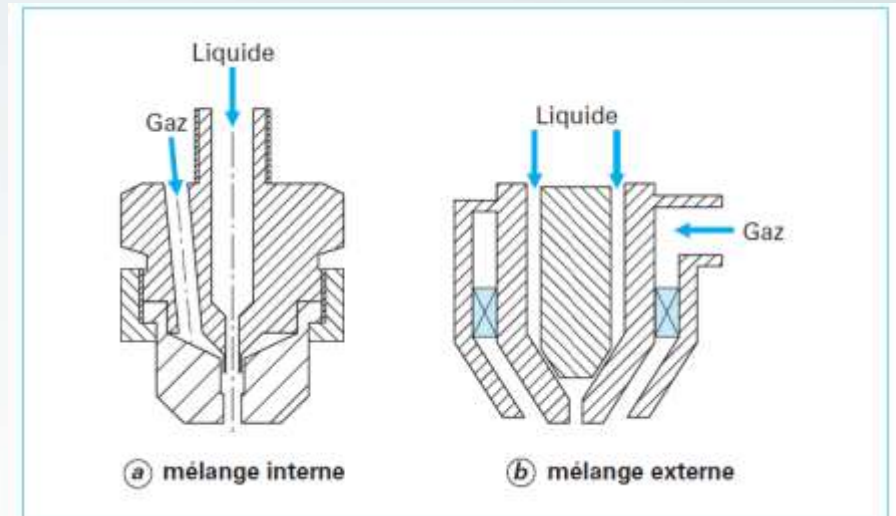
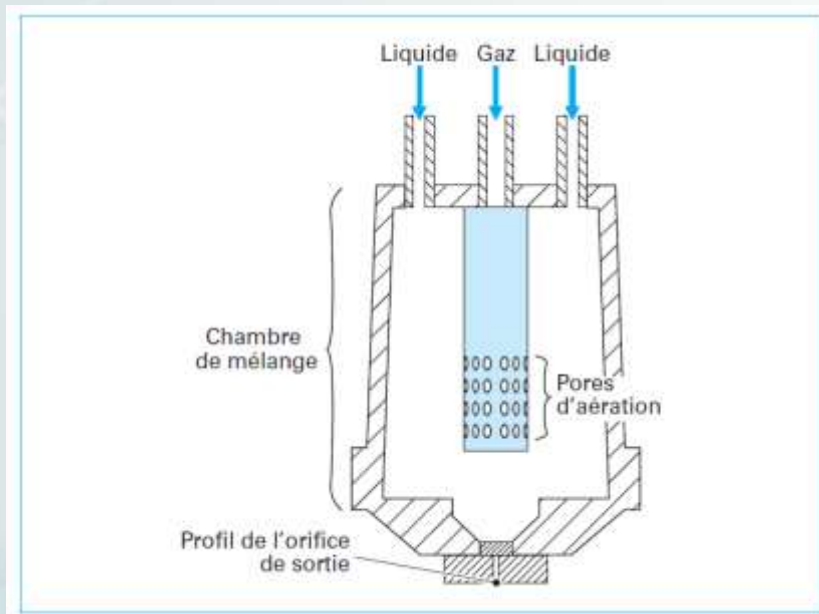
Atomiseurs

Technologie



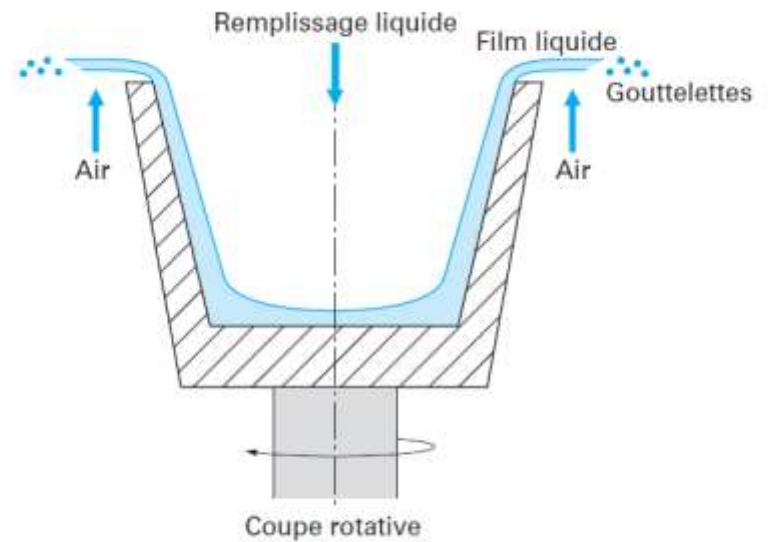
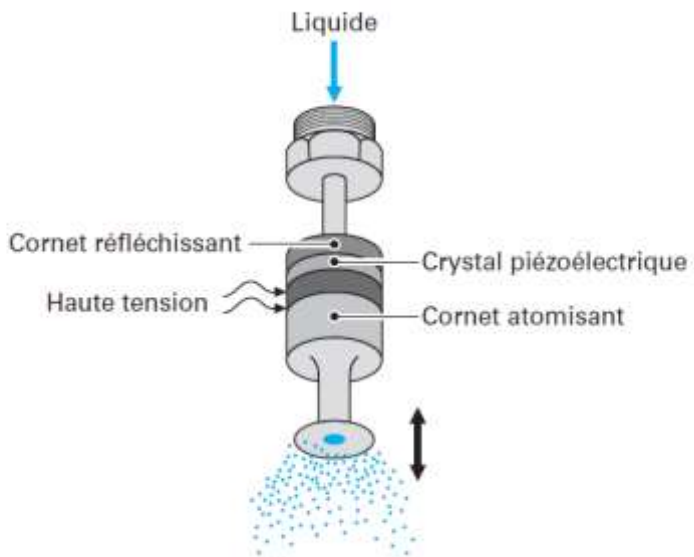
Atomiseurs

Technologie



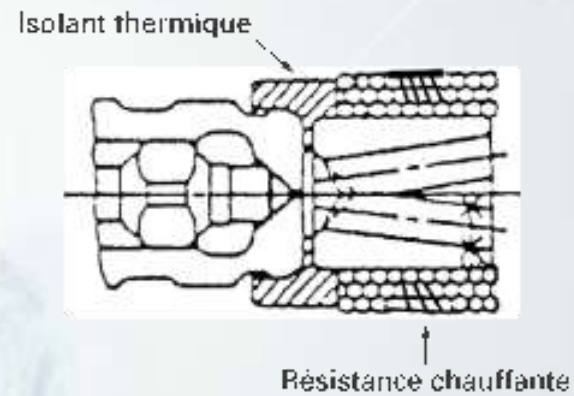
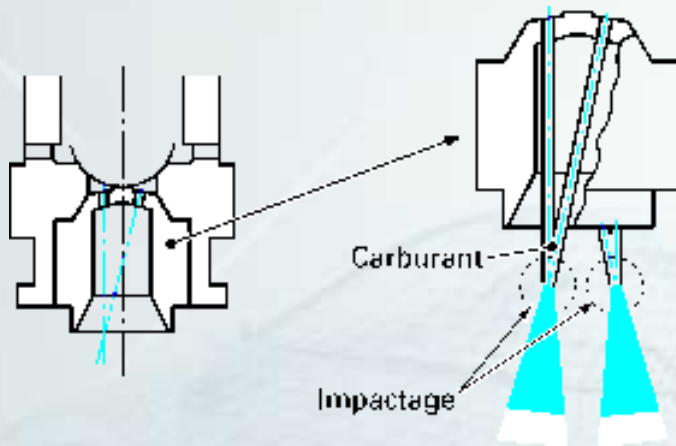
Atomiseurs

Technologie



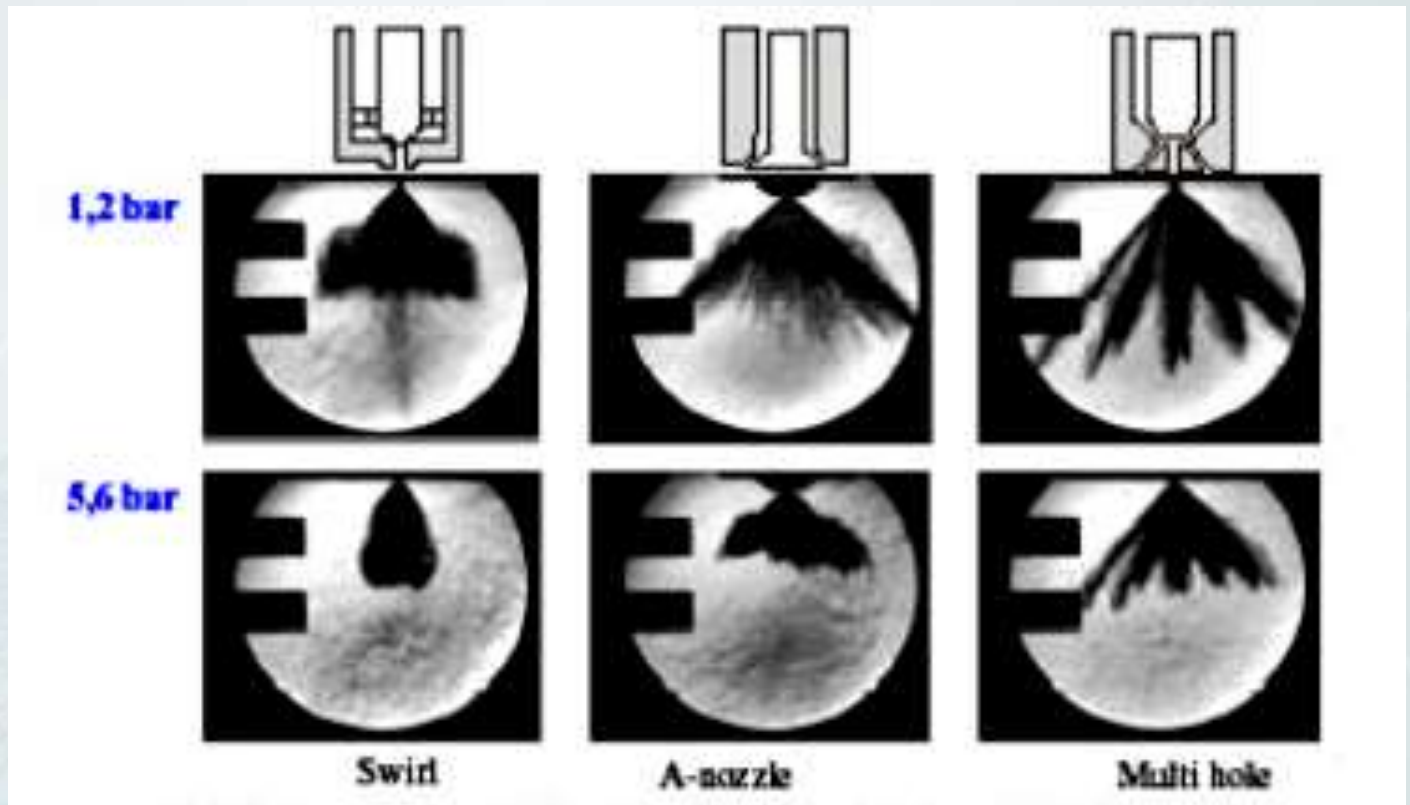
Atomiseurs

Technologie



Atomiseurs

Technologie



Atomiseurs Technologie



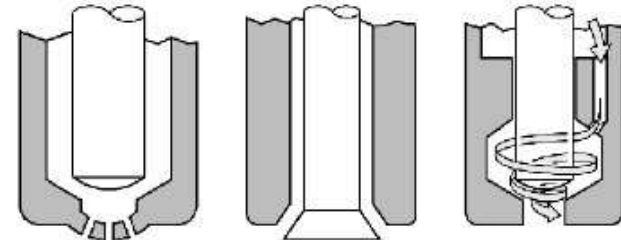
Multi-Hole Injector



O-Injector
(Pintle Injector,
Outward Opening)



I-Injector
(Single Hole Injector,
Inward Opening,
With Swirl Component)



Criterion	Multi Hole Injector	O-Injector	I-Injector
Flexible Spray Form	++	-	+
Spray Inclination	+	-	++
Spray Quality at 10 MPa	-	0	++
Resistance Against Deposit	-	++	+

Paramètres d'influence

Pression d'injection

Géométrie buse

Densités

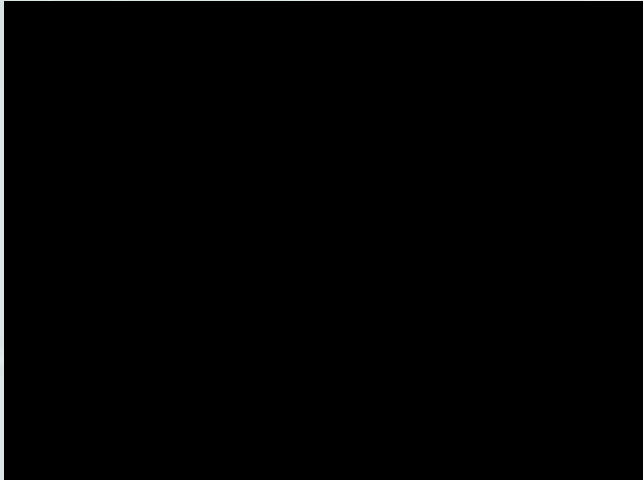
Aérodynamique

Température

Caractéristiques liquide

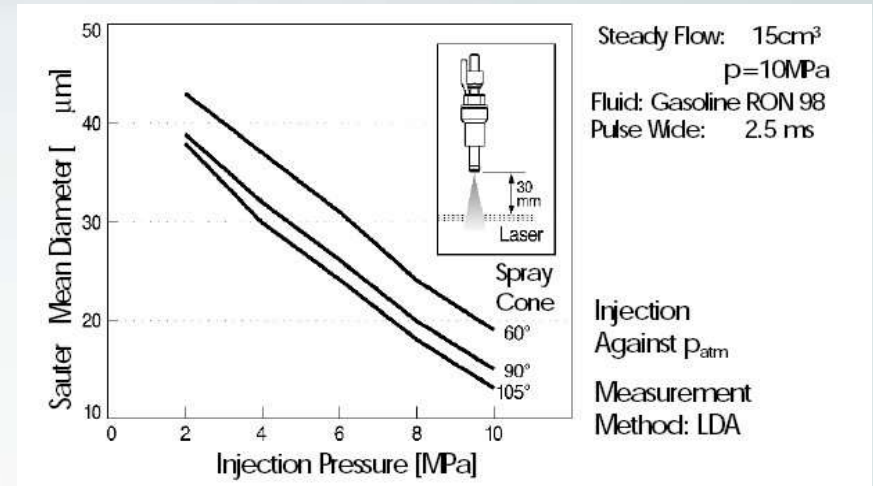
Paramètres d'influence

Influence de la pression d'injection

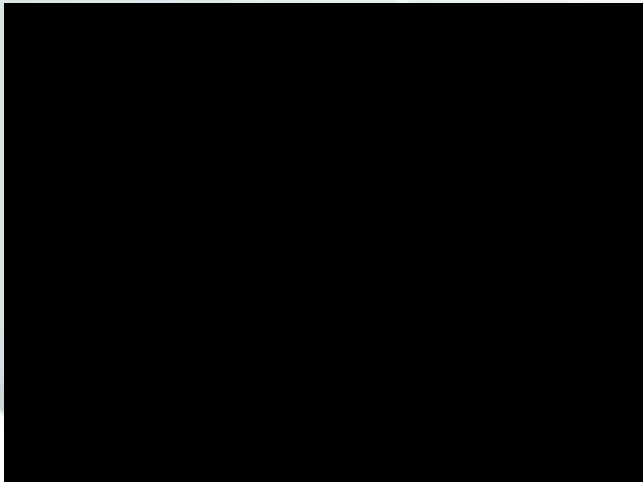


Pi100bar

P atm

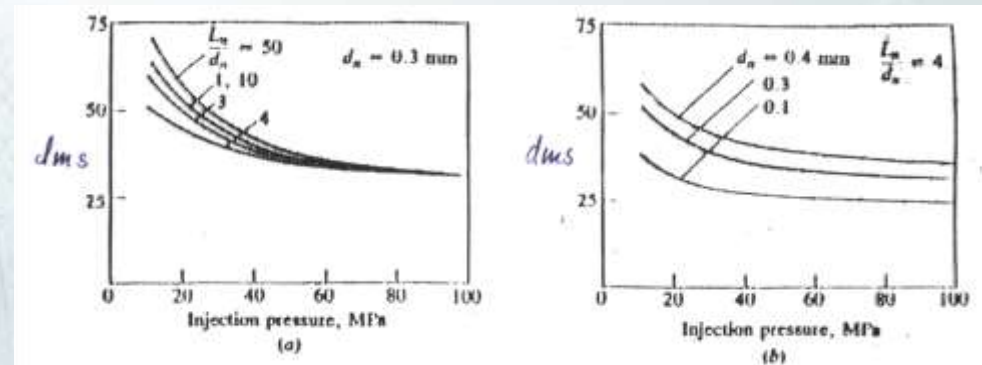


C. Stan, GDI



Pi40bar

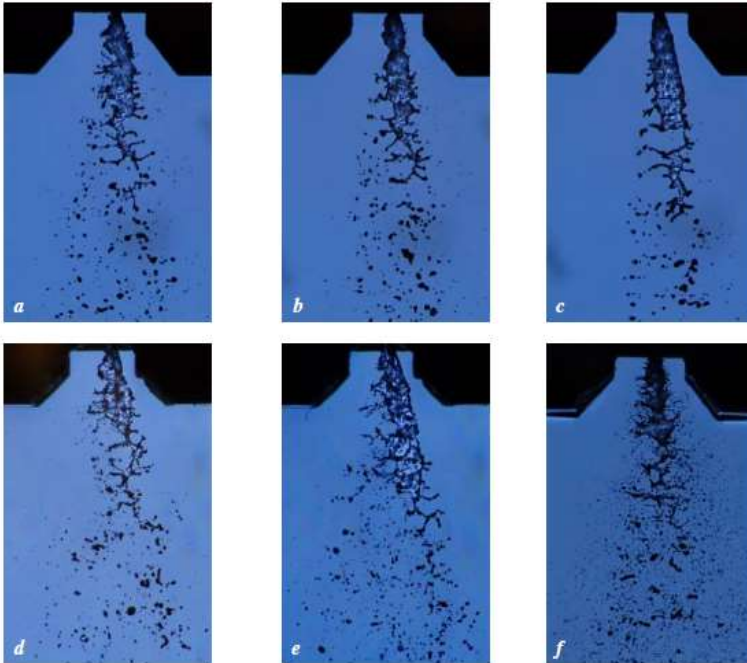
P atm



Heywood, I.C.E fundamentals

Paramètres d'influence

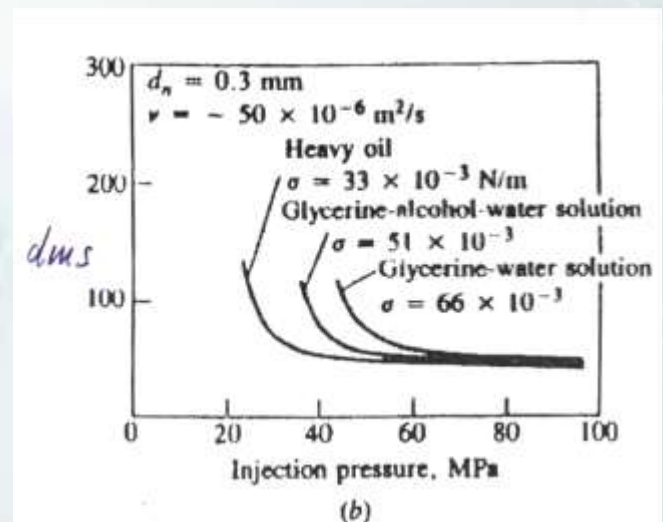
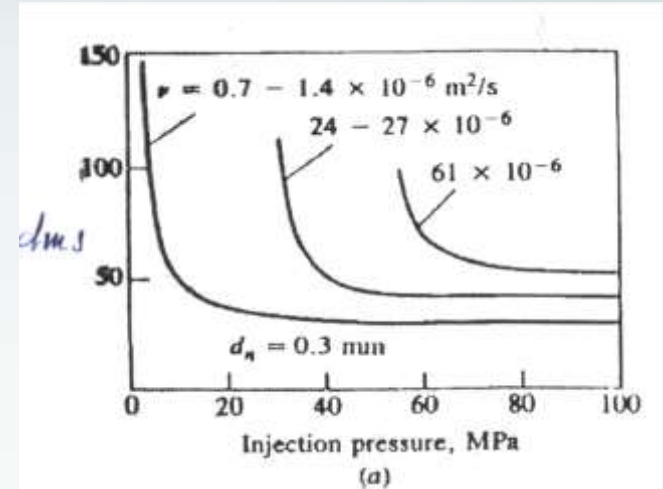
Influence des caractéristiques du liquide



Influence du liquide sur le processus d'atomisation

(a) eau, (b) mélange aqueux de glycérol 5%, (c) mélange aqueux de glycérol 10%,
 (d) mélange aqueux d'éthanol 1%, (e) mélange aqueux d'éthanol 10%, (f) heptane

($\Delta P_i = 3.5 \text{ bar}$, $P_{amb} = P_{atm}$)

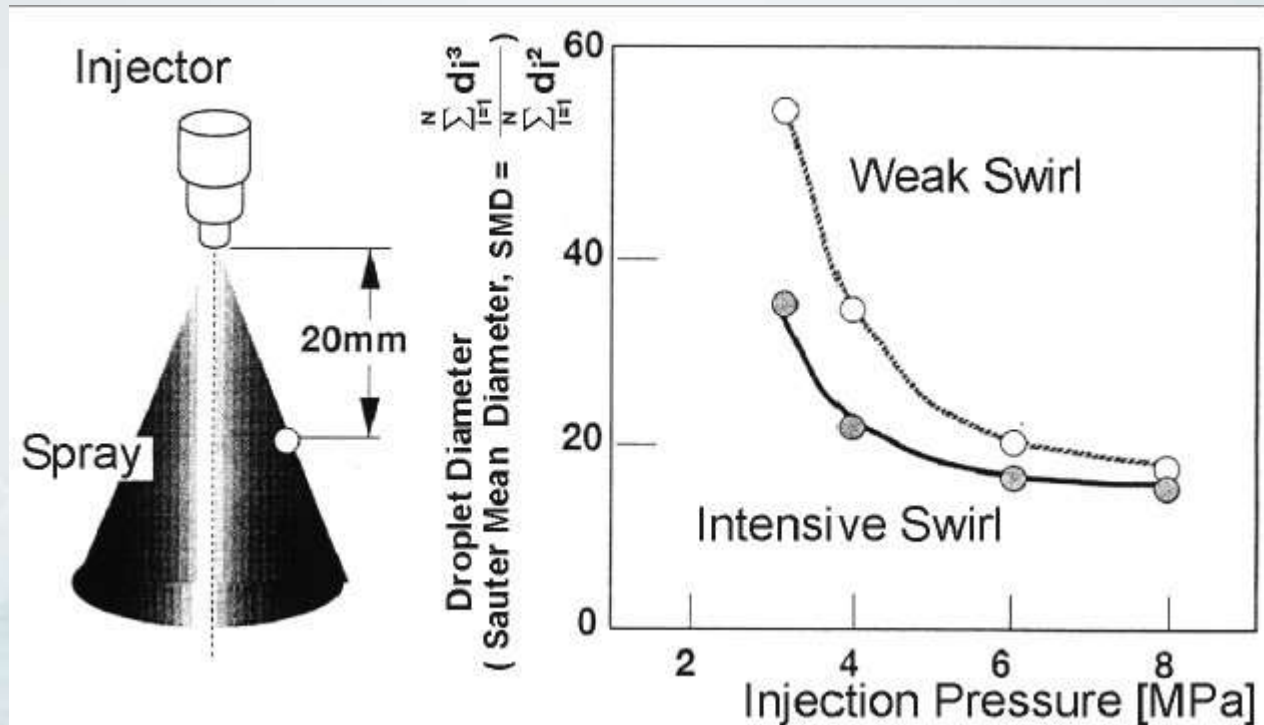


Heywood, I.C.E fundamentals

Thèse de S. Grout 2009 encadrée par C. Dumouchel Analyse multi-échelle des processus d'atomisation et des sprays Application aux injecteurs triple disque

Paramètres d'influence

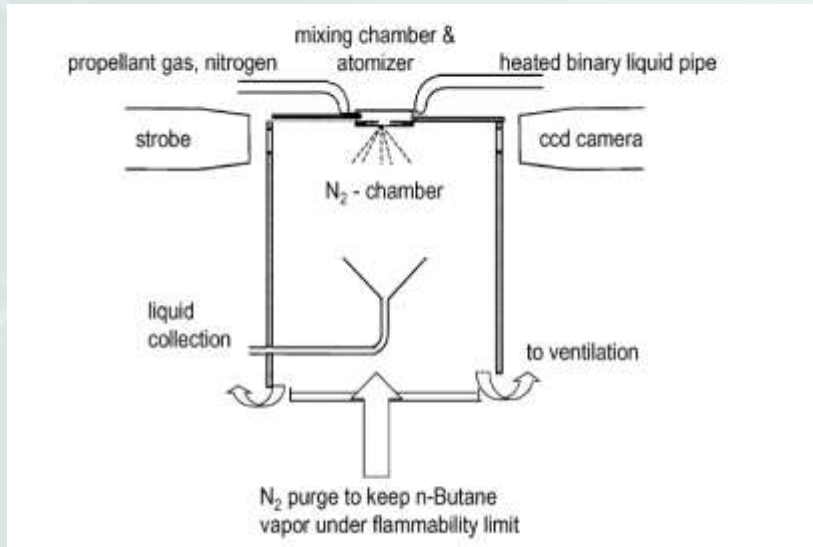
Influence du swirl



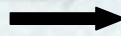
C. Stan, GDI

Paramètres d'influence

Influence de la Température

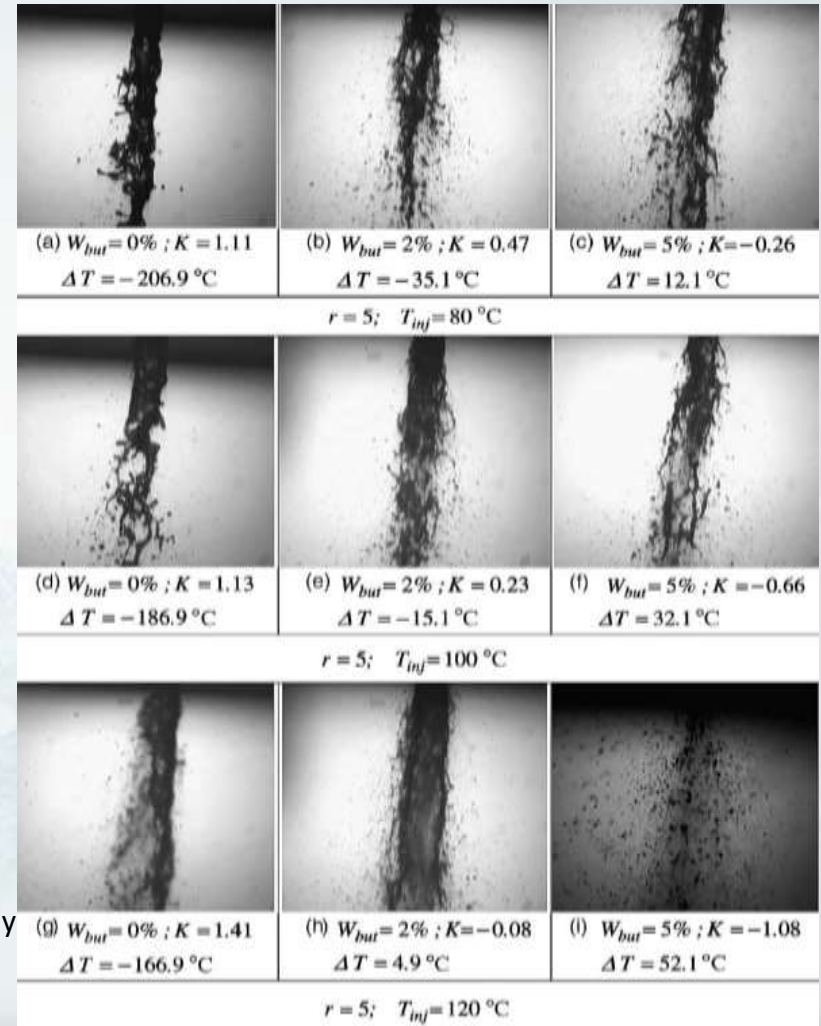


Images de spray avec des rapports N₂/liquide r=5



ΔT : Superheat temperature
K : nombre de cavitation

T. Gemci a, K. Yakut a, N. Chigier a,*, T.C. Ho (2004) Experimental study of flash atomization of binary hydrocarbon liquids. J. At. Sprays



Paramètres d'influence

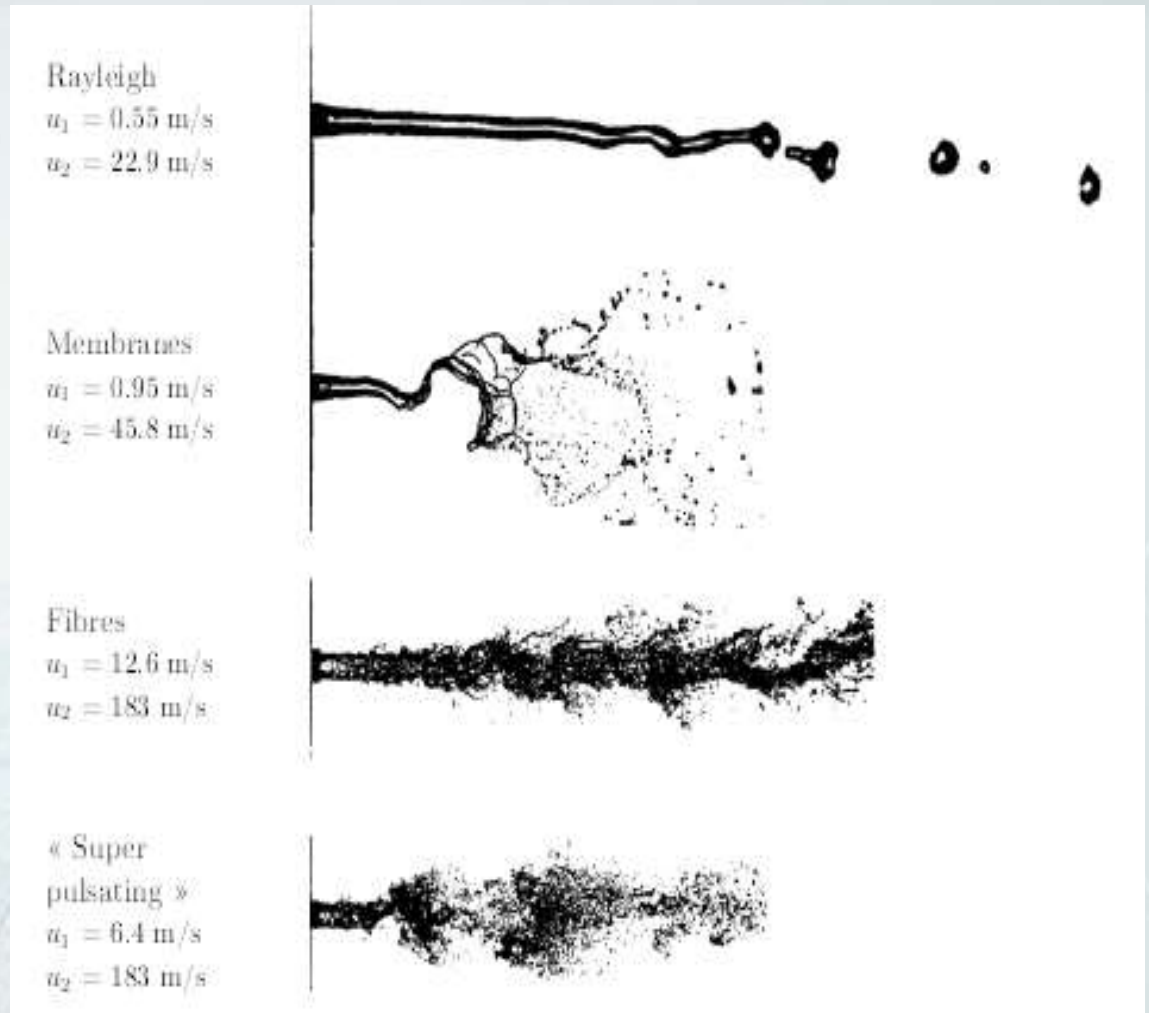
Influence de l'Aerodynamique

Faragó, Z. & Chigier, N. 1992 Morphological classification of disintegration of round liquid jets in a coaxial air stream. *Atom. and Sprays* 2, 137153.



Classification avec le paramètre M

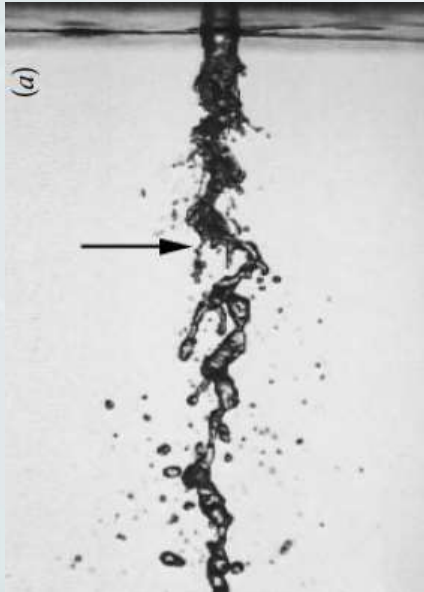
$$M = \frac{\rho_g u_g^2}{\rho_l u_l^2}$$



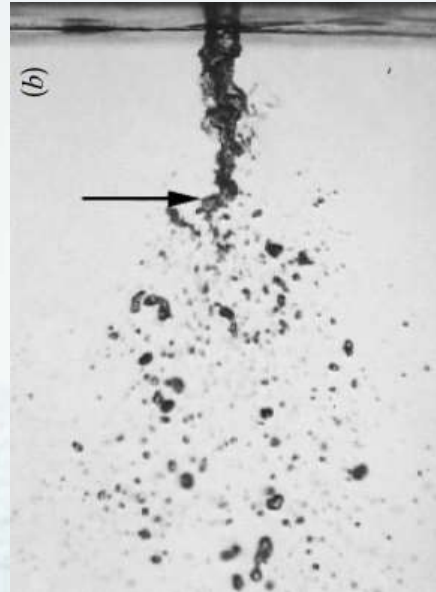
Paramètres d'influence

Influence du paramètre M sur la longueur de rupture

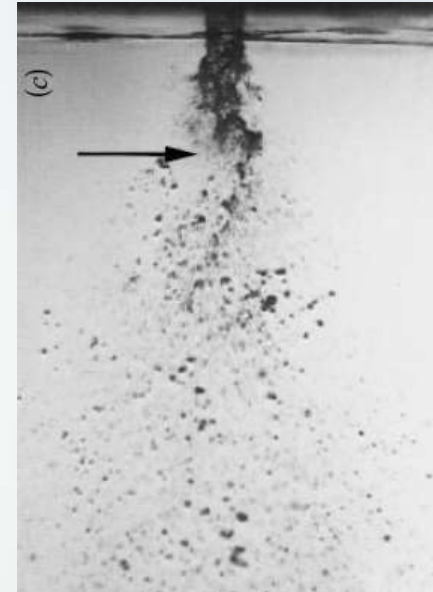
Lasheras, J., Villermaux, E. & Hopfinger, E. 1998
Breakup and atomisation of a round water jet by a
high-speed annular jet. J. Fluid Mech. 357,
351379.



$M = 2,5$



$M = 10$



$M = 40$

➔ Corrélations basées sur ce paramètres

Paramètres d'influence

Influence de l'acoustique

G.Boisdron (2006) Etude de l'atomisation d'un jet liquide assisté par air soumis à une onde acoustique stationnaire transverse haute fréquence. Thèse de doctorat

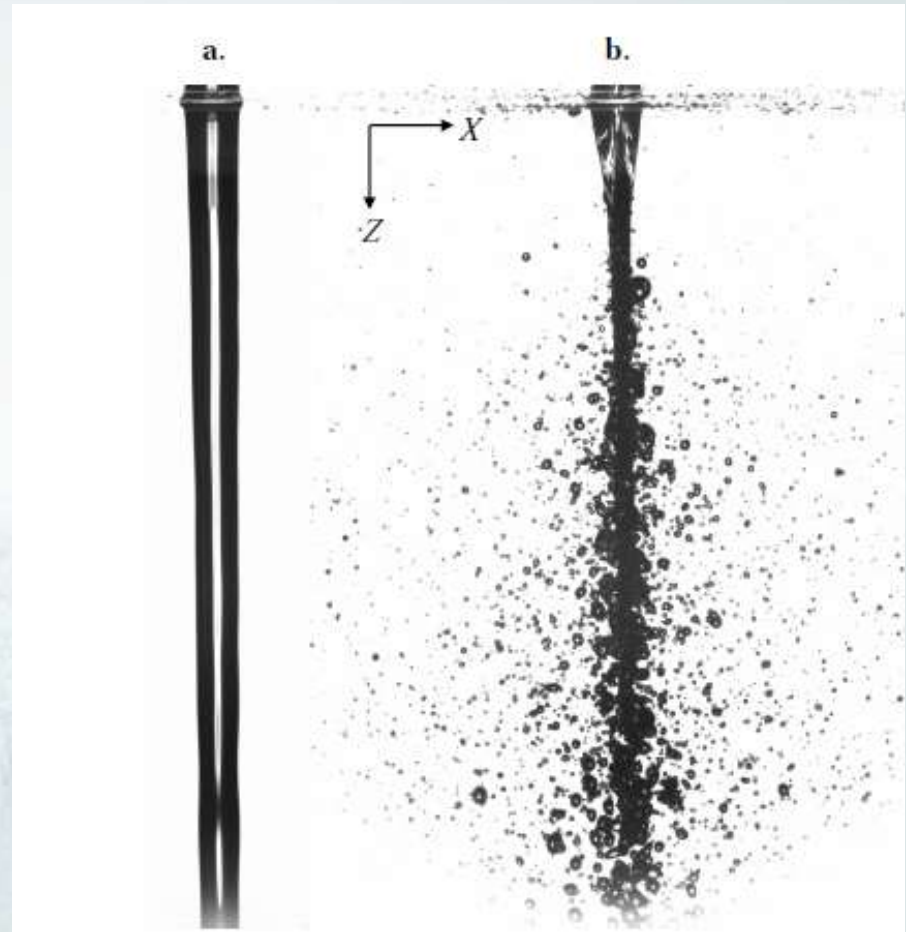
$$Re_l = 3715$$

$$We = 1,3$$

$$P_{ac} = 2448 \text{ Pa}$$

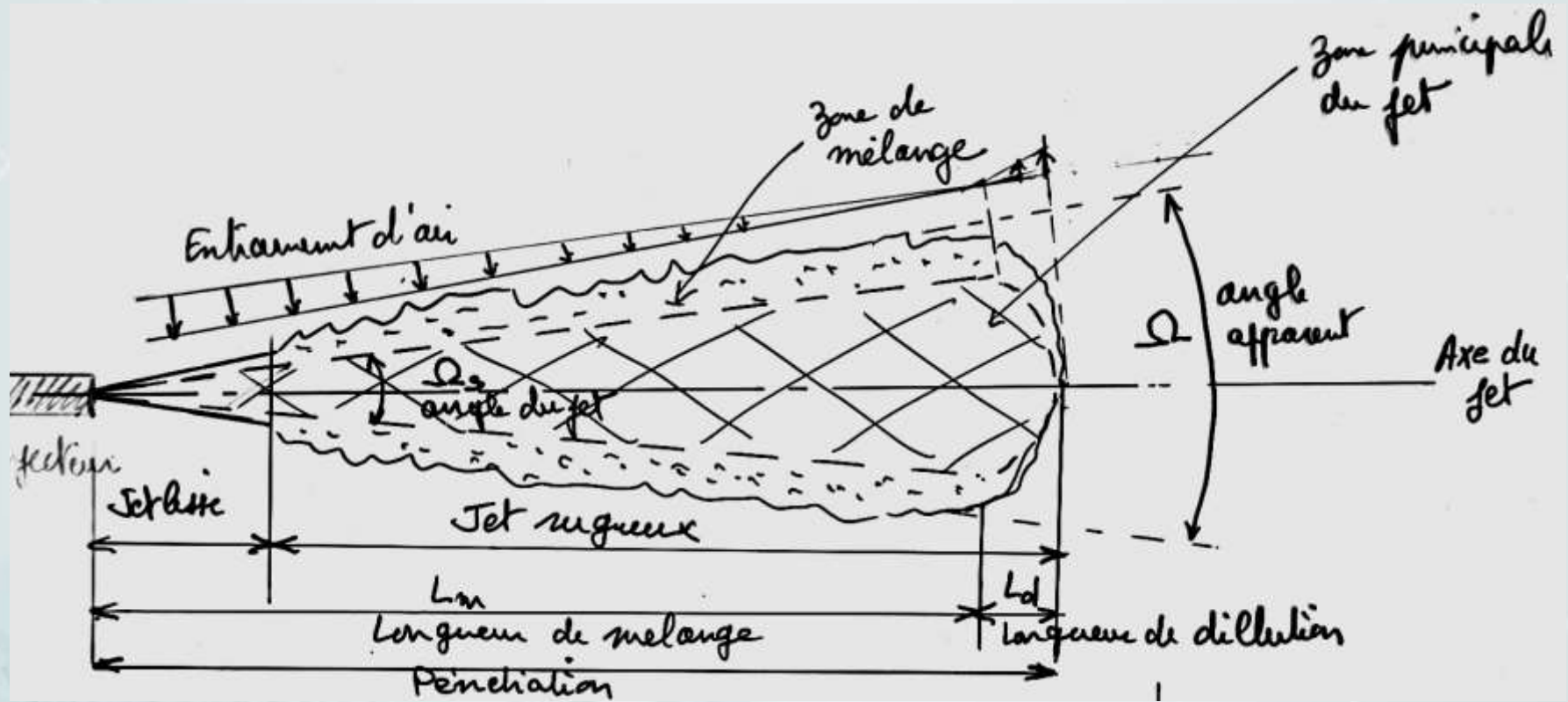
a : sans acoustique

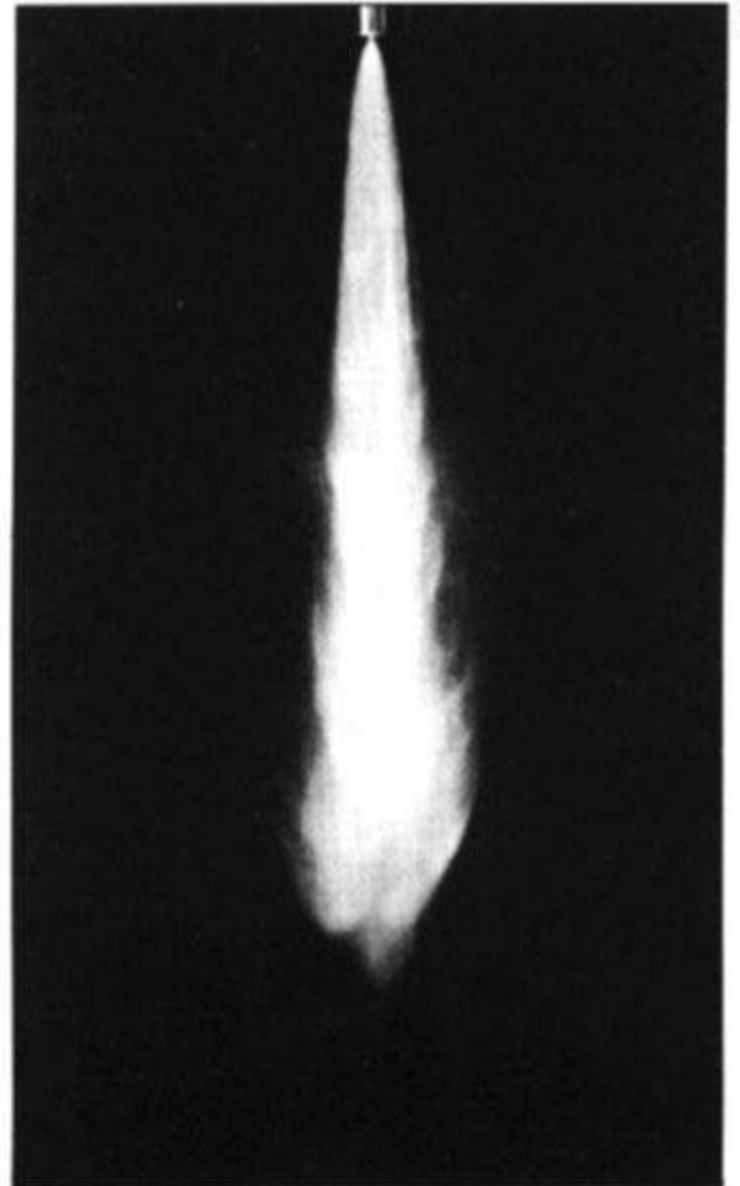
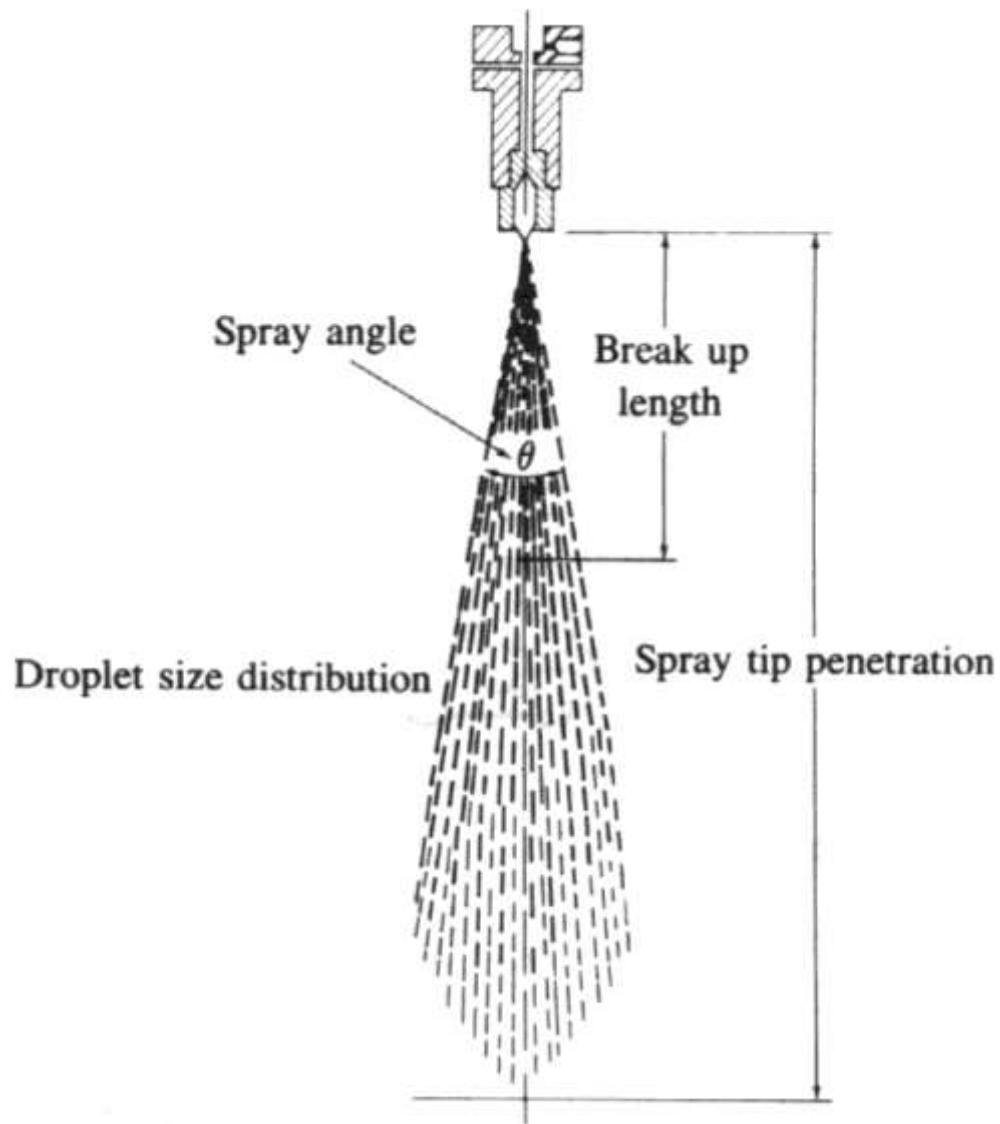
*b : avec une onde
acoustique transverse
d'amplitude de pression
acoustique P_{ac}*



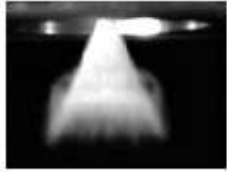
Caractérisation des sprays

Angle, pénétration, longueur liquide,...





0.83 msec



1.66 msec



2.49 msec



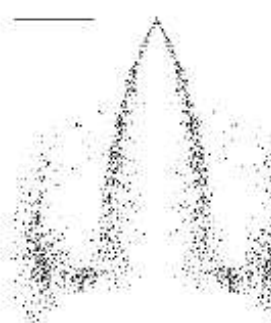
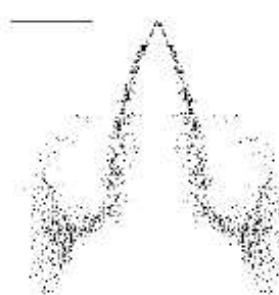
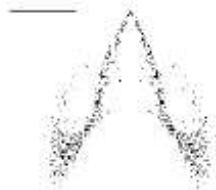
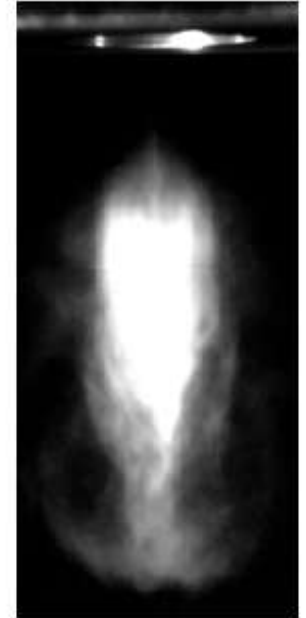
3.32 msec



4.15 msec



4.98 msec



Caractérisation des sprays

Distributions de tailles

Normale

$$f(d) = \frac{\delta N}{\delta d} = \frac{1}{s \sqrt{2\pi}} e^{-\frac{1}{2s^2}(d-\bar{d})^2}$$

Log-normale

$$f(d) = \frac{\delta N}{\delta d} = \frac{1}{sd \sqrt{2\pi}} e^{-\frac{1}{2s^2}(\ln d - \ln \bar{d})^2}$$

Nukiyama-Tanasawa

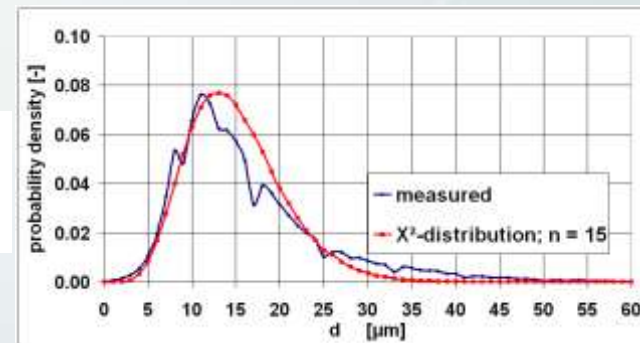
$$f(d) = \frac{\delta N}{\delta d} = ad^p e^{-bd^q}$$

Rosin-Rammler

$$V = 1 - e^{-\left(\frac{d}{X}\right)^n}$$

χ^2

$$f(d) = \frac{\delta N}{\delta d} = \frac{1}{2^{k/2} \Gamma(k/2)} d^{k/2-1} e^{-d/2}$$



Caractérisation des sprays

Diamètres moyens

$$d_{ab} = \left[\frac{\int_{d_{\min}}^{d_{\max}} d^a \left(\frac{\delta N}{\delta d} \right) \delta d}{\int_{d_{\min}}^{d_{\max}} d^b \left(\frac{\delta N}{\delta d} \right) \delta d} \right]^{\frac{1}{a-b}}$$

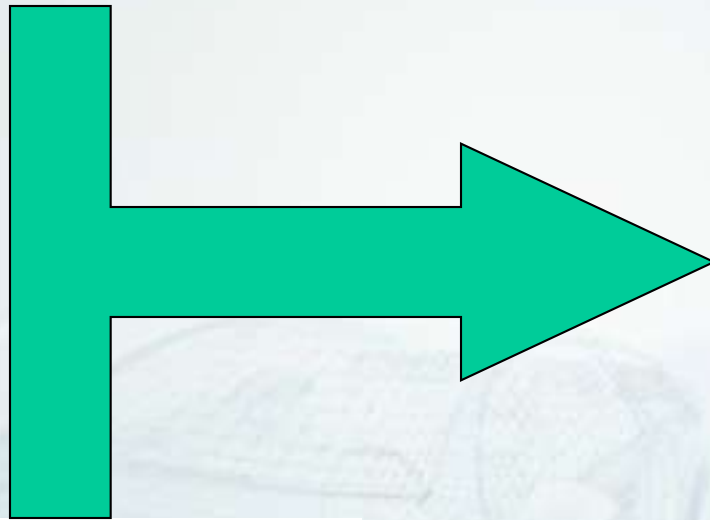
$$d_{ab} = \left[\frac{\sum_i N_i d^a}{\sum_i N_i d^b} \right]^{\frac{1}{a-b}}$$

$$D_{10} = \frac{\int_{D_{\min}}^{D_{\max}} D (dN / dD) dD}{\int_{D_{\min}}^{D_{\max}} (dN / dD) dD}$$

$$D_{20} = \left[\frac{\int_{D_{\min}}^{D_{\max}} D^2 (dN / dD) dD}{\int_{D_{\min}}^{D_{\max}} (dN / dD) dD} \right]^{1/2}$$

$$D_{30} = \left[\frac{\int_{D_{\min}}^{D_{\max}} D^3 (dN / dD) dD}{\int_{D_{\min}}^{D_{\max}} (dN / dD) dD} \right]^{1/3}$$

$$E = \sigma \sum_{i=1}^{i=N} \pi D_i^2$$



$$E / m_L = \frac{6\sigma}{\rho_L D_{32}}$$

$$m_L = \rho_L \frac{\pi}{6} \sum_{i=1}^{i=N} D_i^3$$

Caractérisation des sprays

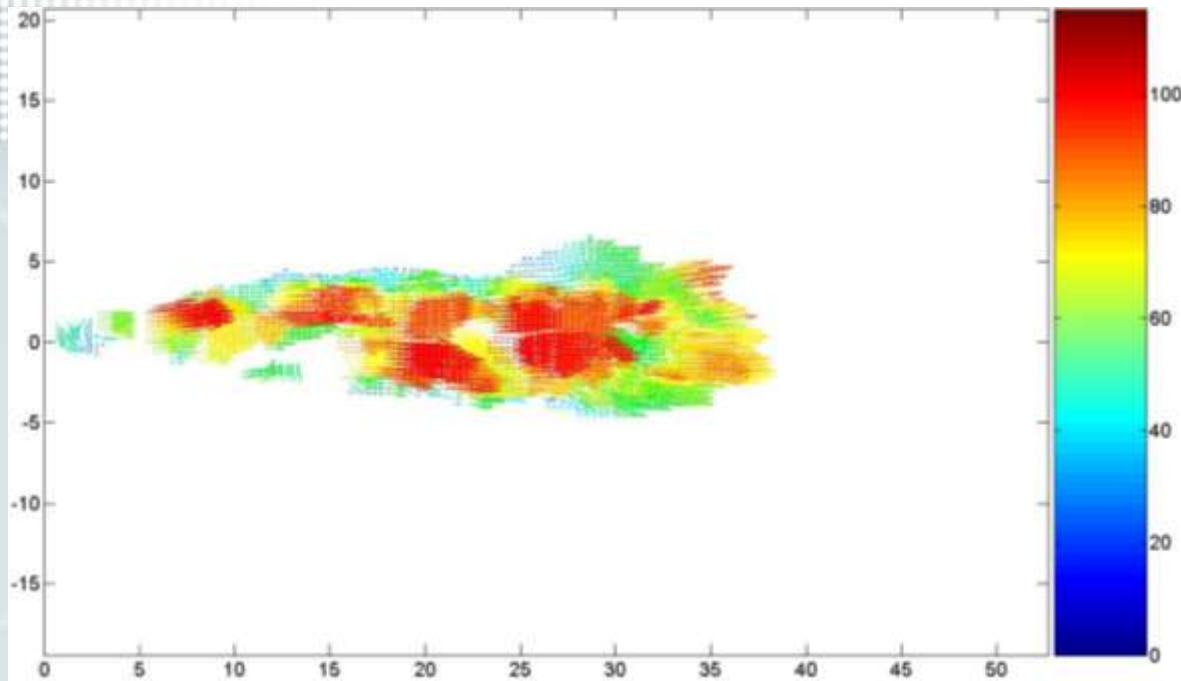
Diamètres moyens

Diamètre moyen	Nom commun	<i>a</i>	<i>b</i>	Application
d_{10}	Moyenne arithmétique	1	0	Comparaison
d_{20}	Moyenne de surface	2	0	Évaporation, aérodynamique (traînée)
d_{30}	Moyenne de volume	3	0	Inertie
d_{21}	Longueur moyenne de surface	2	1	Absorption
d_{31}	Longueur moyenne de volume	3	1	Évaporation, diffusion moléculaire
d_{32}	Diamètre moyen de Sauter	3	2	Transfert de masse, rapport inertie/traînée (pénétration), taux de réaction
d_{43}	Moyenne de Herdan	4	3	Combustion
$d_{0,5}$	Diamètre moyen de masse (MMD)			50 % du volume total se trouve sous forme de gouttes de taille inférieure à cette valeur

Interactions des sprays

Air/Spray





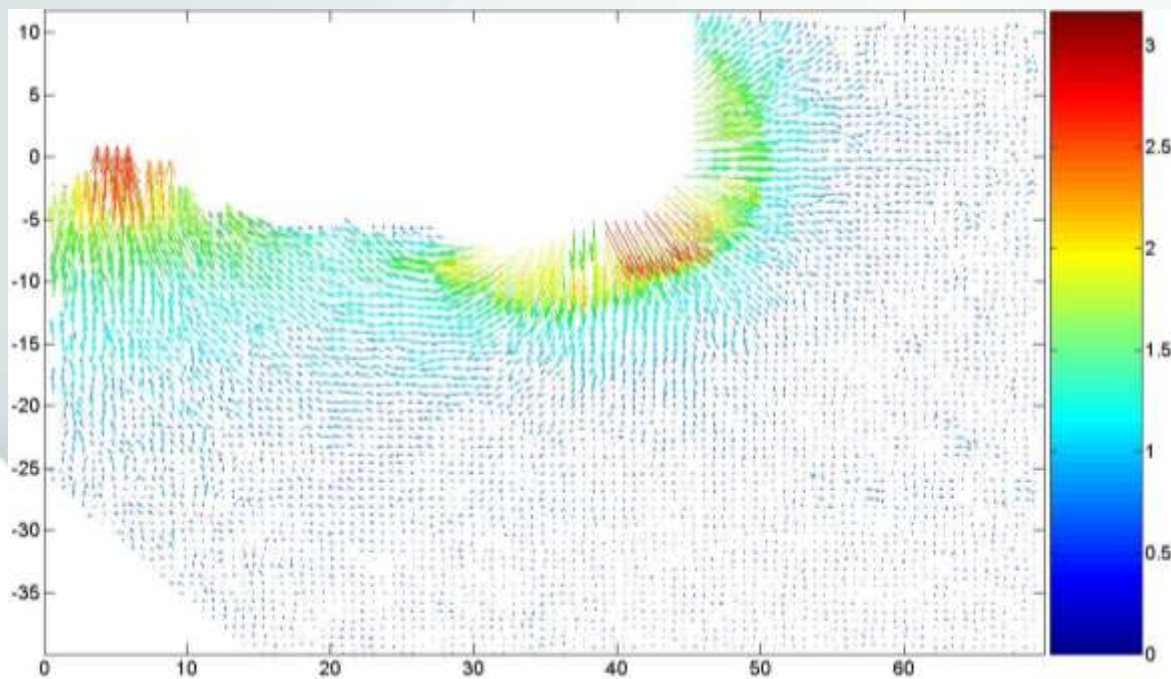
Vitesses Spray & air Injecteur Swirl

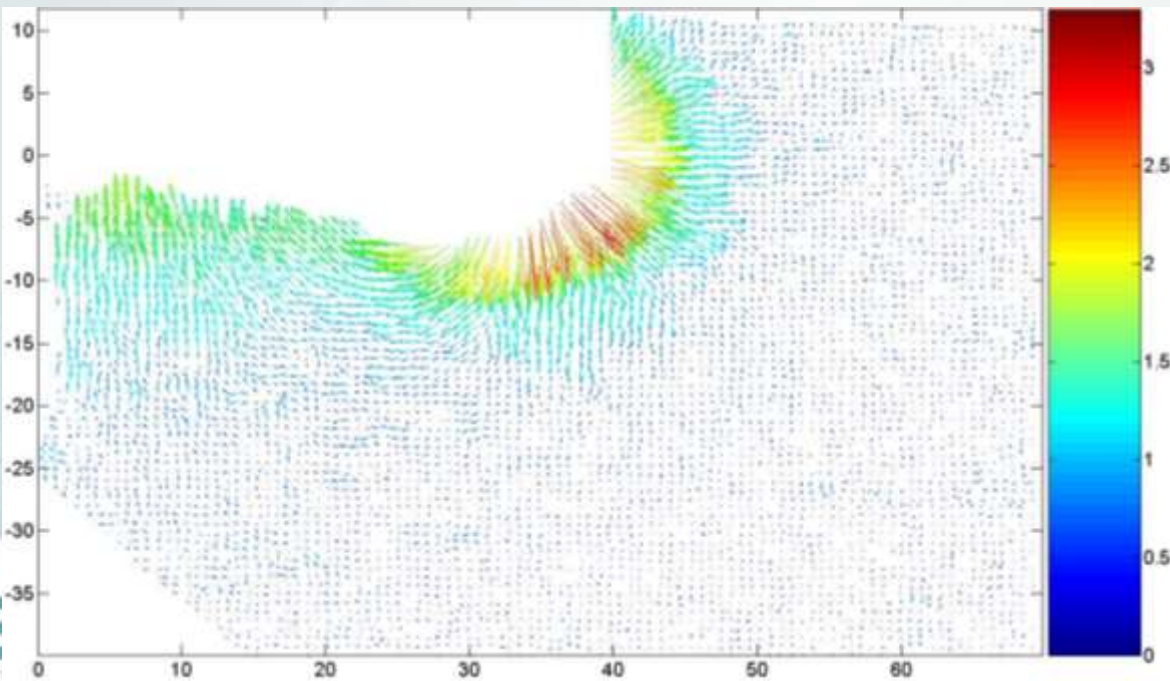
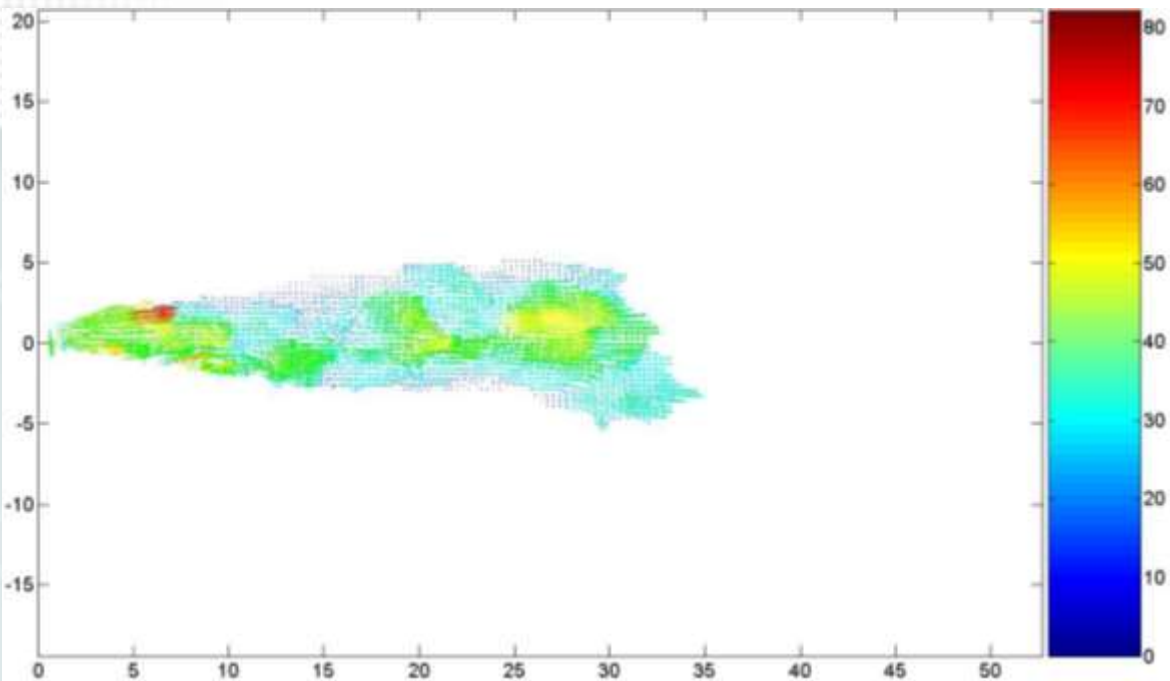
Pression Inj. 80bar

Pression atm. 5bar

500 μ s ASI

(mm, vitesses en m/s)





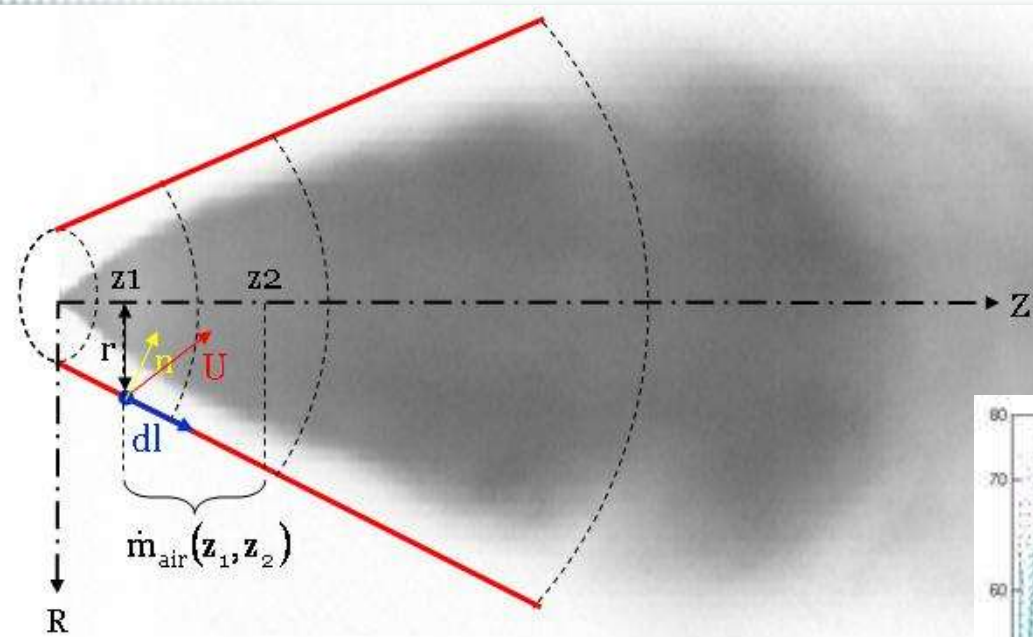
Vitesses Spray & air Injecteur Swirl

Pression Inj. 120bar

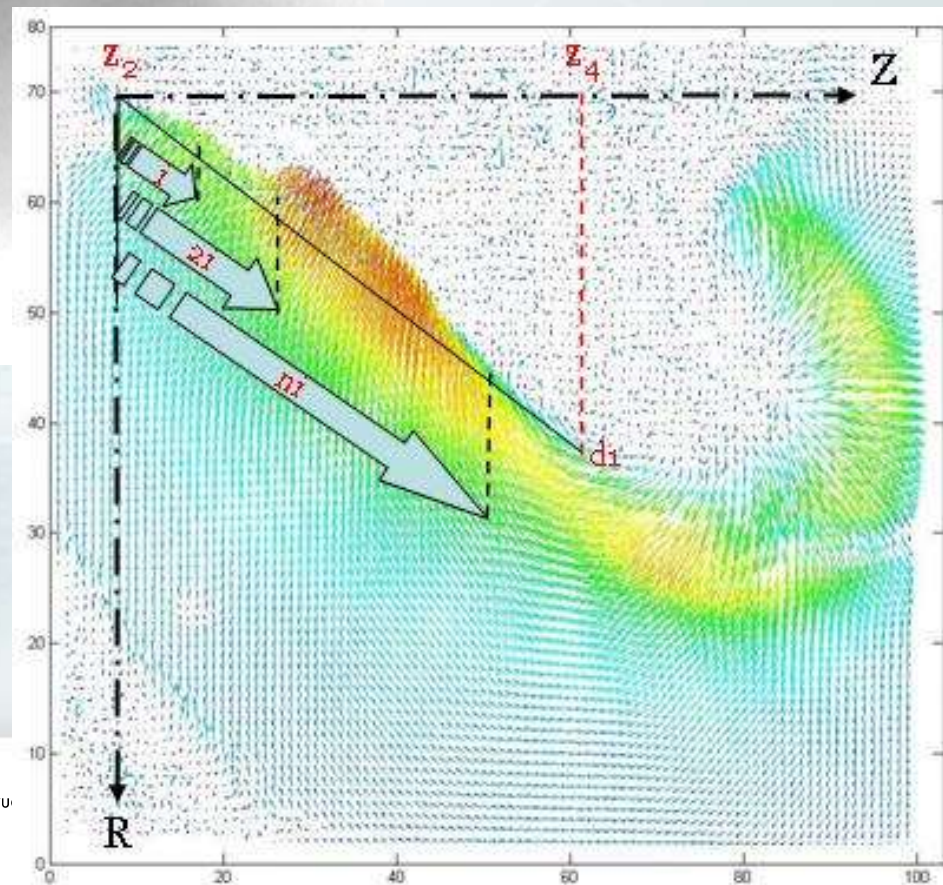
Pression atm. 10bar

500 μ s ASI

(mm, vitesses en m/s)



$$\dot{m}_{\text{air}}(z) = \int_{z=z_1}^{z=z_2} \rho \cdot \vec{U}(r, z) \cdot \vec{n} \cdot 2\pi \cdot r \cdot dl$$

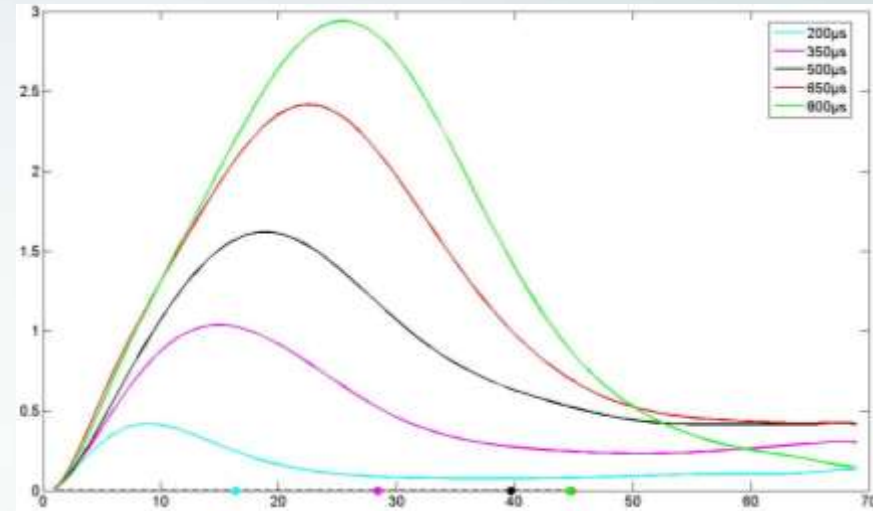
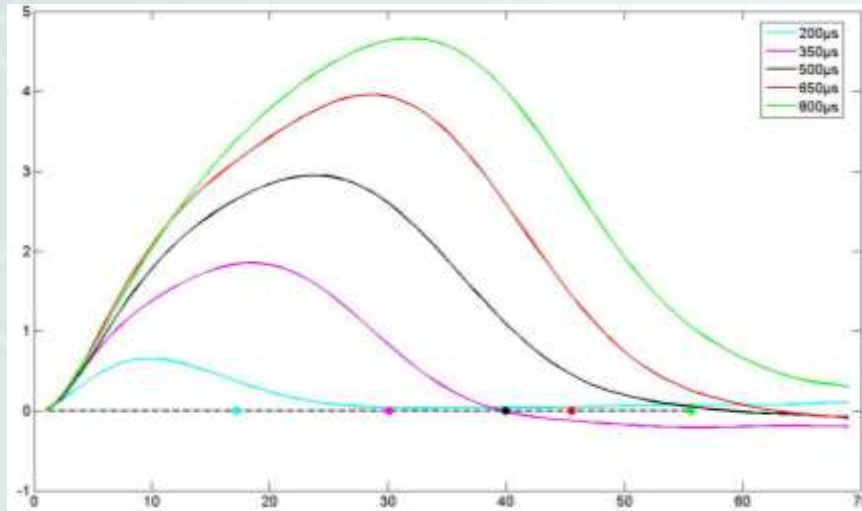


Débits air entrants dans le spray

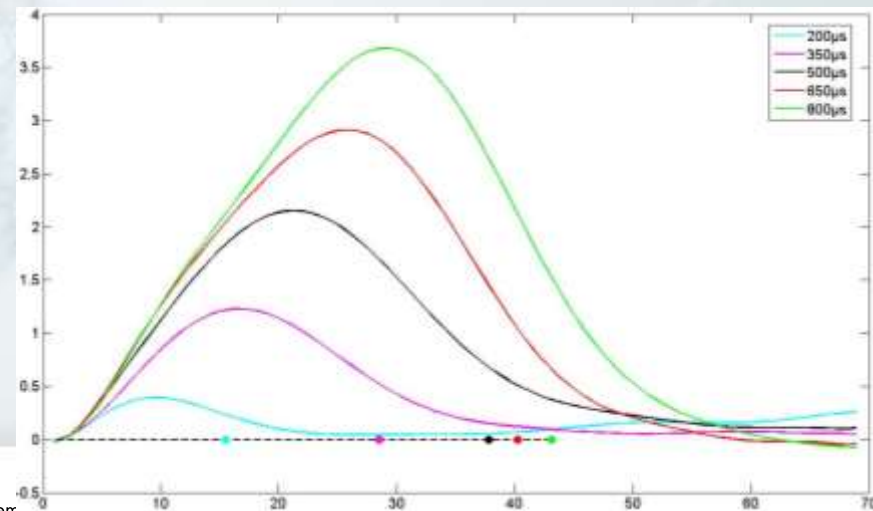
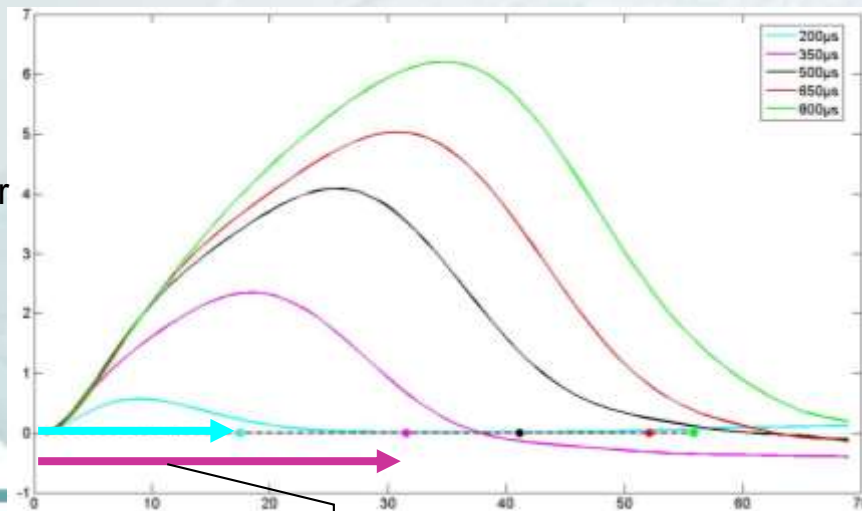
5 bar

10 bar

80 bar



120 bar



Spray tip penetration

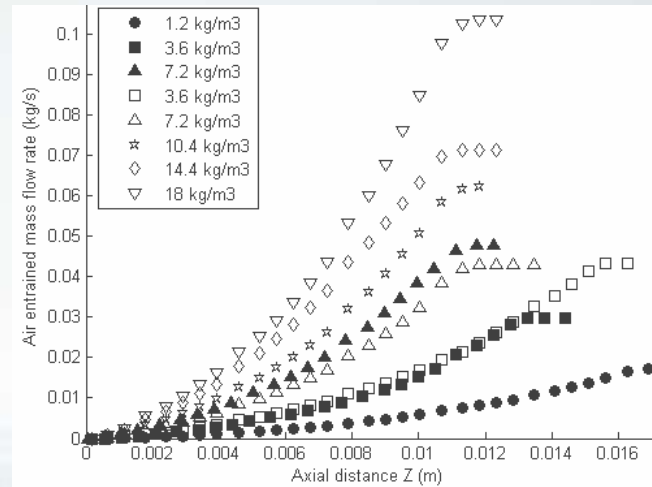
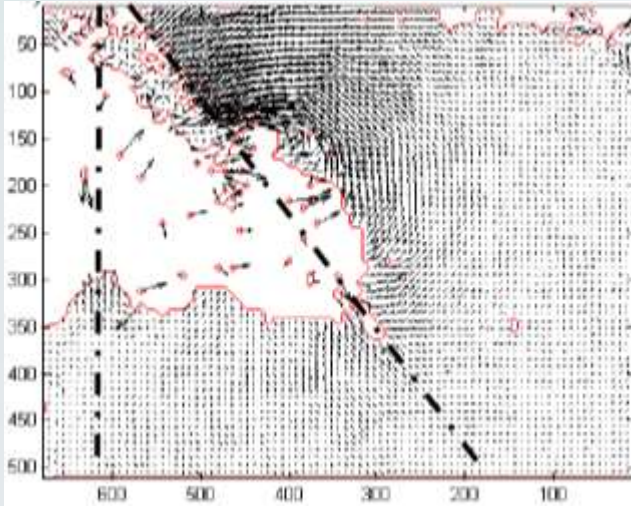
Téléphone : 03 86 71 50 00 / Fax : 03 86 71 50 01

z in mm



Interactions des sprays

Air/Spray



$$\dot{m}_e(z \rightarrow z_0) \approx \alpha_n \left(\frac{\rho_g}{\rho_0} \right)^{5/6} z(z - z_0)^{1/2}$$
$$\dot{m}_e(z \gg z_0) = \alpha_f \left(\frac{\rho_g}{\rho_0} \right)^{1/2} z$$

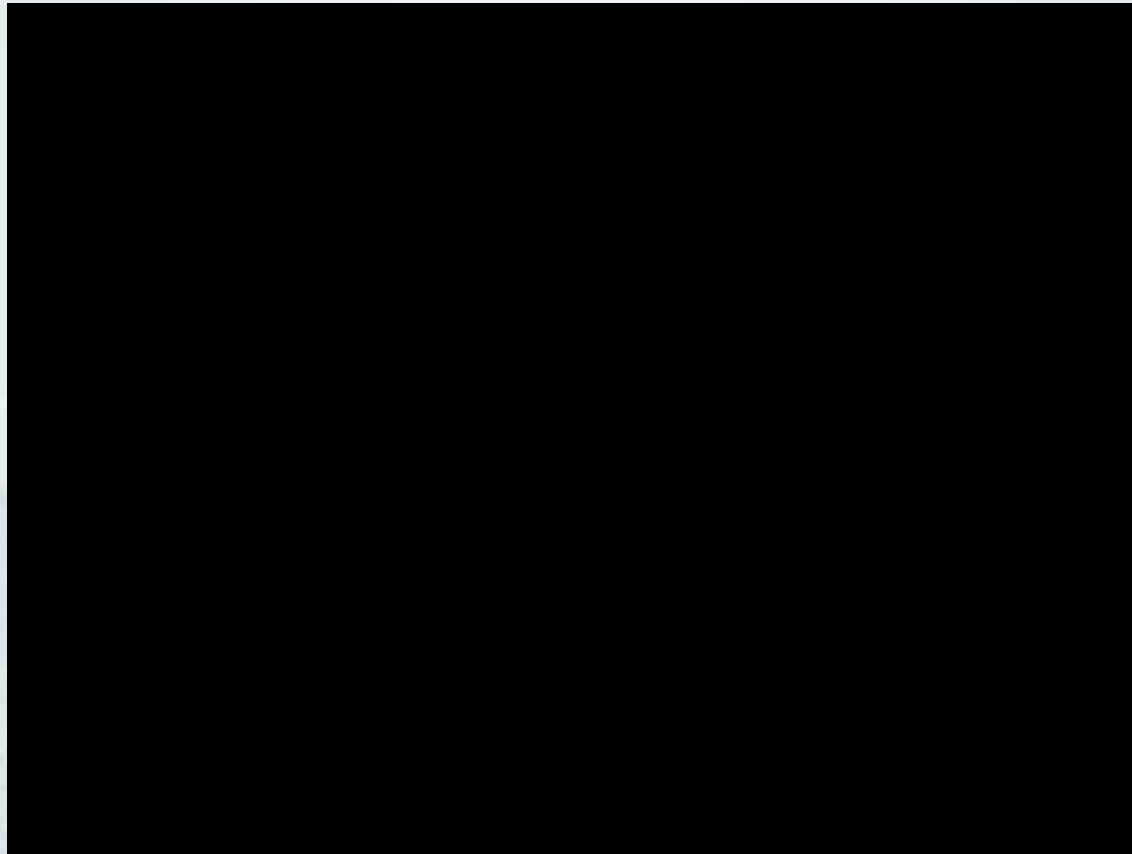
Cossali G. E., An integral model for gas entrainment into full cone sprays. J. Fluid Mech., Vol. 439 : 353-366, 2001

B. Prosperi, J. Helie, R. Bazile - FPIV Study of Density Effect on Air Entrainment In Gasoline Dense Sprays 13th Int Symp on Applications of Laser Techniques to Fluid Mechanics, Lisbon, Portugal, 26-29 June, 2006

Interactions des sprays

Parois/Spray

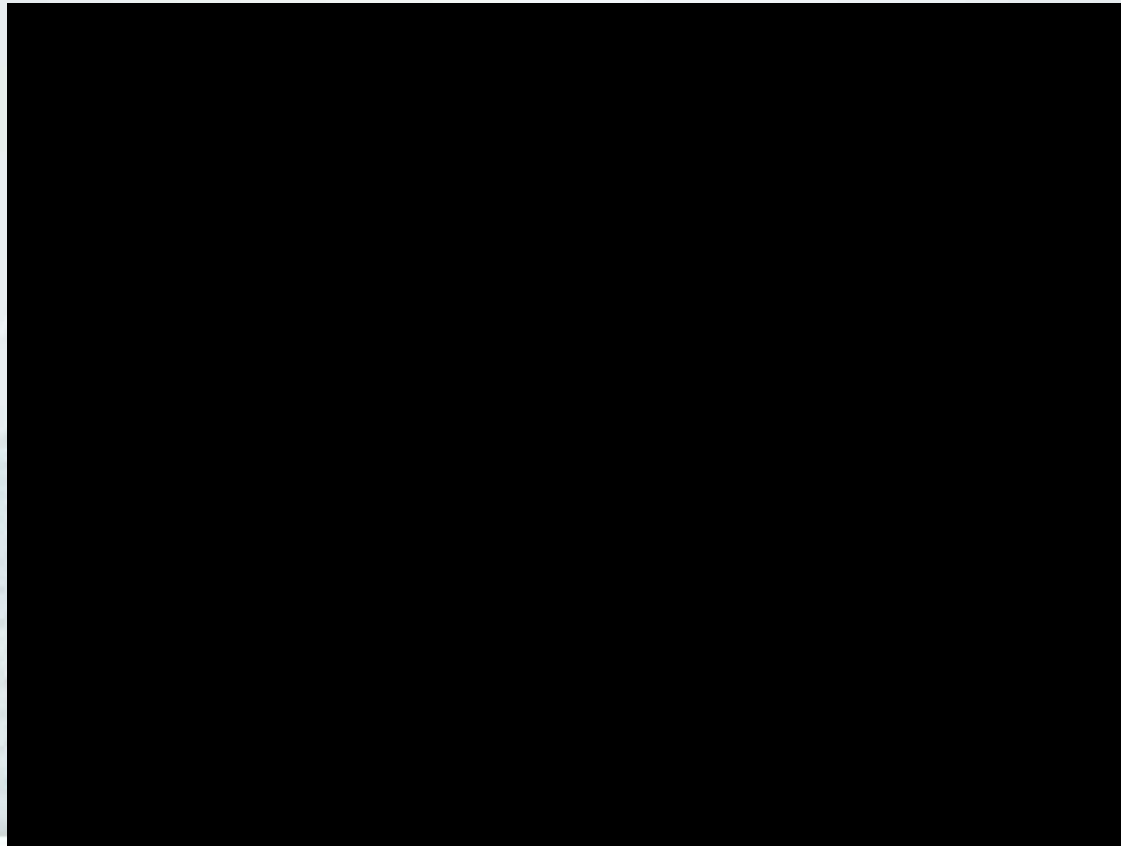
Heptane 148°C

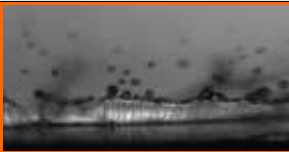

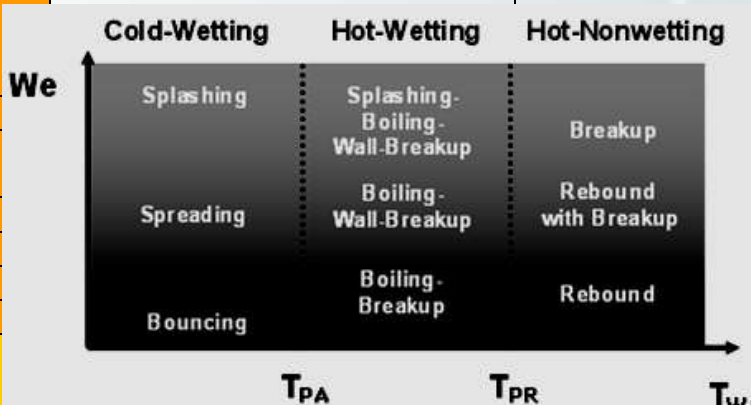



Interactions des sprays

Parois/Spray

Heptane 370°C



Weber number	Wall Temperature	Heating parameter	Impingement regime	Droplet classes				
Low (~1)	low		spreading	1	2	3	4	
	High ($T > T_{leid}$)		rebound	0-100 μm	100-200 μm	200-450 μm	450-0,9 μm	
high	370°C	B=2,22	Intense splash			Heating parameter	$B = \frac{C_p(T_w - T_d)}{L_v}$	
			Ejection angle	45°		Weber impact	$We = \frac{\rho_i d v^2}{\sigma} = 920$	
			Diameter distribution			Reynolds impact	Re=12884	
			Class 1	50% number – 5% mass		Bond number	$Bo = \frac{\Delta \rho d^2 g}{4\sigma} = 0.33$	
			Class 2	40 % number – 20% mass		Ohnesorge	$Oh = \frac{\sqrt{We}}{Re} = 0,00235$	
			Class 3	10% number – 75% mass				
			Class 4	none				
	148°C	B=0,8	Splash			We		
			Ejection angle	10°				
			Diameter distribution					
			Class 1	none				
			Class 2	30 % number – 0% mass				
			Class 3	some				
			Class 4	70 % number – 100% mass				
	70°C	B=0,29	Spreading					
			All mass deposited					

Variabilité des sprays

Fabrication

Perçage (laser)

Electro discharge machining (EDM)

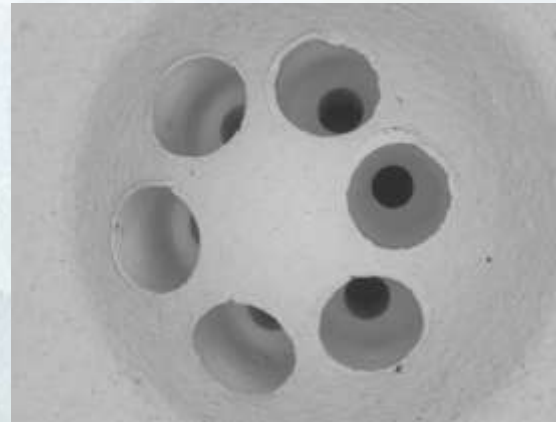
Usure – encrassement

Instationnarité

Variabilité des sprays

Fabrication

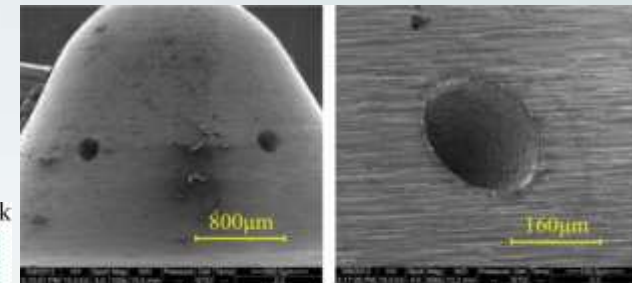
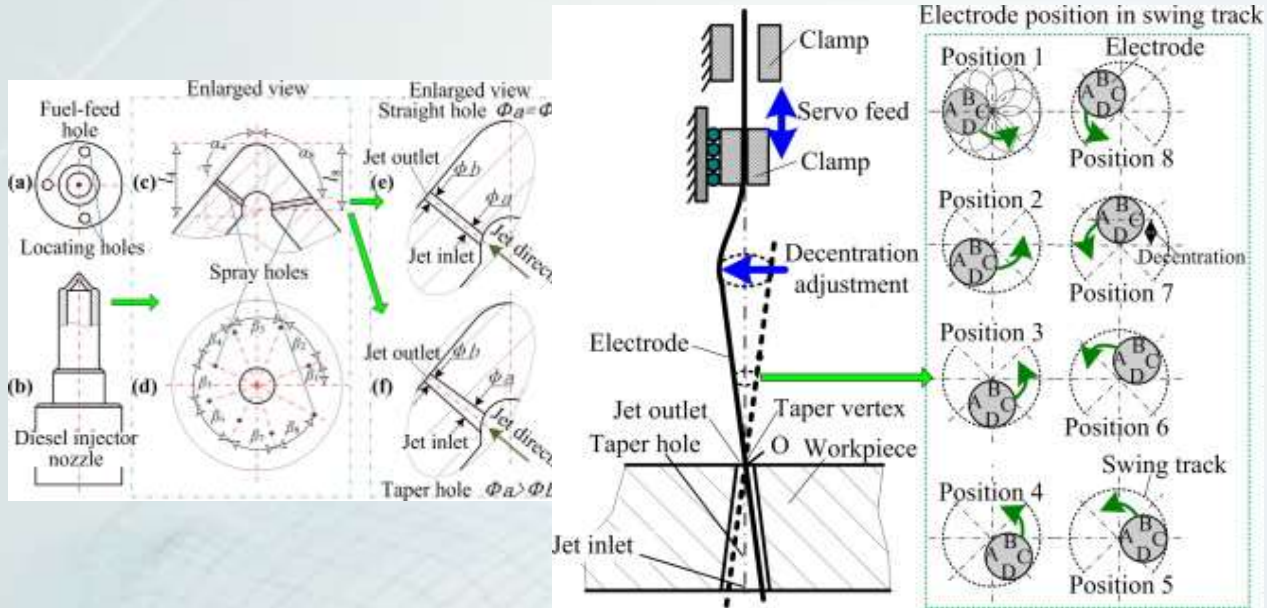
Perçage traditionnel et laser



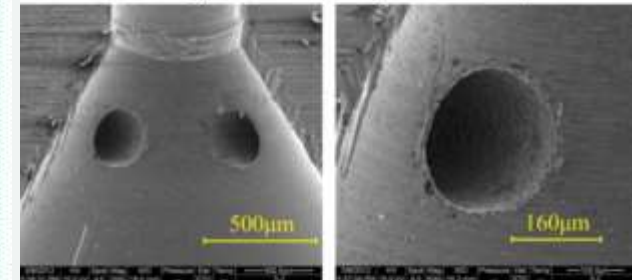
Variabilité des sprays

Fabrication

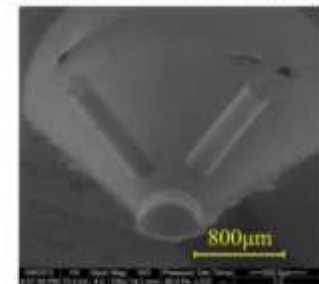
Electro discharge machining (EDM)



a) holes' jet-outlet of 241.2µm and 240.4µm



b) holes' jet-inlet of 256.6µm and 256.9µm

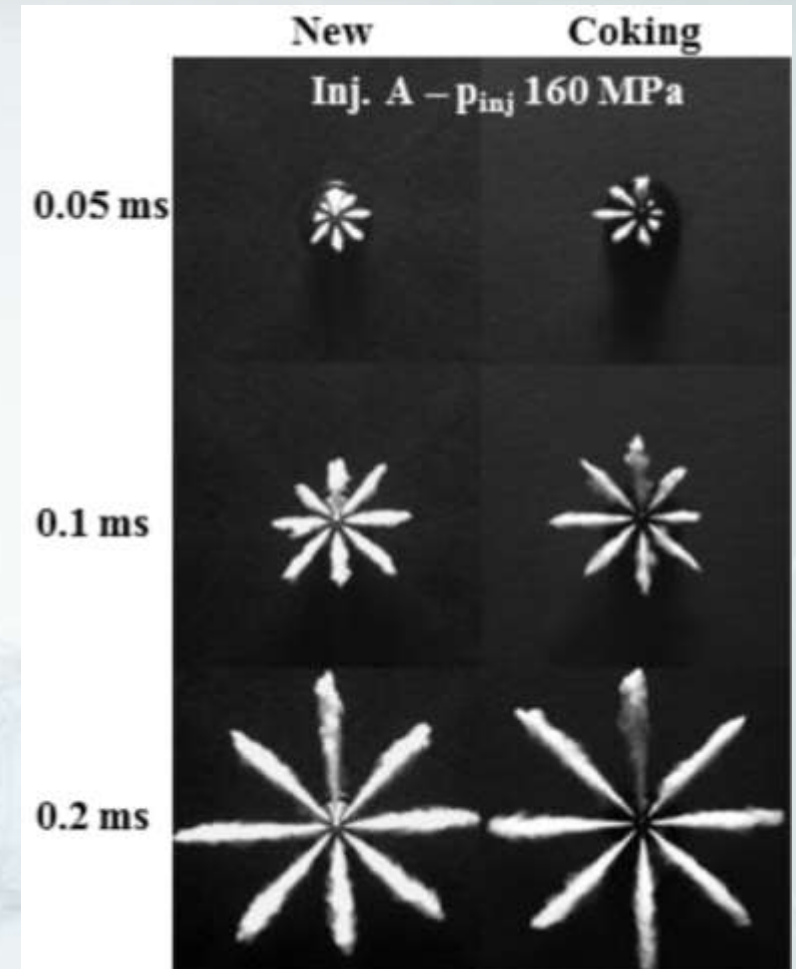
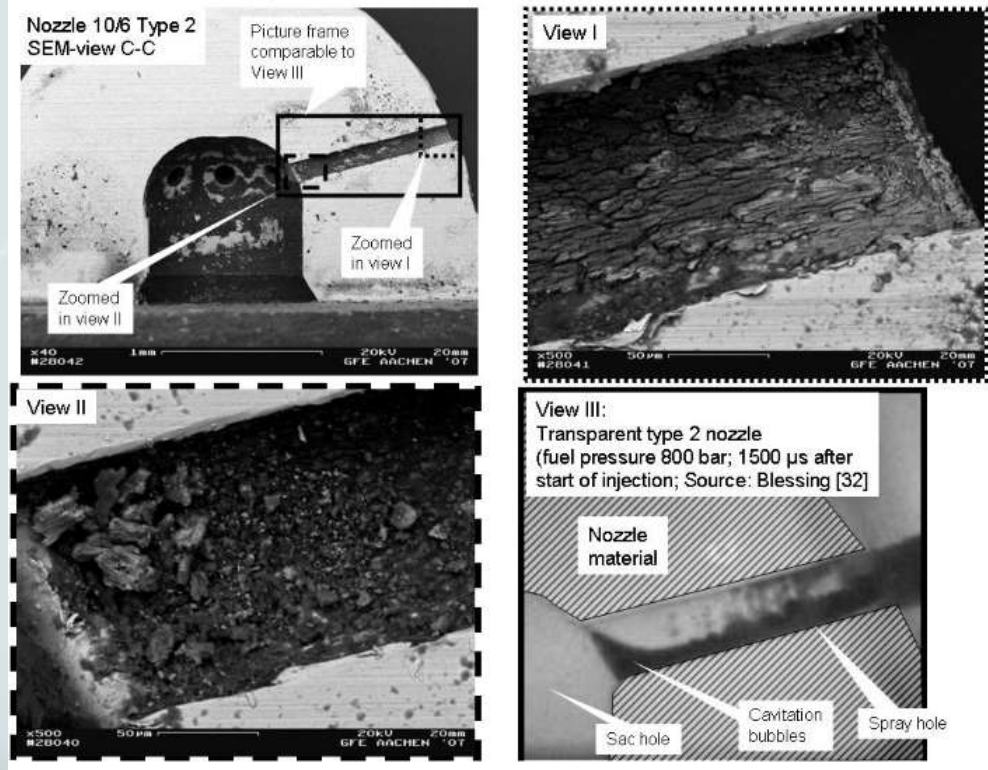


c) injected silicone molds

Hao Tonga et al., Mechanism design and process control of micro EDM for drilling spray holes of diesel injector nozzles, Precision Engineering Volume 37, Issue 1, January 2013, Pages 213–221

Variabilité des sprays

Usure – encrassement

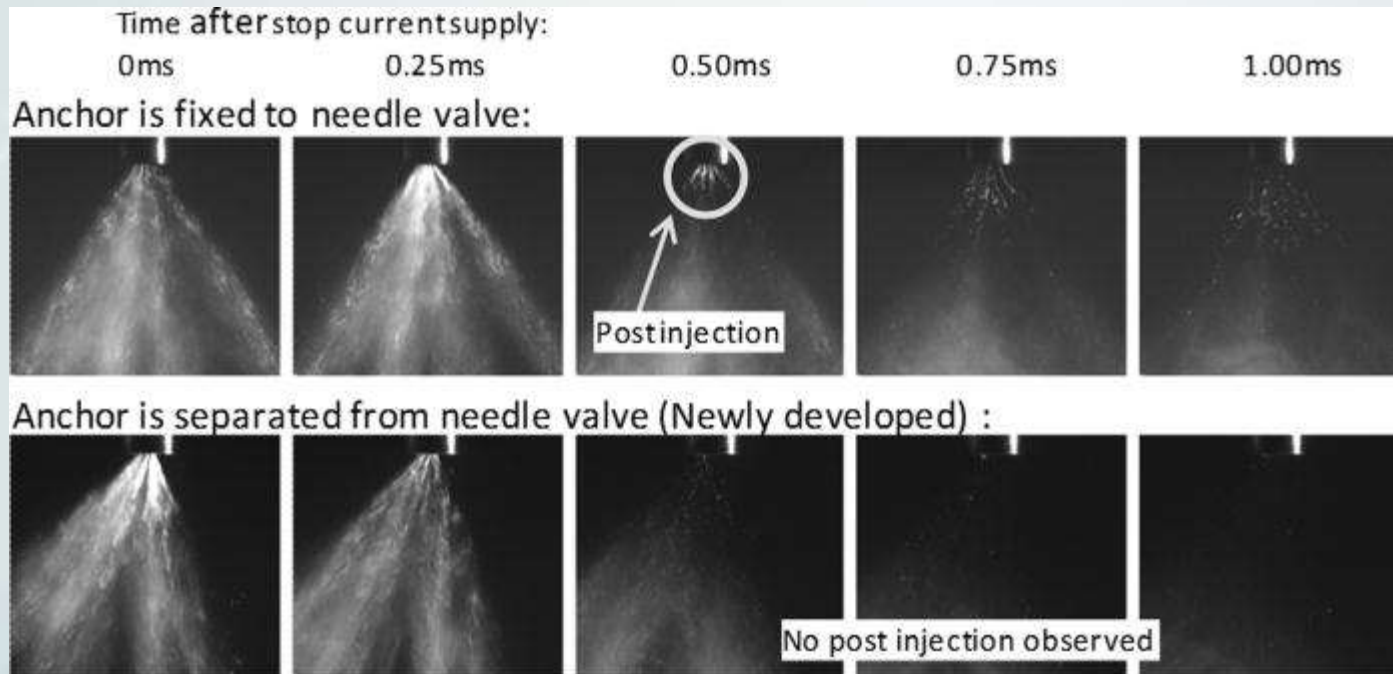


DI-Diesel Engine - Injection Nozzle Coking – FEV 2009

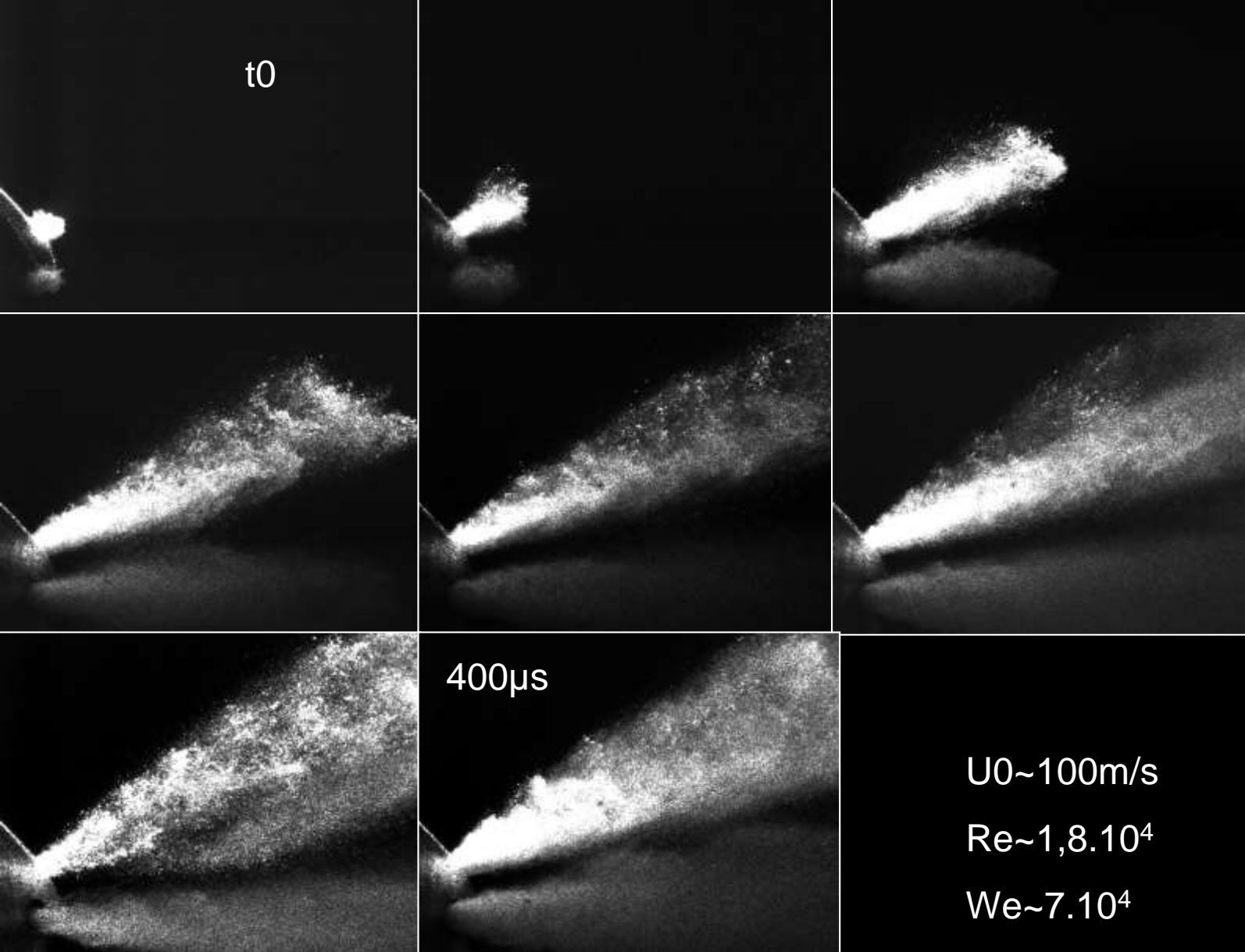
Alessandro Montanaro and Luigi Allocca, Impact of the Nozzle Coking on Spray Formation for Diesel Injectors, SAE 2013-01-2546

Variabilité des sprays

Instationnarité



Motoyuki Abe et al. - Quick Response Fuel Injector for Direct-Injection Gasoline Engines - J. Eng. Gas Turbines Power 134(6), 062803 (Apr 12, 2012)



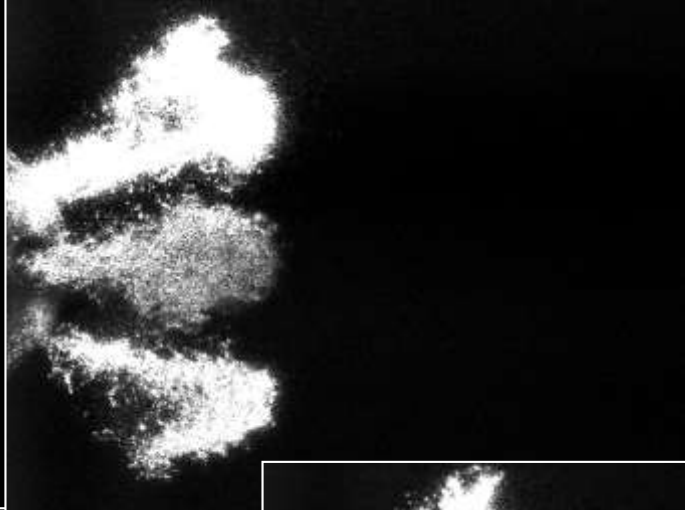
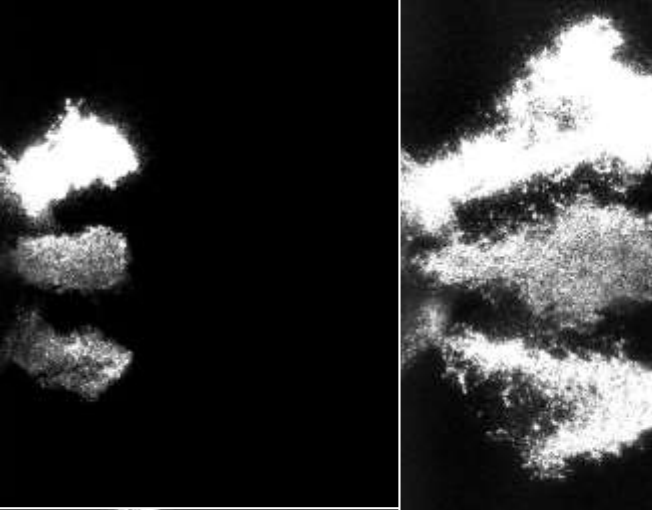
2.5mm

$U_0 \sim 100 \text{m/s}$

$Re \sim 1,8 \cdot 10^4$

$We \sim 7 \cdot 10^4$

$\rho_l / \rho_g \sim 570$

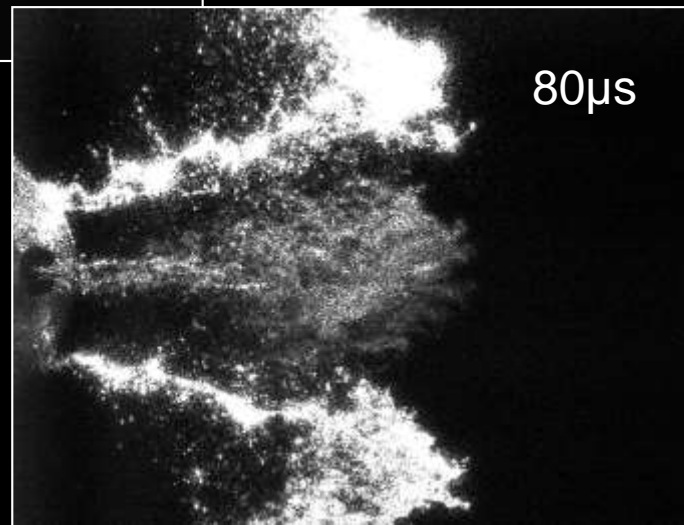
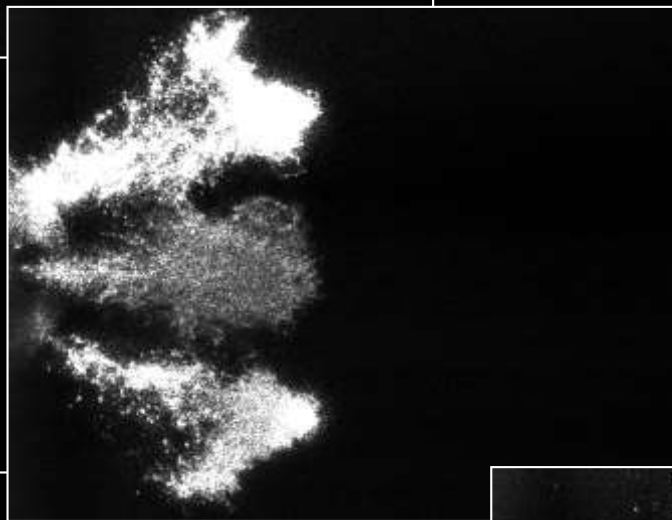
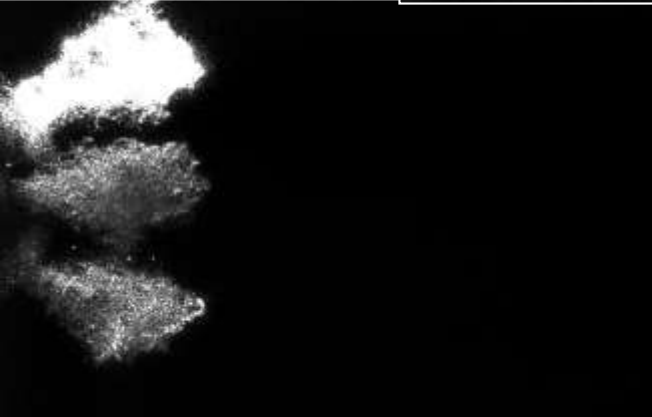


$U_0 \sim 34 \text{ m/s}$

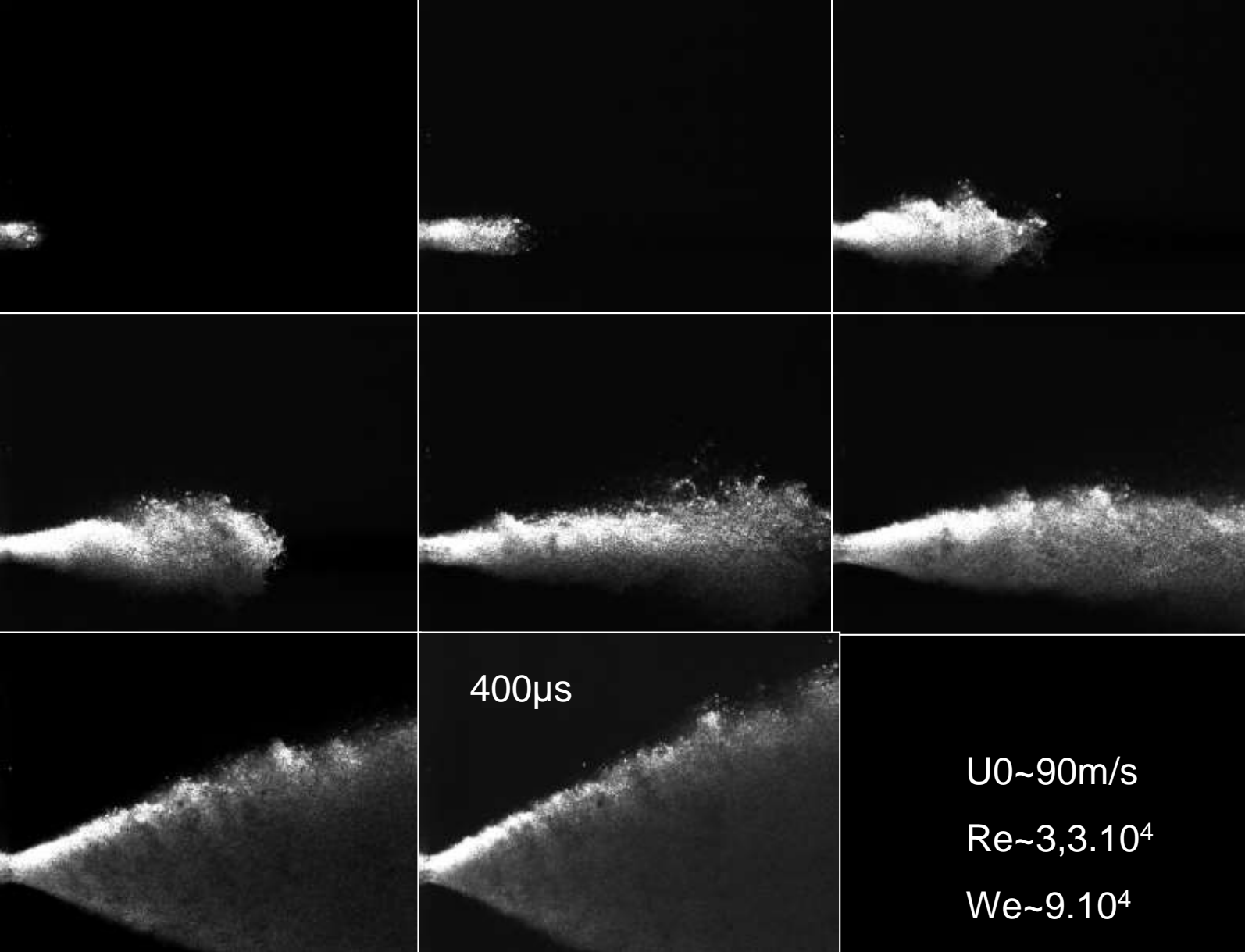
$Re \sim 4,5 \cdot 10^3$

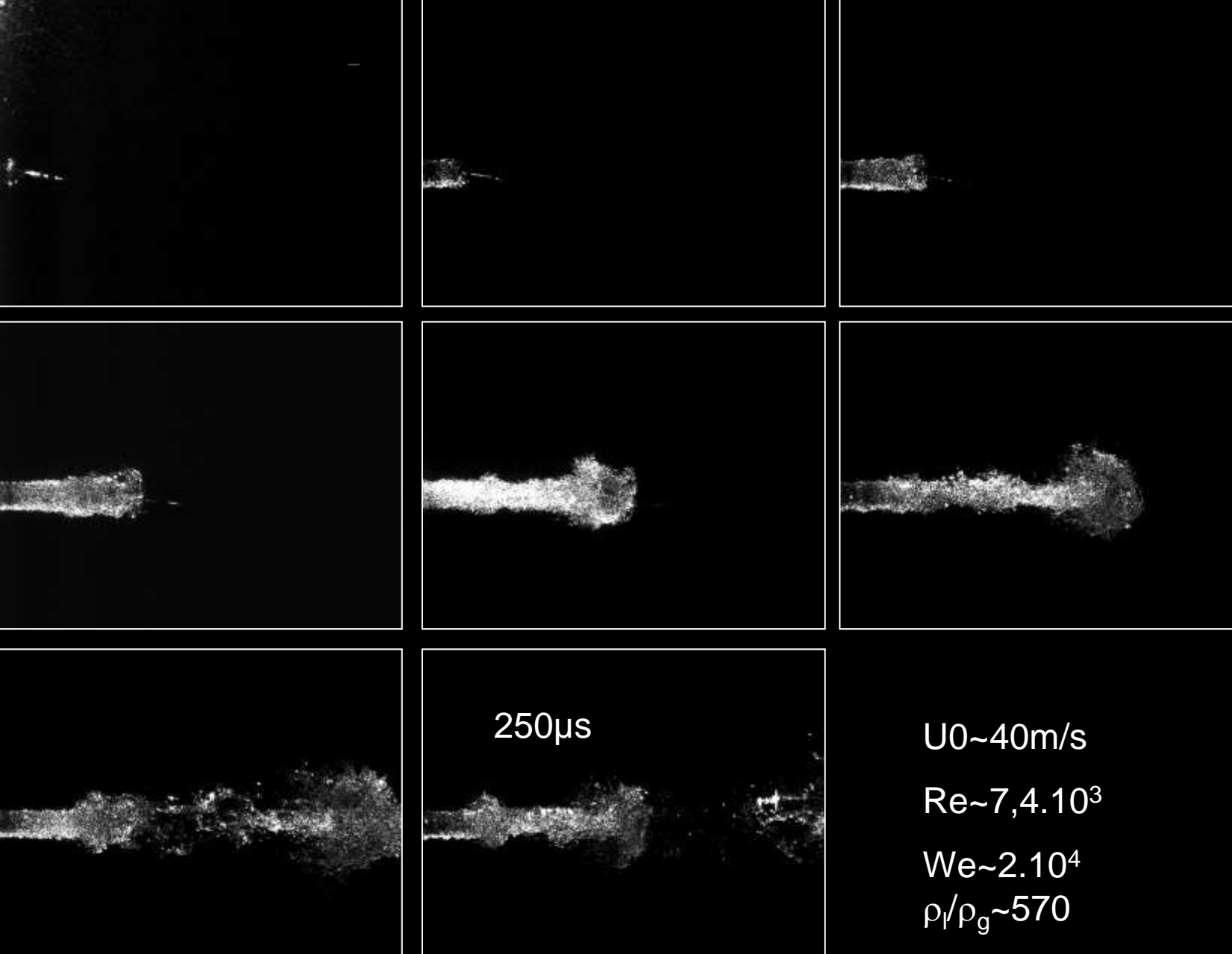
$We \sim 8,5 \cdot 10^3$

$\rho_l / \rho_g \sim 570$



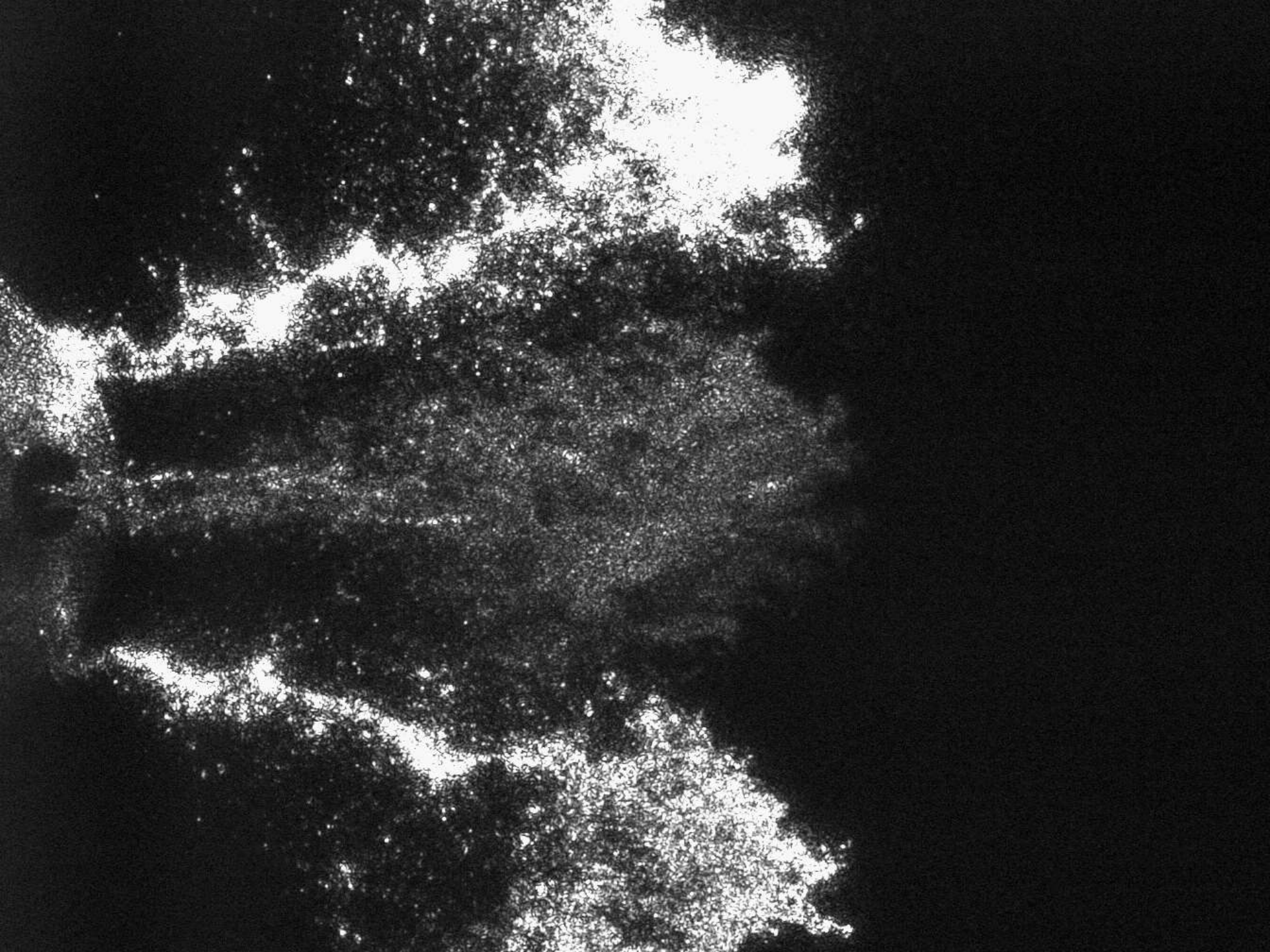
$80 \mu\text{s}$



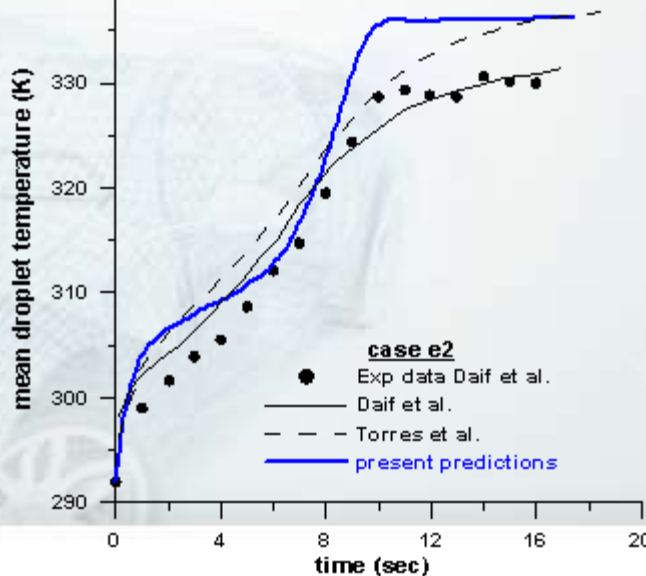
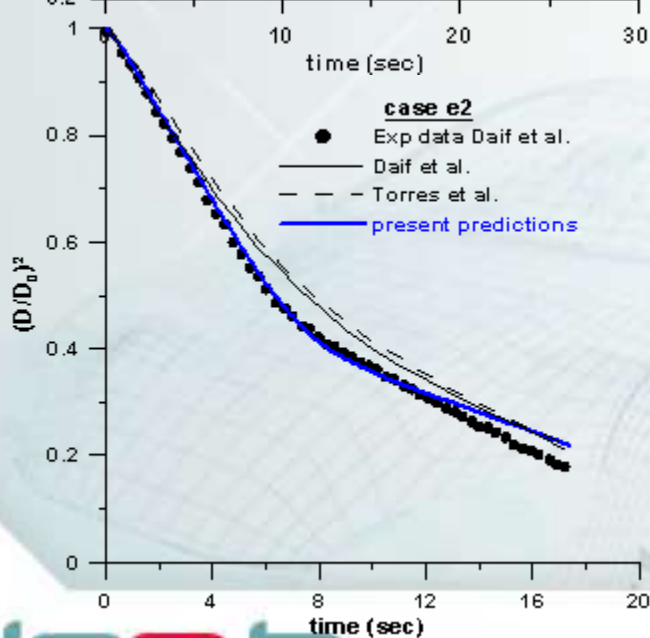
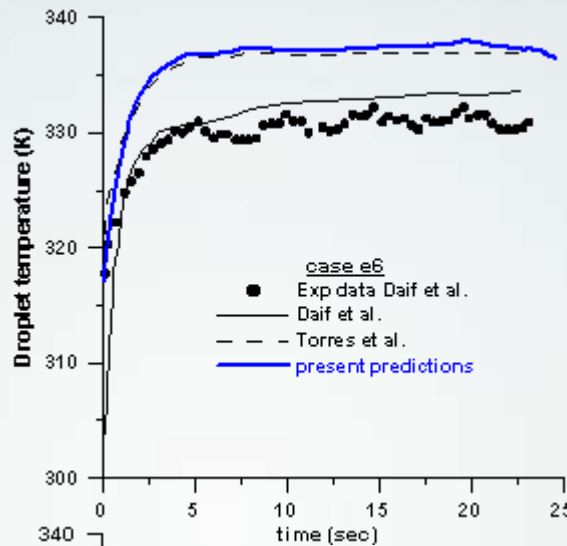
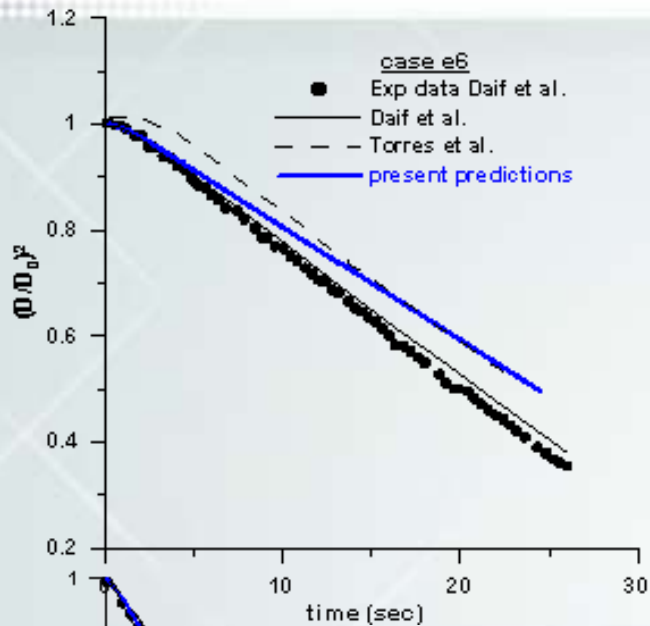








Evaporation de gouttes (isolées)



Stroto, Gavaises, Theodorakakos, Bergeles, influence of species concentration on the evaporation of suspended multicomponent droplets, ILASS 2008

Problème d'échelle

Gouttes $\sim 10^{-6}\text{m}$

Chambre $\sim 10^{-1}\text{m}$

Modélisation

Principes

Corrélations

Taille, angle, pénétration

Modèles « mécanistiques »

Cavitation, instabilités, elsa, TAB, etc.

Modèles « statistiques »

Cascades de rupture, PBE, etc.

Modèle \neq Simulation numérique

F Dos Santos, L Le Moyne (2011) Spray Atomization Models in Engine Applications, from Correlations to Direct Numerical Simulations Oil & Gas Science and Technology , Vol. 66 (2011), No. 5, pp. 801-822

Modélisation

Corrélations – Rupture de jet

Correlations	Process Characteristics & Remarks	References
$SMD = \frac{500 d_0^{1.2} v_L^{0.2}}{U_L}$	Liquid jet from a plain circular orifice into quiescent air	Merrington & Richardson[434]
$MMD = 6 d_0 Re_L^{-0.15}$	Liquid jet from a diesel-type injector into quiescent air, $1000 < Re_L < 12000$	Panasenkov[435]
$SMD = 3330 d_0^{0.3} \mu_L^{0.07} \rho_L^{-0.648} \sigma^{-0.15} U_L^{-0.55} \mu_G^{0.78} \rho_G^{-0.052}$	Liquid jet from a diesel-type injector into quiescent air, effects of gas properties	Harmon[436]
$D_{0.999} = d_0 We_L^{-0.333} (23.5 + 0.000395 Re_L)$	Best-fit of previous experimental data for liquid jet disintegration	Miesse[220]
$SMD = 47 d_0 U_L^{-1} \left(\frac{\sigma g}{\rho g} \right)^{0.25} \left[1 + 3.31 \frac{\mu_L}{(\rho_L \sigma d_0)^{0.5}} \right]$	Liquid jet from a diesel-type injector into quiescent air $D_{max} \approx (2 \sim 2.5)SMD$	Tanasawa & Toyoda[41]
$SMD = c \rho_A^{0.121} v_L^{0.131} \Delta P_L^{-0.135} \quad (\mu m), c=25.1, 23.9, 22.4 \text{ for pinhole, hole, throttling pinhole nozzles, resp.}$	Liquid jet from a diesel-type injector into quiescent air, ΔP_L (MPa), ρ_A (kg/m ³), v_L (mm ³ /stroke)	Hiroyasu & Kadota[317]
$SMD = 6156 v_L^{0.385} (\sigma \rho_L)^{0.737} \rho_A^{0.06} \Delta P_L^{-0.54} \quad (\mu m)$ $D_{max} = 1.75 D_{32} \quad \text{or} \quad D_{0.999} = 1.75 SMD$	Liquid jet from a diesel-type injector into quiescent air, σ (N/m), ΔP_L (bar), ρ (kg/m ³), v_L (m ² /s)	Elkoth[438]
$SMD = 47 d_0 Re_L^{-0.5} \left(\frac{\rho_G}{\rho_L} \right)^{0.26}$	Non-evaporating unsteady dense sprays: $l_0/d_0 = 4, Re_L (2.6 \sim 4) \times 10^4,$ $\rho_G / \rho_L = (9.84 \sim 50.9) \times 10^{-3},$ $d_0 = 0.15 \sim 0.2 \text{ mm}, \sigma = 2.7 \times 10^{-2} \text{ N/m},$ $v_L = 2.2 \times 10^{-6} \text{ m}^2/\text{s}$	Yanjanee et al.[439]

Modélisation

Corrélations – Rupture de cône

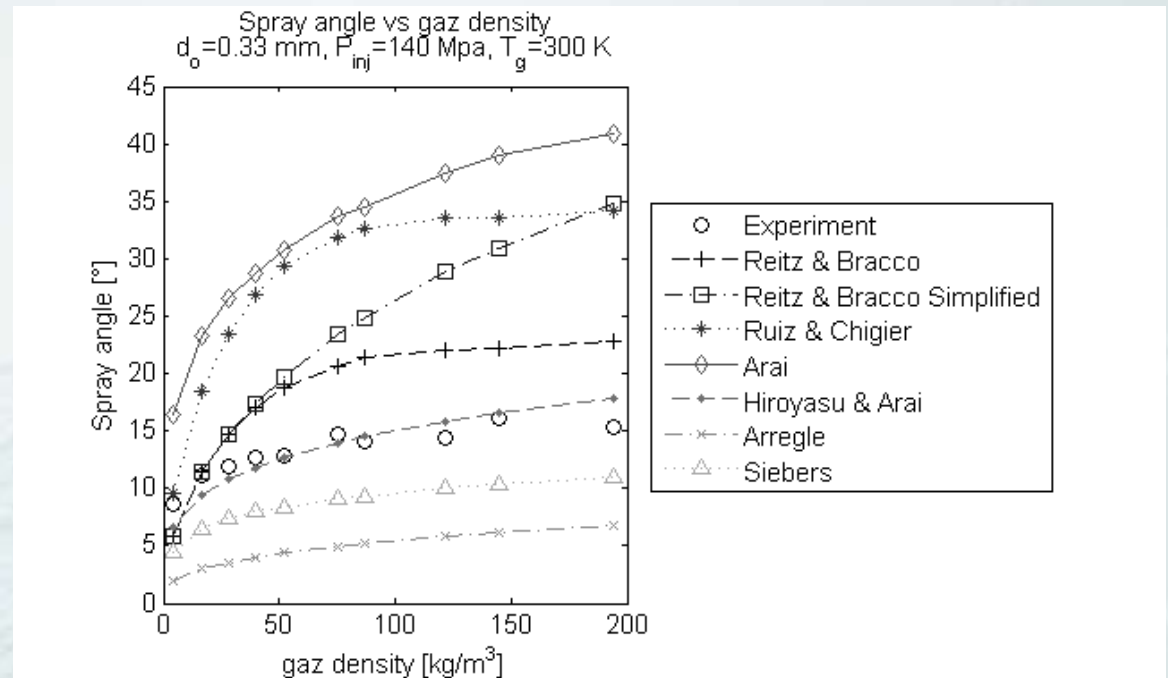
Correlations	Process Characteristics & Remarks	Refs.
$SMD = 7.3\sigma^{0.6}v_L^{0.2}\dot{m}_L^{0.25}\Delta P_L^{-0.4}$	Very small variations in σ and wide variations in μ_L ; effects of atomizer geometry and air properties not included	Radcliffe [443]
$SMD = 4.4\sigma^{0.6}v_L^{0.16}\dot{m}_L^{0.22}\Delta P_L^{-0.43}$	Effects of atomizer geometry and air properties not included	Jasuja [83]
$SMD = \begin{cases} \frac{133 FN^{0.64291}}{\Delta P_L^{0.22565} \rho_L^{0.3215}}, & \Delta P_L < 2.8 \text{ MPa} \\ \frac{607 FN^{0.75344}}{\Delta P_L^{0.19936} \rho_L^{0.3767}}, & \Delta P_L > 2.8 \text{ MPa} \end{cases}$	For kerosene-type fuels; effects of air properties not included	Babu et al. [444]
$SMD = 10^{-3}\sigma(6.11 + 0.32 \times 10^5 FN \rho_L^{0.5} - 6.973 \times 10^{-3} \Delta P_L^{0.5} + 1.89 \times 10^{-6} \Delta P_L)$	Derived from experimental data for 25 different fuels using 6 different simplex nozzles of large Flow numbers; $We_p > 10$; Strong effect of σ , no effect of μ_L ; Discrepant with other data	Kennedy [445]
$MMD = 2.47\dot{m}_L^{0.315}\Delta P_L^{-0.47}\mu_L^{0.16}\mu_A^{-0.04}\sigma^{0.25}\rho_L^{-0.22} \left(\frac{l_0}{d_0}\right)^{0.03} \left(\frac{l_s}{d_s}\right)^{0.07} \left(\frac{A_p}{d_s d_0}\right)^{-0.13} \left(\frac{d_s}{d_0}\right)^{0.21}$	Derived from experimental data using large-capacity industrial pressure swirl atomizers of large Flow numbers with 50 different geometric configurations $d_0 \rho_L U_L^2 / \sigma = 11.5 \times 10^3 - 3.55 \times 10^4$ $d_0 \rho_L U_L / \mu_L = 1.913 \times 10^3 - 2.1 \times 10^3$ $\mu_L / \mu_A = 279 - 2235$ $\rho_L / \rho_A = 694 - 964$	Jones [446]
$SMD = 2.25\sigma^{0.25}\mu_L^{0.25}\dot{m}_L^{0.25}\Delta P_L^{-0.5}\rho_A^{-0.25}$	Consistent with theoretical value and other experimental data [83],[446],[447]	Lefebvre [199]
$SMD = 4.52 \left(\frac{\sigma \mu_L^2}{\rho_A \Delta P_L^2} \right)^{0.25} (t_f \cos \theta)^{0.25} + 0.39 \left(\frac{\sigma \rho_L}{\rho_A \Delta P_L} \right)^{0.25} (t_f \cos \theta)^{0.75}$	Effect of spray cone angle considered; film thickness is taken as a primitive variable; it may be estimated from $t_f = 2.7 \left[\frac{d_0 \dot{m}_L \mu_L}{\Delta P_L \rho_L} \right]^{-0.25}$	Wang & Lefebvre [449] [448]

Modélisation

Corrélations – Assistance air



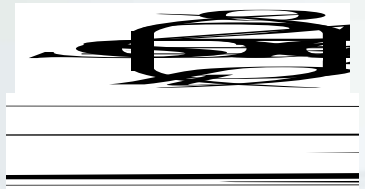


Correlations	Process Characteristics & Remarks	Refs.
$\text{MMD} = 20v_L^{0.5} m_L^{0.1} \left(1 + \frac{\dot{m}_L}{\dot{m}_A}\right)^{0.5}$ $\times h^{0.1} \sigma^{0.2} \rho_A^{-0.3} U_R^{-1.0}$ <p>For conditions of droplet coalescence:</p> $\text{MMD}_c = \text{MMD} \left[1 + 5.0 m_L^{0.1} \left(\frac{\dot{m}_L}{\dot{m}_A}\right)^{0.6}\right]$	<p><i>Internal mixing air-assist atomizer.</i> Derived from wax spray data in Ref. 461 using NGTE atomizer; Good agreement with fuel-air or fuel-steam spray data; [103] Discrepant with water-air spray data; [79][462] MMD is to be multiplied by an empirical correction factor for conditions of droplet coalescence.</p>	Wigg ^[75]
$\text{SMD} = 14 \times 10^{-6} d_0^{0.75} \left(\frac{\dot{m}_L}{\dot{m}_A}\right)^{0.75}$	<p><i>Internal-mixing air-assist atomizer.</i> Derived from water-air spray data at $\dot{m}_L = 30-100$ kg/h, $\dot{m}_L / \dot{m}_A = 5-100$ using immersion technique</p>	Sakai et al. ^[76]
$\frac{\text{SMD}}{r_{fo}} = \left[1 + \frac{168500h^{0.5}}{\text{We}(\rho_L / \rho_A)}\right] \left[1 + \frac{0.065}{(\dot{m}_A / \dot{m}_L)^2}\right]$ $\text{Oh} = \left(\frac{\mu_L^2}{\rho_L r_{fo} \sigma}\right)^{0.5}$ $\text{We} = \frac{\rho_A r_{fo} U_A^2}{\sigma}$	<p><i>External-mixing air-assist atomizers.</i> Derived from ethanol (glycerin)-air spray data with initial thickness of flat circular sheet up to 0.7 mm and varied air impingement angles; Sampled with oil-coated slides</p>	Inamura & Nagai ^[77]
$\text{SMD} = 51 d_0 \text{Re}^{-0.39} \text{We}^{-0.18} \left(\frac{\dot{m}_L}{\dot{m}_A}\right)^{0.29}$ $\text{Re} = \frac{\rho_L U_R d_0}{\mu_L}, \quad \text{We} = \frac{\rho_L d_0 U_R^2}{\sigma}$	<p><i>External-mixing air-assist atomizers.</i> Derived from kerosene-air spray data with numerous nozzle configurations, including effects of air pressure; Sampled with coated slides</p>	Elkoth et al. ^[78]
$\text{SMD} = C \left(\frac{\rho_L^{0.25} \mu_L^{0.06} \sigma^{0.375}}{\rho_A^{0.375}}\right)$ $\times \left(\frac{\dot{m}_L}{\dot{m}_L U_L + \dot{m}_A U_A}\right)^{0.55}$	<p><i>Pressure and air-assist atomizers.</i> Derived from calibrating fluid (MIL-F-70411)-air spray data using Parker Hannifin spray analyzer</p>	Simmons ^[451]

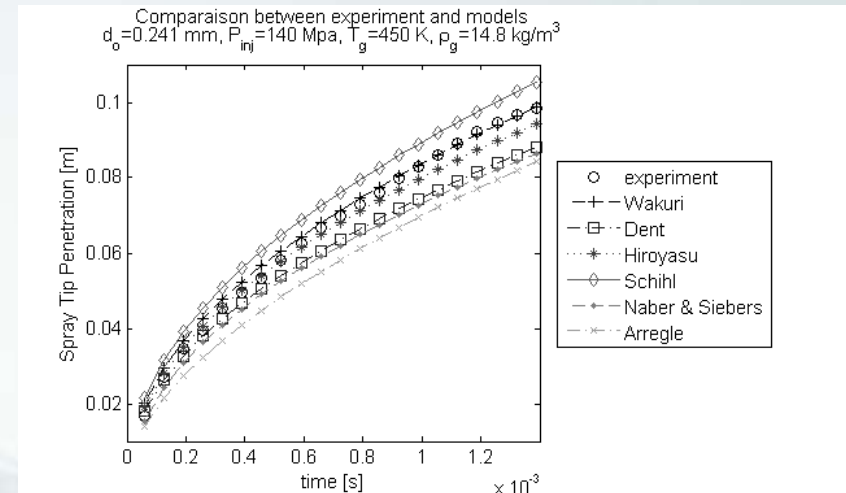
Corrélations - angle



Modélisation

Corrélations - pénétration

Model	Correlation	Reference
Wakuri		(Wakuri et al. 1960)
Dent		(Dent 1971)
Hiroyasu		(Hiroyasu & Arai 1990)
Schihl		(Schihl et al. 1996)
Naber & Siebers	$\tilde{S} = \left[\left(\frac{1}{\tilde{t}} \right)^n + \left(\frac{1}{\tilde{t}^{0.5}} \right)^n \right]^{-\frac{1}{n}}$	(Naber & Siebers 1996)
Arregle		(Arregle et al. 1999)



Transport (Lagrangien)

$$\frac{dm_g}{dt} = -\Gamma_{gm}$$

$$\frac{dm_g \vec{u}_g}{dt} = \vec{F}_g + m_g \vec{g}$$

$$\frac{dm_g T_g}{dt} = \frac{1}{Cp_g} (\Phi_{mg} - \Gamma_{gm} L_g)$$



Modélisation

Transport (Eulerien)

$$f(x, y, z, u, v, w, r, e, \dots) \quad n = f dV \quad dV = dx \cdot dy \cdot dz \cdot du \cdot dv \cdot dw \cdot dz \cdot dr \cdot de \dots$$

$$\frac{\partial f^{(k)}}{\partial t} + \frac{\partial u_{lj} f^{(k)}}{\partial x_j} + \frac{\partial a_{lj} f^{(k)}}{\partial u_{lj}} + \frac{\partial \left(\frac{dr}{dt} f^{(k)} \right)}{\partial r} + \frac{\partial \left(\frac{de_l}{dt} f^{(k)} \right)}{\partial e_l} = \sum f_s$$

$$a_{li} = \frac{F_{D_i}}{\frac{4}{3} \pi \rho_l r^3} + g_i \left(1 - \frac{\rho_a}{\rho_l} \right) + \frac{\rho_a}{\rho_l} \frac{du_i}{dt} = \frac{du_{li}}{dt}$$

$$\frac{de}{dt} = \frac{\dot{m}}{\frac{4}{3} \pi \rho_l r^3} \left(e_l - e_{ls} + \frac{\dot{q}}{\dot{m}} \right) + \frac{B^{(k)}}{\rho_l \psi^{(k)}}$$

l liquid, s surface, a air, u_i velocity components,
 x_i spatial coordinates, r radius, e energy, g_i volume forces,
 \dot{m} evaporated mass flow rate, \dot{q} conductive heat flux,
 B energy flux, ψ the liquid volume fraction, ρ density.

• Sirignano W.A. – Fluid dynamics and transport of droplets and sprays – Cambridge university press ISBN 052163036, 1999, p.158

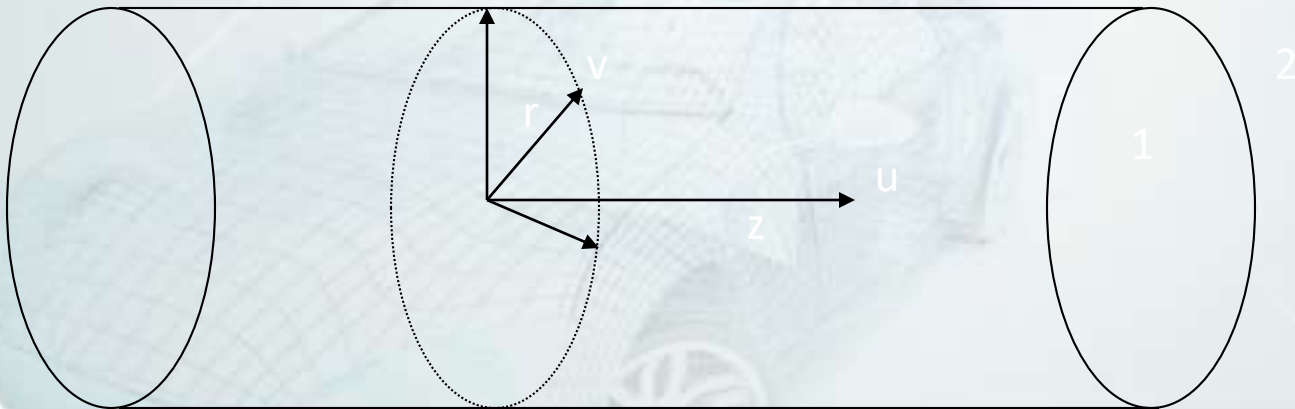
Wave

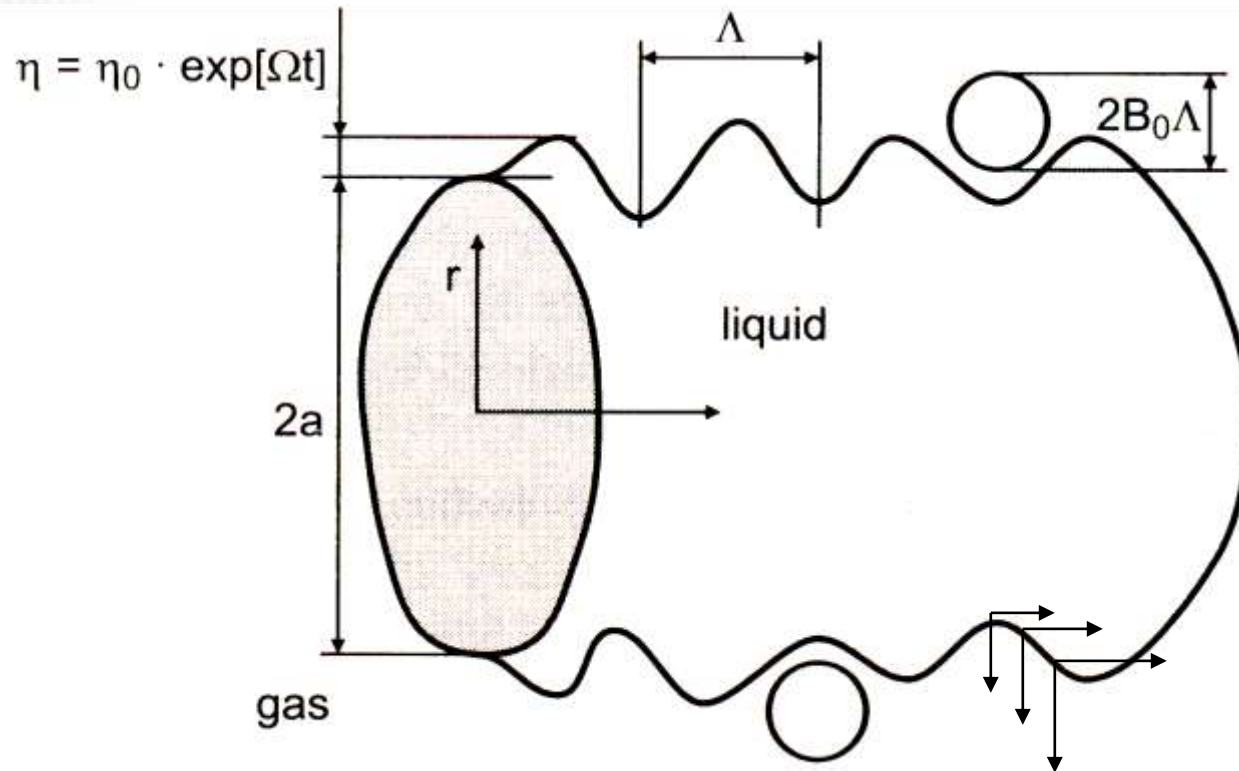
$$\frac{\partial u_i}{\partial z} + \frac{1}{r} \frac{\partial}{\partial r} (r v_i) = 0$$

Equations N-S en coordonnées
cylindriques pour deux milieux (1 et 2)

$$\frac{\partial u_i}{\partial t} + u_i(r) \frac{\partial u_i}{\partial z} + v_i \frac{\partial u_i}{\partial r} = -\frac{1}{\rho_i} \frac{\partial p_i}{\partial z} + v_i \left[\frac{\partial^2 u_i}{\partial z^2} + \frac{1}{r} \frac{\partial}{\partial r} \left(r \frac{\partial u_i}{\partial r} \right) \right]$$

$$\frac{\partial v_i}{\partial t} + u_i(r) \frac{\partial v_i}{\partial z} = -\frac{1}{\rho_i} \frac{\partial p_i}{\partial r} + v_i \left[\frac{\partial^2 v_i}{\partial z^2} + \frac{1}{r} \frac{\partial}{\partial r} \left(r \frac{\partial v_i}{\partial r} \right) \right]$$





$$v_i = \frac{\partial \eta}{\partial t} + u_i \frac{\partial \eta}{\partial z}$$

$$\frac{\partial u_1}{\partial r} = -\frac{\partial v_1}{\partial z}$$

$$-p_1 + 2\mu_1 \frac{\partial u_1}{\partial z} - \frac{\sigma}{a^2} \left(\eta + a^2 \frac{\partial^2 \eta}{\partial z^2} \right) = -p_2$$

Wave

$$\phi_1 = C_1 I_0(kr) e^{(ikz + \omega t)} \quad \text{et} \quad \psi_1 = C_2 r I_1(lr) e^{(ikz + \omega t)}$$

$$U_2(r) = U,$$

$$p_2 = -\rho_2 \left(U - i \frac{\omega}{k} \right)^2 k \eta \frac{K_0(ka)}{K_1(ka)}$$

$$\begin{aligned} & \omega^2 + 2\nu_1 k^2 \omega \left[\frac{I_1(ka)}{I_0(ka)} - \frac{2k\ell}{k^2 + \ell^2} \frac{I_1(ka)}{I_0(ka)} \frac{I_1(\ell a)}{I_0(\ell a)} \right] \\ &= \frac{\sigma k}{\rho_1 a^2} (1 - k^2 a^2) \left(\frac{\ell^2 - k^2}{\ell^2 + k^2} \right) \frac{I_1(ka)}{I_0(ka)} \\ &+ \frac{\rho_2}{\rho_1} (U - i\omega/k)^2 k^2 \left(\frac{\ell^2 - k^2}{\ell^2 + k^2} \right) \frac{I_1(ka) K_0(ka)}{I_0(ka) K_1(ka)} \end{aligned}$$

R. D. Reitz, \Modelling atomization processes in high pressure vaporizing sprays, Atomisation and Spray Technology, vol. 3, pp. 309{337, 1987

Rayleigh

Wave

$ka \rightarrow \infty$

$$(\omega + 2v_1 k^2)^2 + \frac{\sigma k^3}{\rho_1} - 4v_1^2 k^3 \sqrt{k^2 + \frac{\omega}{v_1}} + (\omega + iUk)^2 \frac{\rho_2}{\rho_1} = 0$$

$$\frac{\Lambda}{a} = 9,02 \frac{(1 + 0,45 Z^{0,5})(1 + 0,47 T^{0,7})}{(1 + 0,87 We_2^{1,67})^{0,6}}$$

$$\Omega \left(\frac{\rho_1 a^3}{\sigma} \right)^{0,5} = \frac{0,34 + 0,38 We_2^{1,5}}{(1 + Z)(1 + 1,4 T^{0,6})}$$

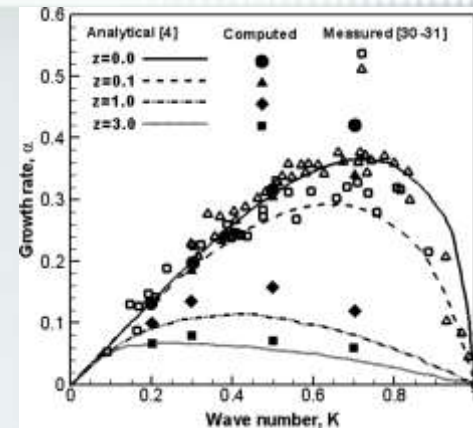
$$Z = \frac{We_1^{0,5}}{Re_1}; \quad T = Z We_2^{0,5}; \quad We_1 = \frac{\rho_1 U^2 a}{\sigma}; \quad We_2 = \frac{\rho_2 U^2 a}{\sigma}; \quad Re_1 = \frac{Ua}{v_1}$$

$$r_d = B\Lambda$$

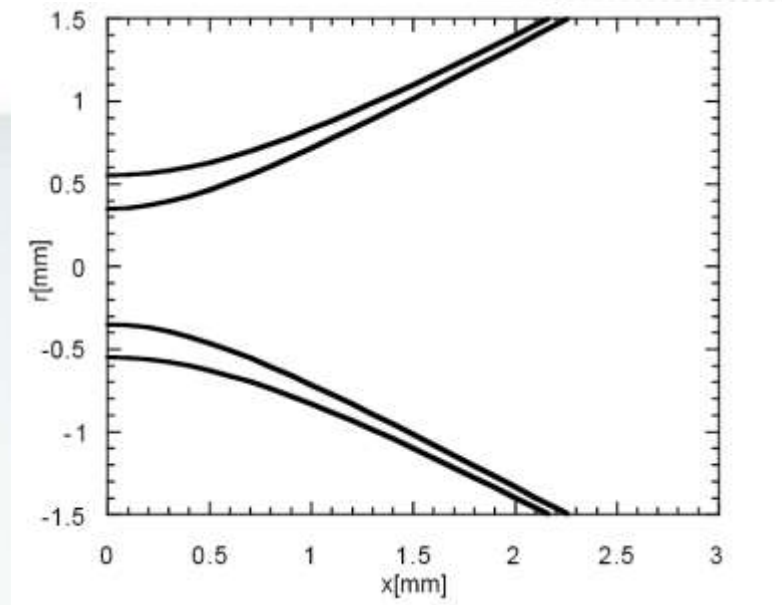
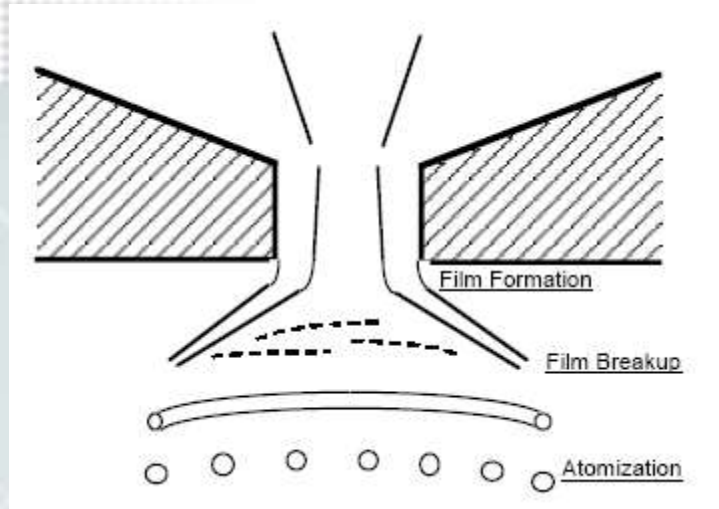
$$L = \frac{ca}{f(T)} \sqrt{\frac{\rho_l}{\rho_g}}$$

$$\tan\left(\frac{\alpha}{2}\right) = \frac{v_{\perp}}{U} = \frac{\Omega\Lambda}{AU} = \frac{4\pi}{A} \sqrt{\rho_g / \rho_l} f(T)$$

$$A = 3.0 + \frac{l_{noz} / d_{noz}}{3.6}$$



Equations N-S en coordonnées cylindriques pour une nappe conique d'épaisseur variable



$$\omega^2 [\tanh(kh) + Q] + \left[4v_l k^2 \tanh(kh) + 2iQkU \right] + 4v_l k^4 \tanh(kh) - 4v_l^2 k^3 \ell \tanh(\ell h) - QU^2 k^2 + \frac{\sigma k^3}{\rho_l} = 0$$

Linéarisation :

$$\omega_r = -2v_l k^2 + \sqrt{4v_l^2 k^4 + QU^2 k^2 - \frac{\sigma k^3}{\rho_l}}$$

D. P. Schmidt, I. Nouar, P. K. Senecal, C. J. Rutland, J. K. Martin, and R. D. Reitz.
Pressure-Swirl Atomization in the Near Field.
SAE Paper 01-0496, SAE, 1999

P. K. Senecal, D. P. Schmidt, I. Nouar, C. J. Rutland, and R. D. Reitz.
Modeling High Speed Viscous Liquid Sheet Atomization.
International Journal of Multiphase Flow, in pres

$$\eta_b = \eta_0 \exp(\Omega \tau) \Rightarrow \tau = \frac{1}{\Omega} \ln\left(\frac{\eta_b}{\eta_0}\right)$$

$$L = U\tau = \frac{U}{\Omega} \ln\left(\frac{\eta_b}{\eta_0}\right)$$

$$h = \frac{\dot{m}}{2\pi\rho U(\delta + 2L\sin(\theta))}$$

$$K_L d_L = \left[\frac{1}{2} + \frac{3\mu_l}{2(\rho_1 \sigma d_L)^{1/2}} \right]^{-\frac{1}{2}}$$

$$d_L = \sqrt{\frac{16h}{K_s}}$$

$$d_D^3 = \frac{3\pi d_L^2}{K_L}$$

Modélisation

Modèle eulerien

Equation de transport pour l'aire moyenne de l'interface
liquide/gaz par unité de volume

$$\frac{\partial \bar{\Sigma}}{\partial t} + \frac{\partial \tilde{u}_i \bar{\Sigma}}{\partial x_i} = \frac{\partial \left(D_s \frac{\partial \bar{\Sigma}}{\partial x_i} \right)}{\partial x_i} + (A + a) \bar{\Sigma} - V_a \bar{\Sigma}^2$$

(= diffusion + production – destruction)

$$We_c = \frac{\rho_g r_c u_c^2}{\sigma} \ll 1$$

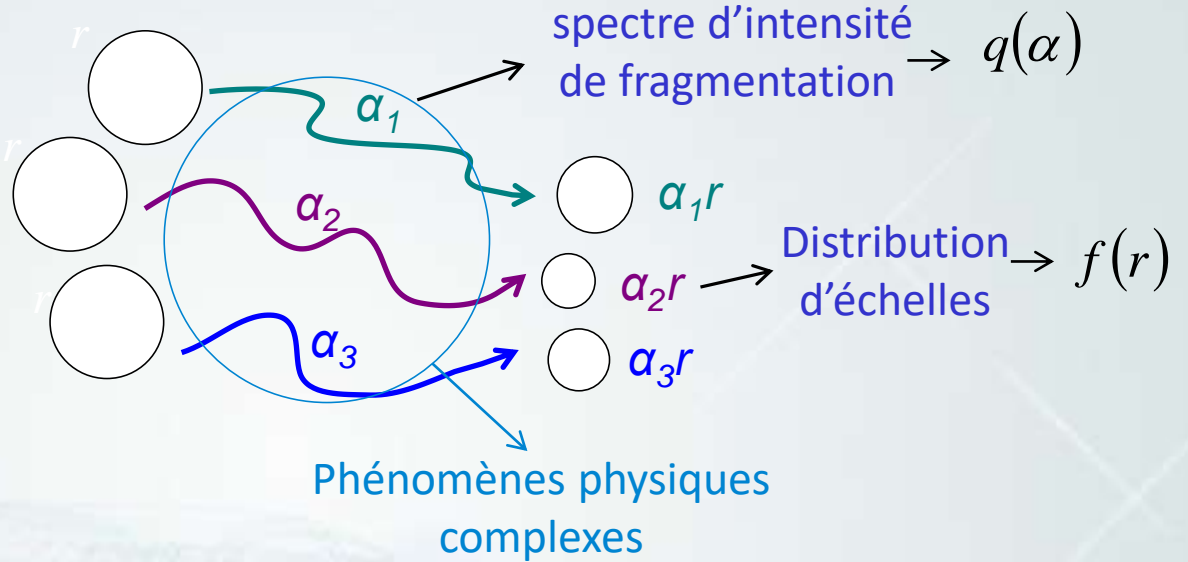
Vallet A., Burluka A.A., Borghi R., 2001, Development of an Eulerian model for the atomization of a liquid jet, *Atomization and Sprays*, 2001, 11 (6), 619-642

Modélisation

Modèle probabiliste M. Gorokhovski & V. Saveliev. Further Analyses of Kolmogorov's Model of Breakup. Physics of Fluids, 15(1): 184-192, 2003

Échelle de longueur r

$r \rightarrow \alpha r$ Avec $0 < \alpha < 1$



Équation d'évolution

$$\frac{\partial f(r)}{\partial t} = \nu \int f\left(\frac{r}{\alpha}\right) q(\alpha) \frac{d\alpha}{\alpha} - \nu f(r)$$

Fréquence

Spectre d'intensité de fragmentation

Modèle probabiliste

Forme exacte aux temps longs

Équation de type Fokker-Planck

$$\frac{\partial f(r,t)}{\partial t} = \left[-\frac{\partial}{\partial r} r \langle \ln \alpha \rangle + \frac{1}{2} \frac{\partial}{\partial r} r \frac{\partial}{\partial r} r \langle \ln^2 \alpha \rangle \right]$$

Deux paramètres

Fonction de distribution des fragments
Phase d'atomisation secondaire

Équation de type Langevin

$$\frac{\partial r}{\partial t} = v \langle \ln \alpha \rangle + \sqrt{\frac{v \langle \ln^2 \alpha \rangle}{2}} r \Gamma(t)$$

Position de l'interface liquide/gaz
Phase d'atomisation primaire

$$\langle \ln \alpha \rangle = const. \ln \left(\frac{r_*}{r_0} \right)$$

$$\frac{\langle \ln^2 \alpha \rangle}{\langle \ln \alpha \rangle} = \ln \left(\frac{r_*}{r_0} \right)$$

r_* = échelle de longueur typique
après fragmentation
 r_0 = échelle de longueur typique
après fragmentation

M. Gorokhovski, J.Jouanguy, A.Chtab (2009) Stochastic model of the near-to-injector spray formation assisted by high-speed coaxial gas jet Fluid dynamics research 41 (3), 035509

Modèle probabiliste – Application à l'atomisation assistée par air

M. Gorokhovski, J.Jouanguy, A.Chtab (2009) Stochastic model of the near-to-injector spray formation assisted by high-speed coaxial gas jet Fluid dynamics research 41 (3), 035509

Couplage LES pour l'atomisation assistée par air

Atomisation primaire
Equation de Langevin

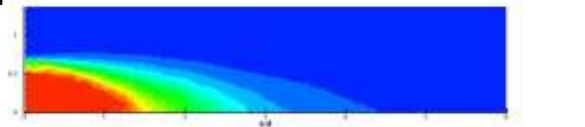
$$r_* = \lambda_{RT}$$
$$r_0 = \lambda_{KH}$$

Cœur liquide &
Probabilité de présence de
liquide non fragmenté

Simulation



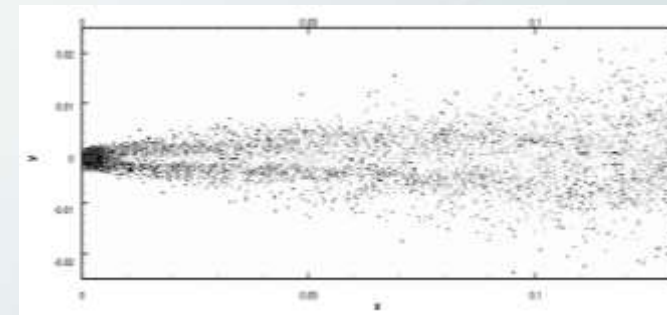
Expérience



$$u_g = 180 \text{ m/s}, u_l = 2.03 \text{ m/s}$$

Injection de gouttes et suivi
Lagrangien

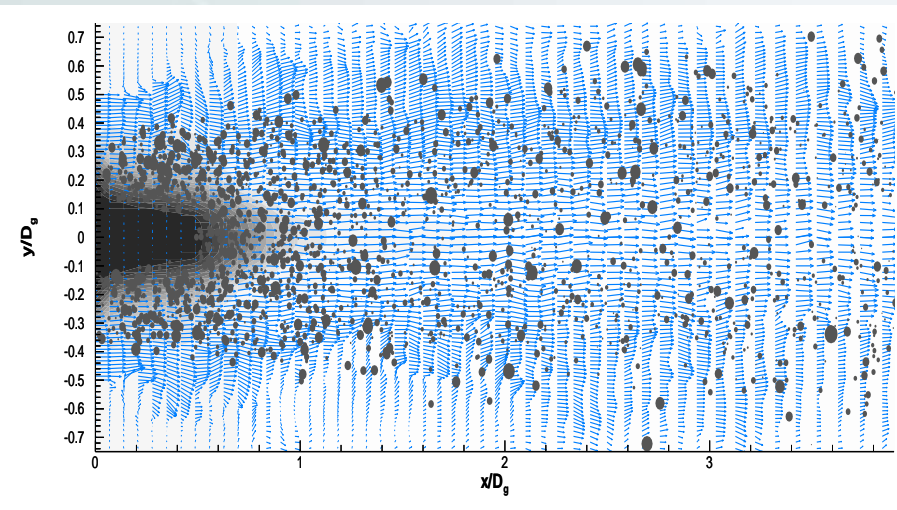
Fragmentations ou
coalescences liées aux
collisions



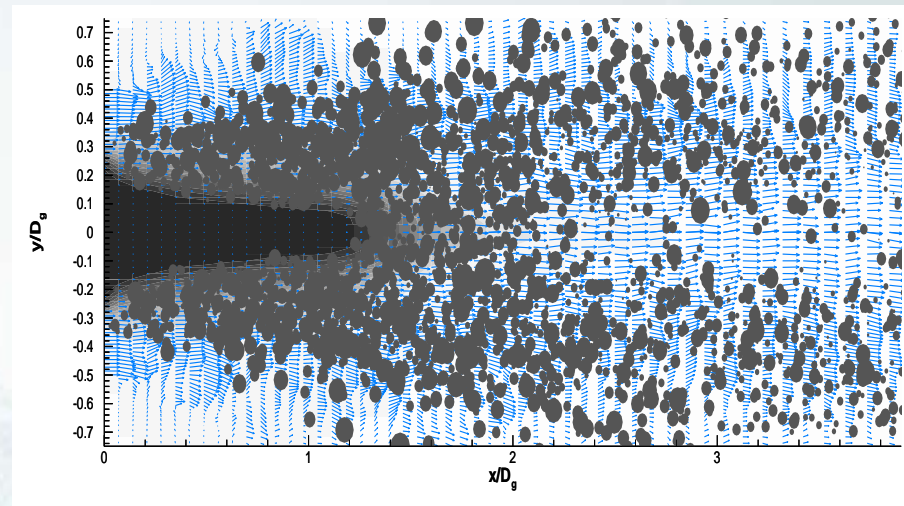
Atomisation secondaire
Equation de Fokker-Planck

Modèle probabiliste – Application à l'atomisation assistée par air

M. Gorokhovski, J.Jouanguy, A.Chtab (2009) Stochastic model of the near-to-injector spray formation assisted by high-speed coaxial gas jet Fluid dynamics research 41 (3), 035509



$$u_g = 140 \text{ m/s}$$
$$u_l = 0.33 \text{ m/s}$$



$$u_g = 140 \text{ m/s}$$
$$u_l = 2.8 \text{ m/s}$$

Augmentation de la taille des gouttes et de la longueur du cœur liquide en fonction de la vitesse du liquide à vitesse de gaz constante

Simulation numérique

Simulation numérique directe : méthodes de suivi d'interface

Méthode Level-set

Fonction level-set $\varphi(x)$ définie telle que l'interface Γ soit le lieu où φ est nulle dans une région Ω

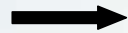
OSHER (S.) et FEDKIW (R.P.). – *Level set methods : An overview and some recent results.* Journal of Computational Physics, vol. 169, Issue 2, p. 463-502, mai 2001.

$$\Gamma(t) = \{x | \varphi(x, t) = 0\}$$

$$x \in \Omega \rightarrow \varphi(x, t) > 0$$

$$x \notin \Omega \rightarrow \varphi(x, t) < 0$$

$$x \in \partial\Omega = \Gamma \rightarrow \varphi(x, t) = 0$$



Fonction convectée par le champ de vitesse

$$\frac{\partial \varphi}{\partial t} + v \nabla \varphi = 0$$

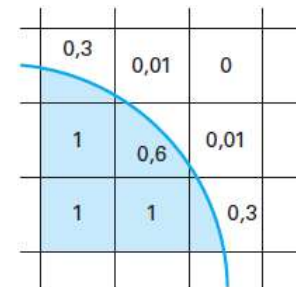
Méthode VOF (Volume of fluid)

Variation de la fraction volumique de liquide F en fonction des flux de liquide φ entrant et sortant de la maille

HIRT (C.W.) et NICHOLS (B.D.). – *Volume of fluid (VOF) method for the dynamics of free boundaries.* J. Comput. Phys., vol. 39, p. 201.

Variation de F entre deux pas de temps :

$$F_{ij}^{t+1} = F_{ij}^t + \delta t [\Phi_{i,j-1/2}^y - \Phi_{i,j+1/2}^y + \Phi_{i-1/2,j}^x - \Phi_{i+1/2,j}^x]$$



La valeur du traceur représente la fraction volumique de liquide (bleu) dans le gaz (blanc)

Simulation numérique

Simulation numérique directe : méthode Level Set

→ Approche Eulérienne reposant sur la résolution d'une équation de transport de la fonction Level set →

Fonction continue :
distance à l'interface

« Expérimentations numériques » sur le spray

Ménard T., Tanguy S., Berlemont A. Coupling Level Set / VOF / Ghost fluid methods : Validation and application to 3D simulation of jet primary break-up Int. J. Multiphase Flows 33, 5, 510–524, 2007



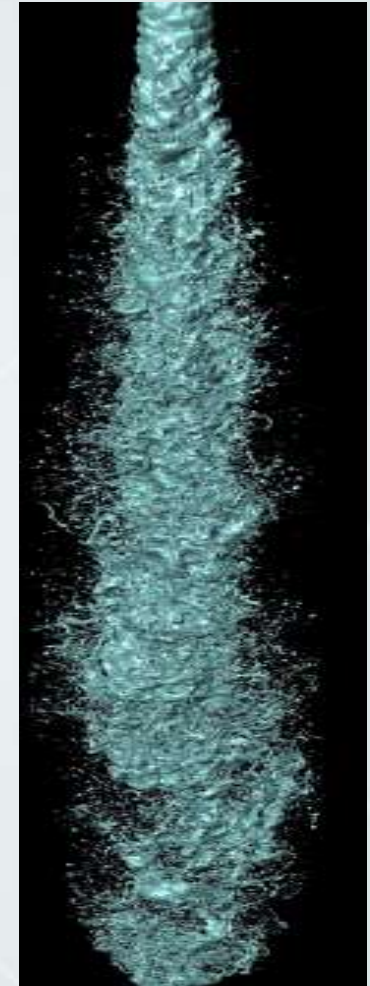
Zoom sur une
portion du spray



Cœur liquide



Gouttes



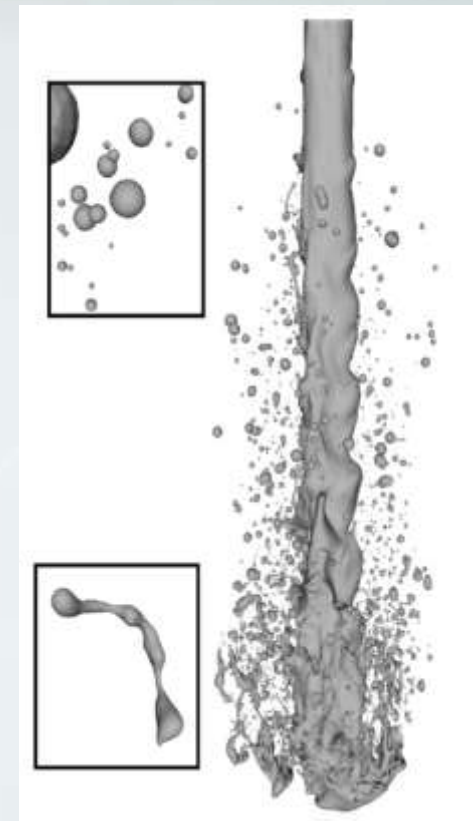
Simulation numérique

Simulation numérique directe : méthode VOF (Volume Of Fluid)

→ Approche Eulérienne reposant sur la résolution d'une équation de transport de la fraction de liquide



« Expérimentations numériques » sur le spray

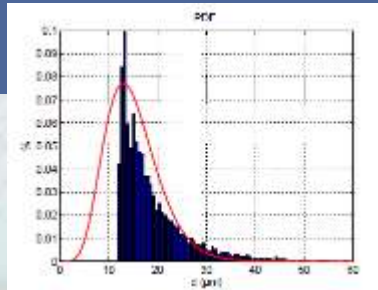
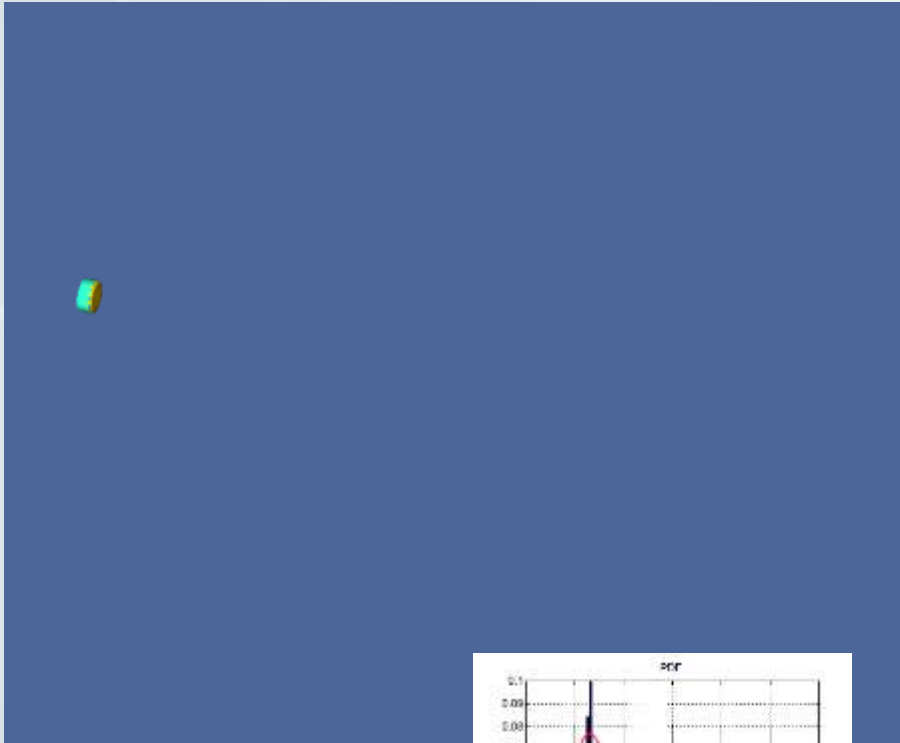


Vincent Le Chenadec, Heinz Pitsch (2013) A 3D Unsplit Forward/Backward Volume-of-Fluid Approach and Coupling to the Level Set Method . *Journal of Computational Physics*.

→ Nécessité d'une grande puissance de calcul pour la DNS

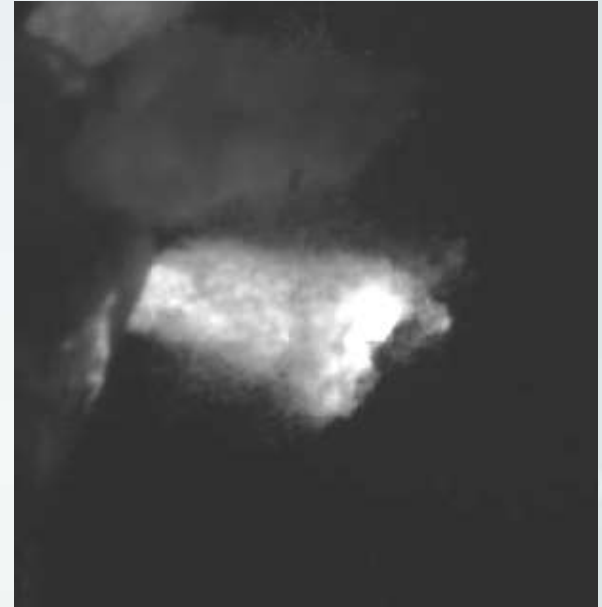
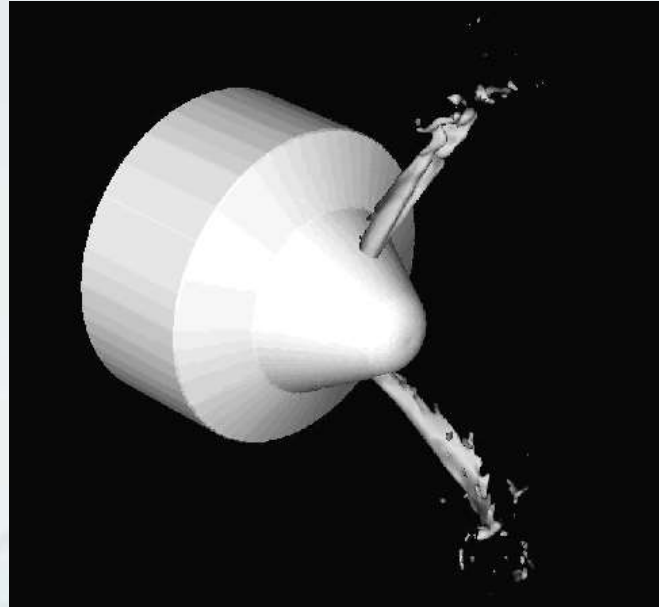
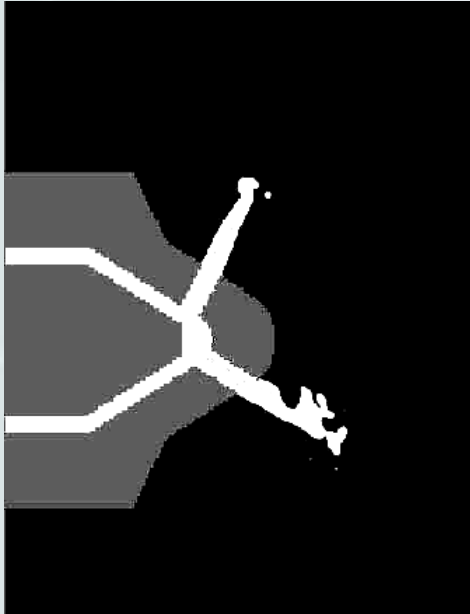
Simulation numérique

Simulation numérique directe : méthode VOF (Volume Of Fluid)



Simulation numérique

Simulation numérique directe : méthode VOF (Volume Of Fluid)



Simulation numérique

Simulation des grandes échelles

Approches Eulériennes

Labourasse et al. 2007
Vincent et al. 2008

→ Filtrage a priori →

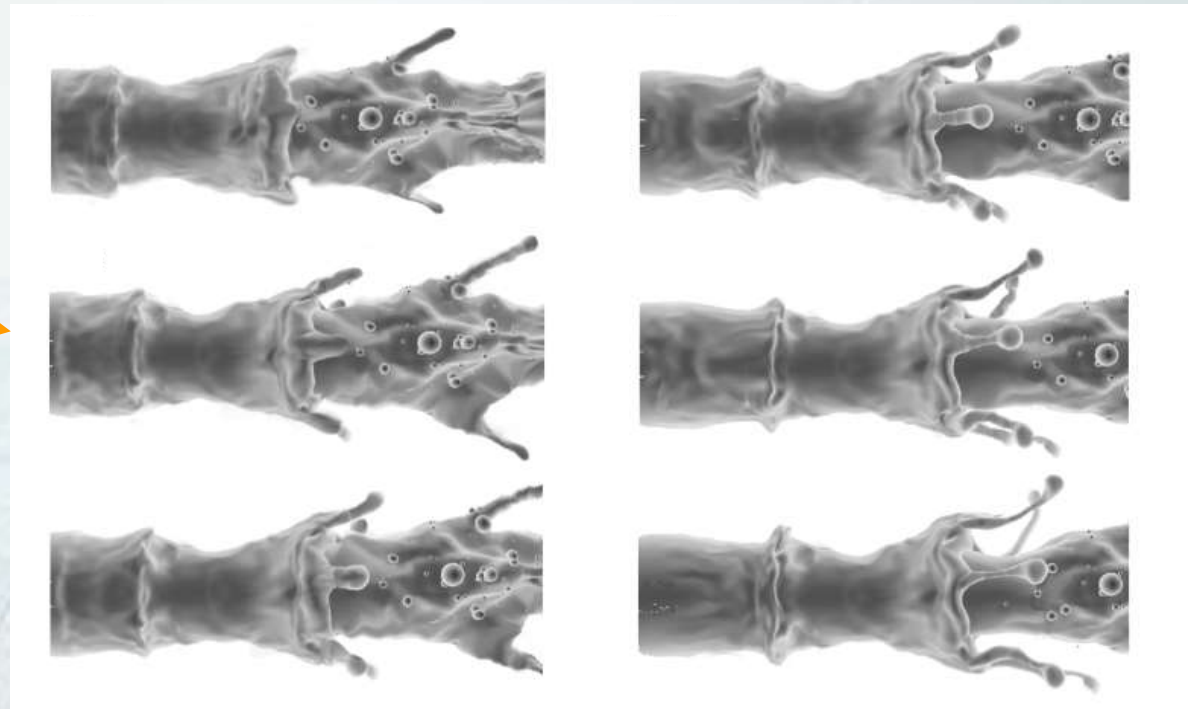
Nécessité de construire des modèles
de sous maille spécifiques au
voisinage de l'interface liquide/gaz

Approches Lagrangiennes

M. Gorokhovski et al. 2009
D. Kim & P. Moin 2011



Formation de gouttes en
sous-maille suivies de
façon Lagrangienne



Simulation LES de la zone d'atomisation primaire assistée par air

Conclusion

